



UNIVERSIDAD NACIONAL AUTÓNOMA DE MÉXICO
DOCTORADO EN CIENCIAS DE LA PRODUCCIÓN Y DE LA SALUD ANIMAL

**ESTUDIO *IN VITRO* SOBRE LA DIFERENCIACIÓN DE CÉLULAS
MESENQUIMALES DE BOVINO HACIA LOS LINAJES MUSCULAR Y
ADIPOSO, ASÍ COMO SU EFECTO EN EL METABOLISMO ENERGÉTICO**

T E S I S
QUE PARA OPTAR POR EL GRADO DE
DOCTOR EN CIENCIAS

P R E S E N T A

JESÚS JONATHAN RAMÍREZ ESPINOSA

TUTOR

DRA. MARÍA OFELIA MORA IZAGUIRRE
FACULTAD DE ESTUDIOS SUPERIORES CUAUTITLÁN

MIEMBROS DEL COMITÉ TUTOR:

DR. ENRIQUE PIÑA GARZA
FACULTAD DE MEDICINA

DR. ARMANDO SHIMADA MIYASAKA
FACULTAD DE ESTUDIOS SUPERIORES CUAUTITLÁN

CUAUTITLÁN IZCALLI , ESTADO DE MÉXICO

OCTUBRE 2015



UNAM – Dirección General de Bibliotecas

Tesis Digitales
Restricciones de uso

DERECHOS RESERVADOS ©
PROHIBIDA SU REPRODUCCIÓN TOTAL O PARCIAL

Todo el material contenido en esta tesis está protegido por la Ley Federal del Derecho de Autor (LFDA) de los Estados Unidos Mexicanos (Méjico).

El uso de imágenes, fragmentos de videos, y demás material que sea objeto de protección de los derechos de autor, será exclusivamente para fines educativos e informativos y deberá citar la fuente donde la obtuvo mencionando el autor o autores. Cualquier uso distinto como el lucro, reproducción, edición o modificación, será perseguido y sancionado por el respectivo titular de los Derechos de Autor.

Dicatorias

A mis padres por apoyarme siempre en todo lo que he hecho sin cuestionarme.

Amá, Apá los amo.

A la familia en todas sus extensiones, hermanas, tíos, primos, que con sus palabras de aliento me motivan a seguir adelante.

A los que ya no están pero siguen presentes.

A la familia de destino, los amigos cercanos y lejanos, temporales o definitivos, a las buenas y malas influencias que te enseñan un poco más a vivir y disfrutar la vida.

Agradecimientos.

A la Doctora Ofelia Mora por aceptarme como su estudiante y brindarme todo el apoyo y los regaños necesarios para culminar este trabajo. Ahora ya tengo una mamá académica.

A los Doctores Armando Shimada y Enrique Piña por sus observaciones a lo largo de este trayecto, por sus consejos más allá de lo académico, pero sobre todo por sus humildad como seres humanos.

A Laura González, MC Técnico académico del RuMen por todas sus enseñanzas, apoyarme en la realización de este proyecto y por su amistad.

Al laboratorio de diferenciación neuronal y axogénesis (A-03) del Instituto de Neurobiología encabezado por el Dr. Alfredo Varela, por el apoyo brindado, tanto material como intelectual, para la realización de esta tesis.

A los compañeros y amigos que vivieron conmigo esta etapa. La mejor de las suertes para todos ellos.

A los miembros del jurado, Dra. Aurea Orozco, Dr Miguel Ángel Cornejo, Dr. Carlos Gutiérrez y MC Pablo Pérez-Gavilán por el tiempo que dedicaron a la revisión de este trabajo, así como por sus observaciones y aportaciones al mismo.

A mi *alma mater*, la UNAM que me ha nutrido más de la mitad de mi vida y particularmente a la FES Cuautitlán por las enseñanzas adquiridas en ella, las oportunidades que me ha dado.

A CONACyT por la beca otorgada y tener así el apoyo financiero para realizar mis estudios.

“Los dos llegaron cojeando: Guy y el perrito más dócil que había nacido en el patio. Guy tenía una pierna vendada y el perrito una de las patitas envuelta en trapos. Los dos caminaban a saltos. El perrito gruñía – tal vez de dolor – y meneaba la cola – tal vez de agradecimiento.

- Nos caímos Jacinto.

- Ya lo veo, niño Guy.

- Al perrito se le torció una patita. Ya se la compuse.

- ¿Y tú?

- Acércate. No se lo digas a nadie. Yo no tengo nada. Me vendé sólo para consolarlo

CANEK

ERMILO ABREU GÓMEZ

INDICE

	Página
RESUMEN	9
ABSTRACT	10
INDICE DE ABREVIATURAS	11
1. INTRODUCCIÓN	14
2. ANTECEDENTES	15
Artículo. Células troncales mesenquimales: biología, caracterización y futuras aplicaciones en salud y producción de especies pecuarias. Parte I. Rosa M. Pérez-Serrano, Jesús J. Ramírez-Espinosa, Armando Shimada, Anaid Antaramian, Enrique Piña, Ofelia Mora	15
Artículo. Células troncales mesenquimales: biología, caracterización y futuras aplicaciones en salud y producción de especies domésticas y pecuarias. Parte II. Rosa M. Pérez-Serrano, Jesús J. Ramírez-Espinosa, Armando Shimada, Anaid Antaramian, Enrique Piña, Ofelia Mora.	15
Células troncales mesenquimales: biología, caracterización y futuras aplicaciones en salud y producción de especies pecuarias. Parte I.	16
Resumen	16
Introducción	16
Biología	17
Caracterización	19
Capacidad de adhesión al plástico	19
Capacidad proliferativa	19
Detección de proteínas de superficie	20
Expresión de factores de transcripción	22
Multipotencialidad	23
Conclusiones	25
Literatura Citada	25

Artículo. Células troncales mesenquimales: biología, caracterización y futuras aplicaciones en salud y producción de especies domésticas y pecuarias. Parte II.	28
Resumen	28
Introducción	28
Caracterización de células troncales mesenquimales de especies domésticas	29
Caninos	29
Felinos	29
Equinos	30
Porcinos	30
Ovinos y caprinos	31
Bovinos	31
Aves	32
Aplicaciones de las CTM de MO en medicina veterinaria y zootecnia	33
Terapéutica	33
Producción pecuaria	34
Desarrollo y metabolismo de músculo y tejido adiposo	34
Reproducción, transferencia nuclear, tecnologías de ADN recombinante y transgénicos.	35
Producción de carne in vitro	36
Conclusiones	37
Literatura citada	37
2. HIPÓTESIS	41
3. OBJETIVOS	42
3.1 Objetivo General	42
3. 2Objetivos específicos	42
4 MATERIAL, MÉTODOS Y RESULTADOS.	43
Artículo. Bovine (<i>Bos taurus</i>) bone marrow mesenchymal cells differentiation to adipogenic and myogenic lineages. Jesús Jonathan	43

Ramírez-Espinosa, Laura González-Dávalos, Armando Shimada, Enrique Piña, Alfredo Varela-Echavarría, y Ofelia Mora.

Abstract	47
Abbreviations used in this paper	48
Introduction	49
Material and methods	50
Cell isolation, culture, and passaging.	50
RNA Isolation	51
cDNA synthesis	51
Real time-PCR	52
Experiment 1: Proliferation capacity, mesenchymal stem cell marker assessment, and induction of adipogenic and myogenic lineages.	53
Proliferation capacity	53
Expression of MSC markers	54
Adipogenic differentiation	54
Myogenic differentiation	55
Experiment 2: Enhancement of adipogenic and myogenic differentiation of bovine bone marrow-derived MSC and changes in expression of genes related to energy metabolism.	56
Adipogenic differentiation	56
Myogenic differentiation	56
Statistical analysis	57
Results	58
Experiment 1	58
Proliferation capacity	58
Expression of MSC markers	58
Adipogenic differentiation	58
Myogenic differentiation	59
Experiment 2	60
Effect of PPAR agonists on adipogenic differentiation	60

Effect of PPAR agonists on myogenic differentiation	61
Discussion	62
Differentiation improvement	65
Effect on adipogenesis	65
Effect on myogenesis	67
Effects of PPAR agonists on energy metabolism	69
Conclusions	71
Acknowledgements	72
References	72
Figure legends	80
Tables	83
Figures	88
5. DISCUSIÓN	93
6. CONCLUSIONES	106
7. LITERATURA CITADA	107

RESUMEN

Las células troncales mesenquimales (CTM) son células multipotenciales capaces de diferenciarse a varios linajes, esto las hace un modelo útil para estudiar el desarrollo y la diferenciación. El propósito de este trabajo fue evaluar el efecto de diferentes agonistas de los PPAR sobre la diferenciación y metabolismo de CTM derivadas de bovino e inducidas a los linajes muscular y adiposo. Se aislaron células de médula ósea de becerros Holstein de 7 días de edad y se evaluaron las condiciones para promover la diferenciación adiposa (DA) y muscular (DM). Para la DA se usaron células del primer pasaje y se suplementó el medio con Rosiglitazona, Telmisartan, Sirtinol o Ácido Linoleico conjugado 9-cis, 11-trans. Para la DM se agregó al medio Bezafibroato, Telmisartan o Sirtinol. Mediante qPCR se evaluó la expresión de PPAR γ para la DA y de cadena pesada de miosina (MyHC) para la DM así como genes relacionados con el metabolismo energético. Los datos obtenidos se analizaron como un modelo completamente aleatorizado usando el procedimiento GLM del paquete estadístico SAS. Para la DA, el uso de Telmisartan a 20 μ M mostró la mayor expresión de PPAR γ (15.58 ± 0.62 , $p < 0.0001$) y se encontraron diferencias en la expresión de Hexocinasa II (HK2) ($p < 0.0001$); Fosfofructocinasa (PFK) ($p = 0.0027$); Lipasa de Triglicéridos del Adipocito (ATGL) ($p < 0.0001$); Acetil-CoA carboxilasa α (ACAC α) ($p < 0.0001$) y Ácido Graso Sintasa (FASN) ($p < 0.0001$), pero no para ACAC β ($p = 0.4275$). Para la DM, el Bezafibroato a 200 μ M mostró la mayor expresión de MyHC (73.98 ± 11.79), y se encontraron diferencias en la expresión para todos los genes evaluados (HK2: $p = 0.0011$; PFK: $p = 0.0328$; ACAC β : $p < 0.0001$; PPAR δ $p = 0.0097$; y FABP: $p < 0.0001$). Estos resultados indican que se incrementa la diferenciación hacia adipocitos y miocitos en células de bovino derivadas de médula ósea con el uso de Telmisartan y Bezafibroato respectivamente, además de que la captación, almacenamiento, uso y movilización de sustratos energéticos se mejora con ambos compuestos.

Palabras clave: PPAR, diferenciación celular, metabolismo de energía

ABSTRACT

Mesenchymal stem cells (MSC) are multipotent cells able to differentiate into several lineages, making them a useful model to study development and differentiation. The purpose of this study was to evaluate the effect of PPAR agonists on differentiation and metabolic features of bovine MSC induced to adipogenic or myogenic lineages. Bone marrow cells from 7 days old Holstein calves were isolated and conditions to promote adipogenic differentiation (AD) or myogenic differentiation (MD) were explored. For AD, cultured cells after one passage, were transferred to adipogenic medium supplemented with either Rosiglitazone, Telmisartan, Sirtinol, or Conjugated 9-*cis*, 11-*trans* linoleic acid. For MD, third-passage cells were added to myogenic medium with either Bezafibrate, Telmisartan, or Sirtinol. mRNA expression of PPAR γ for AD, myosin heavy chain (MyHC) for MD, and genes related to energy metabolism were measured by qPCR. Data were analyzed as a completely randomized design using the GLM procedure from SAS. For AD 20 μ M Telmisartan showed the highest PPAR γ expression (15.58 ± 0.62 fold, $p < 0.0001$) and differences in expression of energy metabolism related genes were found for Hexokinase II (HK2) ($p < 0.0001$); Phosphofructokinase (PFK) ($p = 0.0027$); Adipose triglyceride lipase (ATGL) ($p < 0.0001$); Acetyl-CoA carboxylase α (ACAC α) ($p < 0.0001$) and Fatty acid synthase (FASN) ($p < 0.0001$), but not for ACAC β ($p = 0.4275$). For MD, 200 μ M Bezafibrate showed the highest MyHC expression (73.98 ± 11.79 fold), and differences in the expression of all energy metabolism related genes were found (HK2: $p = 0.0011$; PFK: $p = 0.0328$; ACAC β : $p < 0.0001$; PPAR δ $p = 0.0097$; and FABP: $p < 0.0001$). This results point out that adipocyte and myocyte differentiation of bovine-derived MSC is enhanced with Telmisartan and Bezafibrate, respectively; energy uptake, storage, mobilization, and use of energy substrates are improved with both compounds.

Keywords: PPAR, cell differentiation, energy metabolism

INDICE DE ABREVIATURAS

ACACa / b	Acetil Coenzima A carboxilasa a / b
ADM	Medio de diferenciación adiposa
ADN / DNA	Ácido desoxirribonucleico
ARN / RNA	Ácido ribonucleico
ATGL	Lipasa de triglicéridos del adipocito / Desnutrina
BM	Medio basal
BMD-MSC	Células troncales mesenquimales derivadas de médula ósea
BMP4	Proteína morfogenética 4
C/EBPα / β	Proteínas de unión al promotor CCAAT α / β
cDNA	Ácido desoxirribonucleico complementario
CH / HC	Células hematopoyéticas
CLA 9Z, 11E	Ácido linoleico conjugado 9 cis, 11 trans
CPT-1	Carnitin palmitoil transferasa 1
CT / SC	Células troncales
CTE / ESC	Células troncales embrionarias
CTM / MSC	Células troncales mesenquimales
CTS / SSC	Células troncales somáticas
DA / AD	Diferenciación adiposa
DM / MD	Diferenciación muscular
DMEM	Medio de Eagle modificado de Dulbecco
DMSO	Dimetil sulfóxido
EF1α	Factor de elongación 1- α
Eya1	Homólogo de la proteína ojos ausentes
FABP	Proteína de unión a ácidos grasos
FASN	Ácido graso Sintasa
FGF-2	Factor de crecimiento de fibroblastos 2
GAPDH	Gliceraldehído -3-fosfato deshidrogenasa

Gasp 1	Factor de crecimiento y diferenciación asociado a la proteína sérica-1
GLUT4	Transportador de glucosa tipo 4
GPDH	Glicerol-3-fosfato deshidrogenasa
HDL	Lipoproteínas de alta densidad
HGF	Factor de crecimiento de hepatocitos
HK2	Hexocinasa II
HS	Suero equino
IBMX	Isobutil-metil xantina
ICQ	Inmunocitoquímica
IL-11	Interleucina 11
IL-6	Interleucina 6
IM	Medio de inducción para diferenciación adiposa
I-MET	Inmunomicroscopía electrónica
ISCT	Sociedad Internacional de Terapia Celular
ITS	Suplemento de insulina, transferrina, selenito de sodio
LPL	Lipoproteína lipasa
MCC	Microscopía de campo claro
MEF2C	Factor potenciador específico de miocitos 2C
Meox1	Proteína de la homeobox MOX-1
MET	Microscopia electrónica
MO / BM	Médula ósea
MRF4	Factor regulador del músculo 4, Factor miogénico 6, Herculina
Myf5	Factor miogénico 5
MyHC	Cadena pesada de miosina
MyoD1	Proteína de determinación de mioblastos 1
Pax3	Factor de transcripción Paired box 3
Pax7	Factor de transcripción Paired box 7
PCR	Reacción en cadena de la Polimerasa
PD	Duplicaciones celulares
PFK	Fosfofructocinasa

PPAR α / γ	Receptor activado por proliferadores de peroxisomas α / γ
PPIA	Ciclofilina A
PPRE	Elemento de respuesta a PPARs
qPCR	Reacción en cadena de la Polimerasa en tiempo real
RPL13a	Proteína ribosomal L13a
RT-PCR	Reacción en cadena de la Polimerasa tras transcripción reversa
Six1	Proteína de la homeobox SIX-1
TGF-β1 / β3	Factor de crecimiento transformante β 1 y β 3
WB	Western blot
YWHAZ	Proteína de activación de la Tirosin-3-monooxigenasa y Triptófano-5-monooxigenasa

1. INTRODUCCIÓN

El crecimiento del sector pecuario, impulsado por la industrialización de la producción y el incremento de la demanda de los productos de origen animal, exige una mejora en la capacidad de producción y en la calidad de los productos ofertados a los consumidores. Por lo que, en el caso de los productos cárnicos, es necesario el conocimiento de los mecanismos celulares y moleculares que regulan tanto el metabolismo energético como los procesos de diferenciación y desarrollo de los tejidos muscular y adiposo. A la par del entendimiento de estos procesos se requiere el desarrollo de nuevas tecnologías con el fin de incrementar la eficiencia de las diferentes especies pecuarias. Dentro de estas nuevas tecnologías, se encuentra el uso potencial de moléculas sintéticas o naturales, que, mediante la regulación de la expresión génica, modifiquen positivamente el metabolismo y diferenciación de los tejidos muscular y adiposo. En este sentido los Receptores Activados por Proliferador de Peroxisomas (PPARs) son blancos potenciales de estas tecnologías al ser factores de transcripción relacionados con la regulación del metabolismo energético y con la diferenciación celular. Por otro lado las células troncales mesenquimales (CTM) son células multipotenciales capaces de dar origen a diversos tejidos (adiposo, óseo, muscular, neuronal, entre otros). Esta propiedad de las CTM las hacen un modelo atractivo para el estudio de los mecanismos implicados en la diferenciación celular por lo que en el presente trabajo se les utilizó como modelo biológico para evaluar el efecto de diferentes compuestos que modificaran la actividad de los PPARs y con ello la capacidad de diferenciación y el metabolismo energético de estas células ya diferenciadas hacia los linajes muscular y adiposo.

2. ANTECEDENTES

CÉLULAS TRONCALES MESENQUIMALES: BIOLOGÍA, CARACTERIZACIÓN Y FUTURAS APLICACIONES EN SALUD Y PRODUCCIÓN DE ESPECIES PECUARIAS. PARTE I

Rosa M. Pérez-Serrano, Jesús J. Ramírez-Espinosa, Armando Shimada,
Anaid Antaramian, Enrique Piña, Ofelia Mora

CÉLULAS TRONCALES MESENQUIMALES: BIOLOGÍA, CARACTERIZACIÓN Y FUTURAS APLICACIONES EN SALUD Y PRODUCCIÓN DE ESPECIES DOMÉSTICAS Y PECUARIAS. PARTE II

Rosa M. Pérez-Serrano, Jesús J. Ramírez-Espinosa, Armando Shimada,
Anaid Antaramian, Enrique Piña, Ofelia Mora

Artículos publicados en: Agrociencia, Vol. 46, No 4 y 6 respectivamente.

CÉLULAS TRONCALES MESENQUIMALES: BIOLOGÍA, CARACTERIZACIÓN Y FUTURAS APLICACIONES EN SALUD Y PRODUCCIÓN DE ESPECIES PECUARIAS. PARTE I

MESENCHYMAL STEM CELLS: BIOLOGY, CHARACTERIZATION AND FUTURE APPLICATIONS TO ANIMAL HEALTH AND LIVESTOCK PRODUCTION. PART I

Ricardo Pérez-Santos¹, José J. Ramírez-Espinoza¹, Alfonso J. Shimoda²,
Ariadna Antonieta³, Pompeyo Pinto⁴, Olga L. Muñoz⁵

Programa de Posgrado en Ciencias de la Producción y de la Salud Animal, Universidad Nacional Autónoma de México (UNAM), México. ²Laboratorio de Biología y Medicina Molecular, Biología Celular, Facultad de Estudios Superiores Cuautitlán, UNAM, Blvd. Juriquilla 3011, Querétaro, estado de Querétaro, 76230, México. ³Laboratorio de Genética, Instituto de Neurobiología, UNAM, Blvd. Juriquilla 300, Querétaro, estado de Querétaro, 76230, México. ⁴Facultad de Medicina, UNAM, Centro Asistencial Ciudad Universitaria, av. Universidad 3000, 11 E-04500, México.

RESUMEN

Las células troncales mesenquimales poseen características que las convierten en un recurso único para la investigación en el área biomédica. Su empleo como herramienta biotecnológica permite soluciones innovadoras a problemas de salud en humanos y animales. Estas células se caracterizan por su alta capacidad proliferativa (ciclo vital de 100 días), su capacidad de diferenciarse en una amplia variedad de tipos celulares, su facilidad para la ingeniería y reparación de tejidos, manejo de enfermedades y manipulación de la diferenciación celular, e incluso la reproducción animal. El presente trabajo aborda aspectos básicos de su biología y caracterización en las especies sarmientina, enfatizando la necesidad de homogeneizar los criterios que permitan la comparación entre células de las especies pecuarias y sus posibles aplicaciones en salud y producción pecuaria.

Palabras clave: célula troncal mesenquimal, célula con capacidad de diferenciación, célula regenerativa, célula maduradora.

INTRODUCCIÓN

A partir del año 2000 el estudio de las células troncales tomó un gran avance a sus diferentes aplicaciones terapéuticas, convirtiéndose en un modelo para estudiar la biología molecular, celular y

ABSTRACT

Mesenchymal stem cells have characteristics that make them a unique model for research in the biomedical area. Its use as a biotechnological tool allows for innovative solutions for health problems in humans and animals. These cells are characterized by a high proliferative capacity of being viable for long periods and for their multipotential capacity to differentiate into a wide variety of cell lineages. It also lies in their value for tissue engineering and repair, treatment of diseases and manipulation of cell differentiation and even animal reproduction. This paper covers basic aspects of their biology and characterization in *Sarmientina* species, highlighting the need to harmonize the criteria that would allow to characterize these cells in the livestock species and their possible applications in health and livestock production.

Key words: mesenchymal stem cell, stem cell, capacity of differentiation, cell regeneration, cell maturation.

INTRODUCTION

Since 2000, the study of stem cells became widely considered due to their different biological applications, becoming a model for studying molecular biology, cellular and oncogenetic processes. A better understanding of their characteristics will have the manipulation of cell differentiation in order to solve various problems in many areas, and hence animal health and veterinary clinic are emphasized.

¹Correspondencia a: Ricardo Pérez-Santos.

Recibido Septiembre 11, 2011; aceptado en revisión, 2012.

Publicado como: ENFOQUE en Agrociencias 37:1-38, 2012.

los procesos de organogénesis. El mejor conocimiento de sus características favorecerá la manipulación de la diferenciación celular así como el objetivo de resolver diversas problemáticas en múltiples áreas, y aplicarla en finanzas, salud humana y la agricultura.

Biológia

Las células-tronco (CT) poseen la capacidad de pluripotencialidad o multipotencialidad al diferenciarse a linajes celulares diversos y distintos en forma indiferenciada (Bianchi de D'Almo, 2004; Lindner *et al.*, 2010), por lo que las CT se clasifican en embrionarias (CTE) y somáticas (CTS). Las CTE derivan de la una célula madre del blastocito, y a partir de ella se originan los tipos germinales en su embrión, por lo que se consideran células pluripotenciales capaces de diferenciarse hacia cualquier linaje existente en el organismo (Jiang *et al.*, 2007). Las CTS son células-madre sencillas con capacidad de diferenciación limitada a algunas linajes celulares provenientes de otras células y que, por su capacidad de auto-renovación, pueden ser cultivadas por largos períodos (Guadalupe *et al.*, 2010).

Las CTS se han aislado de ratón, rata, perro, mono, cerdo, oveja, cabra, conejo, gato, pelo (Khurana *et al.*, 2009) y humano (Lochey *et al.*, 2003) y de diferentes tejidos: médula ósea (MO), tejido adiposo (Perez *et al.*, 2009), corión umbilical (Menoz *et al.*, 2005), riñones (Jung *et al.*, 2003), placenta, sangre periférica (He *et al.*, 2007), endario esqueleto, dermis, membrana amniótica, tejido pulmonar (Avila *et al.*, 2007), tejido seco (Barigauer *et al.*, 2009), riñón y páncreas (da Silva *et al.*, 2008), siendo las tres primeras si bien las más fáciles de aislamiento más fáciles. La utilización de CTS de tejidos específicos en aplicaciones como la terapia celular tiene como restricciones el tipo de tejido-típico, la invasión de la técnica y la cantidad y plasticidad de las células cultivadas. La participación de las CTs *in vivo* de animales adulto se encuentra mínica, orientándose la capacidad de diferenciación hacia los linajes celulares de los tejidos donde residen, lo que muestra que, *in vivo*, las células somáticas pueden ser reprogramadas y diferenciarse a más de un tipo celular (Hildebrand *et al.*, 2002). La médula ósea es donde poseen su menor compromiso, conservando la plasticidad que las caracteriza.

La metodología para obtener CTs desde la MO, establecida en la década de 1990, consiste en la

Biology

stem cells (SC) have the pluripotent or multipotent capacity to differentiate into various cell lineages and give birth to an undifferentiated form (Glandt de Bruijn, 2006; Lindner *et al.*, 2010), for their origin SCs are classified in embryonic (ESCs) and somatic (SSCs) cells. The ESCs derive from the inner cell mass of the embryo, and from them the germinal layers are originated in the embryo, so they are considered pluripotent cells capable to differentiate into any cell lineage in the organism (Jiang *et al.*, 2007). The SSCs are multipotent cells (with capacity of differentiation limited to some cell lineages) from various tissues and that, for their self-renewal capacity, can be cultivated for long periods (Guadalupe *et al.*, 2010).

The SSCs have been isolated from mouse, rat, dog, monkey, pig, sheep, goat, calf, cow, cow, chicken (Khan *et al.*, 2006), and human beings (Lochey *et al.*, 2009) and from different tissues: bone marrow (BM), adipose tissue (Faver *et al.*, 2008), corion umbilical (Menoz *et al.*, 2005), mouse (Jung *et al.*, 2003), placenta, sangre periférica (He *et al.*, 2007), endario esquelético, dermis, membrana amniótica, tejido pulmonar (Avila *et al.*, 2007), tejido seco (Barigauer *et al.*, 2009), riñón y páncreas (da Silva *et al.*, 2008), siendo las tres primeras si bien las más fáciles de aislamiento más fáciles. La utilización de CTS de tejidos específicos en aplicaciones como la terapia celular tiene como restricciones el tipo de tejido-típico, la invasión de la técnica y la cantidad y plasticidad de las células cultivadas. La participación de las CTs *in vivo* de animales adulto se encuentra mínica, orientándose la capacidad de diferenciación hacia los linajes celulares de los tejidos donde residen, lo que muestra que, *in vivo*, las células somáticas pueden ser reprogramadas y diferenciarse a más de un tipo celular (Hildebrand *et al.*, 2002). La médula ósea es donde poseen su menor compromiso, conservando la plasticidad que las caracteriza.

The methodology to obtain SCs from the BM, standardized in the 1990s, consists in the BM acquire from the mice ear or several epiphyses and selection of cells by density gradients. The BM is a松散组织 located in the medullary cavity of long bones, sternum, hip bones and vertebrae fluffy, consists of endothelial, stromal cells, adipocyte, macrophage, fibroblast cells, stem progenitor cells, and hematopoietic stem cells (Mayo-dar *et al.*, 1998). The main function of BM is to provide and nurture SSCs to

separación de la MO de la epidermis y la epitelio-mesotelial y la sobrecrecimiento mediante gradiente de densidad. La MO es un tejido situado localizado en la cavidad medial de los huesos largos, es decir, hueso de la cadera y vertebrales espinales; está compuesta por células caloides, osteocitos, adipocitos, macrófagos, fibroblastos, células precursoras ectogénicas y células troncales sanguíneas (Majumdar *et al.*, 1996). La función principal de la MO es proteger y modelar. CTS para reparar el tejido dañado en el organismo, por lo cual es el órgano con mayor regeneración (Naus *et al.*, 2004).

Las CTS de MG se dividen en dos grupos: celulas somátopotéticas (CH) y CT multipotenciales (CTM). Las CH presentan multipotencialidad ósteo-osteomielogénica, tendínea, óptica, óculares y angiogénica (Bianco de Di Blas, 2004; Hombach-Klonisch *et al.*, 2008), constituyen sólo una pequeña porción de las células troncales adultas, específicamente una célula por cada 10^4 a 10^5 células, y poseen sobrece de MO sanguínea periférica y sangre del corán amniótico (Hombach-Klonisch *et al.*, 2008).

Las CTM presentan multipotencialidad hacia tejidos conjuntivos como hueso (Dong *et al.*, 2009), cartílago (Vidal *et al.*, 2006), adiposo, muscular (Zeng *et al.*, 2006), y ocular, entre otras, son dinámicamente proliferativas lo que permite mantener cultivos celulares durante largos períodos. Los cultivos *in vitro* constan de una población heterogénea (Blanco *et al.*, 2001) y metabólicamente presentan fuerte migración (función迁徙 fibroblastica), con un núcleo grande, anisótropico y clástico con citoplasma ralo (Flora-Piñeiro *et al.*, 2005). En la figura 1 se muestra la morfología de las CTS de cuatro especies peculiares obtenidas a partir de ratón, liebre y cerdo, mostrando el efecto en el tamaño, forma y organización en cultivo *in vitro*; sin embargo, conservan las características morfológicas antes descritas.

Las funciones endógenas de las CTM en la reparación de tejido son poco claras. Sin embargo, se ha comprobado que aumentar la proliferación y estimular la vascularización mediante la secreción de dioxinas y factores de crecimiento (interleucina 6 (IL-6), IL-1, factor inhibidor de leucemia y factor de estimulación de colonias de macrófagos y granulocitos) que permiten la regeneración de tejido dañado (Cuan *et al.*, 2003).

repair damaged tissue in the body, making it the doctor's major resource (Blona *et al.*, 2004).

Los MSCs se clasifican en dos grupos: hematopoyético (HC) y mesendimial (SC) (MSC). Los HC tiene multiplicidad y se diferencian en macrófagos, osteocitos, fibroblastos, linfocitos y megacarcoma (Bianchi de Di Blas, 2004; Hombach-Klonisch *et al.*, 2008); they represent only a small portion of undifferentiated stromal cells, approximately one cell per 10^4 to 10^5 cells, and can be isolated from BM, peripheral blood, and umbilical cord blood (Hombach-Klonisch *et al.*, 2008).

MSCs have multipotentiality to regenerate tissues such as bone (Doyle *et al.*, 2009), cartilage (Vidal *et al.*, 2006), adipose, muscle (Zeng *et al.*, 2006), and neuronal among others; they are highly proliferative, allowing cell cultures to be maintained for long periods. *In vivo* culture consists of a heterogeneous population (Shuler *et al.*, 2000) and, morphologically, they have a slender shape referred to as "fibroblastoid" with a large, elongated, and centric nucleus with two or three nucleoli (Fdez-Piñeiro *et al.*, 2006). Figure 1 shows the morphology of the MSCs of four different species compared, from bone marrow and dermis showing differences in size, shape, and organization in the distribution; however, they retain the morphological characteristics described above.

The endogenous functions of the MSCs in tissue repair are unclear. However, it has been determined that they increase proliferation and they can stimulate vascularization by secreting cytokines and growth factors (Cytokinin 6 (C1-6), IL-6, leukemia inhibitory factor, and stimulating factor of colonies of macrophages and granulocytes) which allow the regeneration of damaged tissue (Tran *et al.*, 2003).

Characterisation

Dominici *et al.* (2006), on behalf of the International Society for Cellular Therapy (ISCT), indicated five sets of criteria to identify cell populations as MSC.

Ability of adherence to plastic

MSCs have the ability of adherence to plastic (Arends *et al.*, 2007; Blanco *et al.*, 2001) allowing

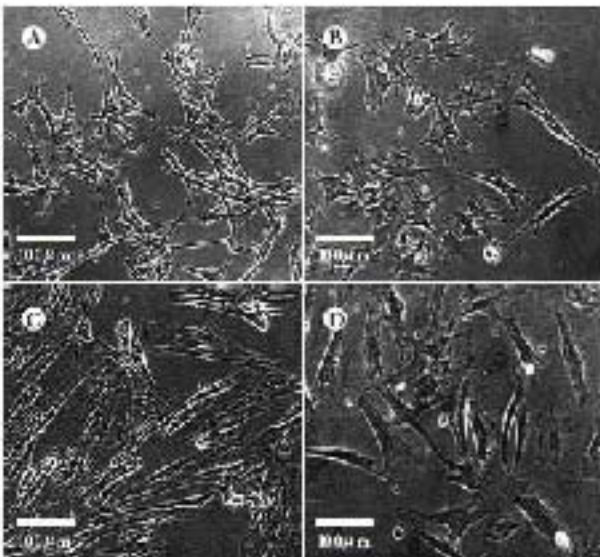


Figura 2. Morfología de las células mesenquimáticas (CTM) obtenidas de huesos de equino (A), pollo (B), cerdo (C) y buey (D). (Microscopio óptico clásico, aumento 200x).

Figura 2. Morphology of mesenchymal stem cells (MSCs) obtained from equine bones (A), chicken bone marrow (B), pig (C) and bovine (D). (Bright field microscope, 200x magnification).

Categorización

Dominici *et al.* (2006), a nombre de la Sociedad Internacional de Trasplante Celular (SITC), establecieron criterios básicos para identificar una población celular como CTM.

Capacidad de adherencia al plástico

Las CTM presentan la habilidad de adherirse al plástico (Avila *et al.*, 2007; Flores *et al.*, 2007) lo cual permite seleccionarlas de la población heterogénea de la que son asintéticas (incluyendo las CT y células reñeras) y que crecen de este modo (Clamberger *et al.*, 2007).

Capacidad proliferativa

Las CTM pueden cultivarse *in vitro* por períodos prolongados en cada linaje diferenciado y alcanzan un período de crecimiento de entre 25 y 50 multiplicaciones celulares (Kane *et al.*, 2004), por lo que sólo pueden mantenerse en cultivo un cierto tiempo de cultivo vivo. De ahí que existe una reducción progresiva de la proliferación, por lo que se los denomina Lineras Celulares Finales (Frederick, 2006). La redacción es la CTM

their selection from the heterogeneous population of which they are toward (including CT and epithelial cells) that indicates today (Clamberger *et al.*, 2007).

Proliferative ability

MSCs can be cultured *in vitro* for prolonged periods in an undifferentiated state and reach a life span of 20-50 cell doublings (Grove *et al.*, 2004), therefore they can only be maintained for a limited number of subcultures. Afterwards, a progressive reduction of proliferation occurs, as they are called Finite Cell Lines (Frederick, 2006). This reduction in MSC is easier to control, to the ESCs where proliferative capacity is highly controlled due to an endogenous repressive transcription mechanism that allows them to maintain their stemness (Gelber *et al.*, 2002). However, since there are no ESC cell line of bovine species and the MSCs have similar characteristics, they are a useful model of study for research and development of technologies in breeding, cloning, and reproduction.

The MSCs *in vitro* present a cell cycle of three periods during the culture: 1) Delay Period, it lasts from 2 to 24 h cells accumulating the cytoplasm

en más temprana en contraste a las CTM donde la capacidad proliferativa es más lenta con un ciclo de doblete a un mecanismo de transcripción inversa endógena que los permiten conservar sus telómeros (Calzoni *et al.*, 2005). Sin embargo, es posible que no existan datos similares de CTM de especies peculiares y las CTM poseen concentraciones millares, son un modelo útil de estudio para la investigación y desarrollo de tecnologías en el seguimiento genético, caneción y reproducción.

Las CTM se están presentando un ciclo celular de tres períodos durante el cultivo: 1) Fase Periodo de Reproducción, duran 12 a 24 h, las células reconstituyen el doblete celular y liberan proteínas de matriz extracelular para adherirse a plástico; 2) Fase Exponential donde la población celular se duplica, experimentando varias veces el auge del cultivo; 3) Fase Decreciente, cuando las células pierden la capacidad de la diferenciación celular y finaliza su crecimiento.

Para determinar la capacidad de proliferación durante el cultivo se evalúan tres características: 1) número de duplicaciones celulares que es la cantidad de duplicaciones que realizan las células cultivadas en un tiempo determinado (Vidal *et al.*, 2006), y en experimentos con CTM de bovinos y porcinos se han 40 a 50 duplicaciones acumuladas después de 10 a 12 subcultivos (Calzoni *et al.*, 2006); 2) cuadro de duplicación celular en el tiempo necesario para la duplicación de una célula y en CTM de equino es 4.9 ± 1.5 d para celular del primer subcultivo (Vidal *et al.*, 2006); 3) una curva de crecimiento celular acumulativo que muestra el comportamiento de las células a lo largo del cultivo respecto a su capacidad de proliferación.

En muestras de células aisladas de MG, la evaluación de estas características permite determinar la capacidad de autorrenovación, característica indispensable para ser consideradas como CTM. En varias investigaciones se reporta tiempo de duplicación celular para las CTM de algunas especies domésticas con resultados no existen datos uniformes sobre la caracterización y proliferación siendo necesario la investigación y la standardización de dichos criterios.

Detección de proteínas de superficie

Para identificar las proteínas de superficie de las CTM se han hecho basada en el uso de

and secrete extracelular matriz proteinas to adhere to plastic; 3) Exponential Phase where the cell population is doubled, occurring several times during the culture; 4) Stationary Phase, the ideal time for induction of cell differentiation by reducing its growth.

To determine the proliferation capacity during culture, three characteristics are evaluated: 1) number of cell doublings which is the amount of doublings that occur in cells given a specific time (Vidal *et al.*, 2006) and in experiments with MSC of bovines and pigs there were 40 to 50 doublings accumulated after 10 to 15 subcultures (Calzoni *et al.*, 2006); 2) time of cell duplication which is the time required for duplication of a cell, and in bovine MSC it is 4.9 ± 1.6 d for first subculture cell (Vidal *et al.*, 2006); 3) a cumulative cell growth curve showing the behavior of cells throughout the culture with respect to their proliferative capacity.

In samples of cells isolated from BM, evaluation of these three characteristics allows to determine the self-renewal capacity, an essential characteristic to be considered MSC. In several studies, times of cell doubling/duplication for MSCs are reported for some domestic species; however, there are no uniform criteria on the characteristics of proliferation, being necessary and standardization of such criteria will be required.

Surface proteins detection

To identify the surface markers of MSCs, techniques are used based on the use of specific antibodies such as flow cytometry immunocytochemistry (ICC), western blot, and immunoelectron microscopy. The main limitation of these techniques is the lack of a specific marker known to allow a proper identification and it is necessary to use a series of antibodies against antigens expressed preferentially (although not exclusively) in the MSCs. Evaluating markers in the isolated population for which the ISTC in 2006 published a list that includes antibodies to identify the MSCs and HCs (Table I).

This list does not only identify the MSCs, nor taking into account the origin and type of tissue bolance, differentiation can be inferred (Dembitsky *et al.*, 2006).

andándose a perfiles como el análisis de Röntgen, tomografía computarizada (CTC), resonancia magnética y angiografía digital. La mayor limitante de estas técnicas es la falta de una muestra específica conocida que permita la identificación correcta y no necesario usar una serie de anticuerpos contra抗原s expresados de manera preferencial (siempre no exclusiva) en las CTM. Es importante aplicar la población citada para lo cual la ECT publicó en el 2005 un boletín que incluye anticuerpos para identificar las CTM y las CS (Cuadro 1).

Es Claude no identifica exclusivamente a las CTM, pero teniendo en cuenta el origen y tipo de tejido rotulado, se puede deducir su presencia (Demirci *et al.*, 2006).

Los anticuerpos probados para determinar la identidad de las CTM en varias especies son usados como modelos de estudio para problemáticas clínicas en el ser humano (Cuadro 2). Los investigadores en medicina veterinaria y zootecnia son dedicados y no se han determinado los anticuerpos específicos de las CTM para cada especie, pero si se han anticuerpos diseñados para los modelos animales estudiados más frecuentemente (ratón, rata y humano). Los investigadores de la ciencia veterinaria para determinar los antígenos expresados en las especies domésticas y después de aplicarlos a anticuerpos específicos, para facilitar la identificación de las CTM. Esto reduciría la confusión generada en las investigaciones donde la falta de certeza a veces impide por las CTM porque se debe a que carecen de la expresión de tales marcadores o el anticuerpo usado no la reconoce. Rivenzule et al. (2007) en su panel de 13 anticuerpos determinaron que reaccionan positivamente en varias especies y reportaron los anticuerpos CD105, W3B7, W4A5, CD56, W3C1 (CD349), W5C4 y S83; con reacción positiva en mono, cabra, borrego, cerdo y perro.

Cuadro 1. Anticuerpos utilizados para la identificación de las CTM.
Table 1. Antibodies used for the identification of the MSCs.

Positivo	Negativo
CD105 (endoglin)	CD34 (Marcador presente de progenitora con respuesta a células endoteliales)
CD31 (Endotelial)	CD45 (Marcador leucocitario)
CD90 (Tropo)	CD16 y CD1b (marcador específico en monocitos y macrófagos)

Antibodies used to determine the identity of MSCs from several species are used as models to study human clinical problems (Table 2). Researchers in veterinary medicine and animal husbandry are scarce and the specific antibodies of the MSCs have not been determined for each species, thus antibodies designed for animal models most frequently studied (rat, mouse and human) are used. This generates a field of opportunity in veterinary science to determine the antigens expressed in domestic species and then design the specific antibodies in order to facilitate identification of the MSCs. This would resolve the controversy generated in research since the lack of reactivity to antibodies by the MSCs may be due to the fact that they lack the expression of such marker or the antibody used does not recognize it. Rivenzule *et al.* (2007), in a panel of 13 antibodies, determined that they react positively in several species and reported the antibodies CD271, W5B2, W4A5, CD153, W3C1 (CD349), W5C4, and S83 with positive reaction in monkey, goat, sheep, pig and dog.

Expression of transcription factors

In mammalian cells, the multipotentiality is controlled by the transcription factors Oct-4, Nanog, Sox2, and Klf4; their expression is modified when the cell commits to a specific cell lineage by initiating expression of other genes. The expression of these genes in the MSCs is controversial because they are specific markers of ESUs.

However, the binding transcription factor 4 (Oct-4) is present in the ESUs and in the MSCs. In mouse cells the expression of Oct-4 and Nanog has been determined confirming their high proliferative ability and stability for prolonged periods (Zeng *et al.*, 2009; Kong *et al.*, 2009). Furthermore, the expression of these genes has been determined in different species (Table 3).

Cuadro 2. Marcadores de superficie en diferentes especies y tipos de islámicas.
Table 2. Surface markers in different species and types of islamics.

Marcador	Tipo de tejido	MO	MO	ES										
CD44	NE	NE	+	NE	+	NE	—							
CD45 (MLA2)	NE	NE	—	NE	+	+	NE							
CD29 (VLA5)	+	+	+	+	+	+	+	NE	NE	NE	NE	NE	NE	+
CD9	NE	NE	+	+	+	NE								
CD55	+	NE	+	+	+	NE								
CD190	NE	+	+	+	+	+	+	+	+	+	+	+	+	—
CD13	+	NE	+	+	+	+	NE	+	+	+	+	+	+	—
CD46 (ICOG46)	NE	NE	+	NE	+	NE								
CD44 (ICOG46)	+	NE	+	NE	+	NE	+	+	+	+	+	+	+	+
CD14	NE	—	—	—	—	NE	—							
CD15 (PTC150)	—	NE	—	NE	—	—	NE	—						
CD56	—	—	—	—	—	—	—	—	NE	—	—	—	—	—
CD24	—	NE	—	NE	—									
CD34	—	—	—	NE	NE	—	NE							
CD16 (ALKALIN)	NE	NE	+	NE	+	NE	+	—						
CD45 (NCAM1)	—	+	—	+	+	NE	—							

^aRamírez-Rodríguez y Melo, 2012; ^bRamírez-Rodríguez *et al.*, 2010; ^cHanmer-Sorenson *et al.*, 2005; ^dAlvarez *et al.*, 2011; ^eKarabek *et al.*, 2011; ^fHuang, Xiang *et al.*, 2005; ^gKim *et al.*, 2005; ^hCastro-Zaragoza *et al.*, 2006; ⁱLiu *et al.*, 2003; ^jSilva *et al.*, 2005; ^kCaro, Odi *et al.*, 2000; ^lGao, Qian *et al.*, 2011; ^mPereira, Caldeira *et al.*, 2007; ⁿSorenson, McCay *et al.*, 2005; MO, marcador de la ICB, negativo; positivo; NE, no establecido; —, Marcador no expresado; TA, tipo adiposo; Dif, óvalo; +, ICB positiva; —, ICB negativa; NE, no establecido; ^a, Hanmer-Sorenson y Melo, 2009; ^bRamírez-Rodríguez *et al.*, 2010; ^cHanmer-Sorenson *et al.*, 2005; ^dBaldwin *et al.*, 2011; ^eKarabek *et al.*, 2011; ^fHuang, Xiang *et al.*, 2005; ^gKim *et al.*, 2005; ^hLiu *et al.*, 2003; ^lSilva *et al.*, 2005; ^hCastro-Zaragoza *et al.*, 2006; ^lIzquierdo, 2010; ^mKumar *et al.*, 2007; ⁿDing, Odekeren *et al.*, 2011; ^oGao, Qian *et al.*, 2011; ^pDog, York *et al.*, 2007; ^qSorenson, McCay *et al.*, 2005; MO, marcador de la ICB, negativo; positivo; TA, óvalo; Dif, óvalo; +, ICB positiva; —, ICB negativa; NE, no establecido.

Expresión de factores de transcripción

En las células de membrana multipotencialidad está bajo control de los factores de transcripción Oct4, Nanog, Sox2 y FoxO3a en expresión teñida ya cuando la célula se compromete a un linaje celular específico iniciando la expresión de otros genes. La mayoría de estos genes en las CTM es comunes al periponcio con marcadas particularidades de CTF.

Su embargo, el factor de transcripción vizcachina 4 (Otx4) está presente tanto en CT y en las CTM. En células tempranas se ha denominado la expresión de Otx4 y Nanog lo que confiere su alta capacidad para invadir y multiplicar durante períodos prolongados (Jiang *et al.*, 2009; Yang *et al.*, 2010). Asimismo se ha determinado la expresión de estos genes en diferentes especies (Cuadro 3).

La expresión de las integrinas más realizadas en CT de cerdos, aves y equinos (Violati *et al.*, 2005), en las demás especies complementa la determinación de estos factores de transcripción se ha llevado a CT. La identificación de la expresión de dichos

con las excepciones realizadas en SC de pavo, faisán, y conejo (Violati *et al.*, 2009), en las otras domésticas especies, determinación de sus manifestaciones ha sido limitada a ES. La identificación y expresión de estos factores en las MSCs de domésticas especies would give further información on the self-renewal and differentiation capacities of these cells, as well as the expression patterns that determine such capacities. Furthermore, the use of transducible factors for the generation of pluripotent cells, induced or recombinant DNA technology, will allow the generation of cell lines of MSCs with a greater capacity for proliferation and differentiation. Una vez generadas de tal modo serían buenas aplicaciones en el estudio de los mecanismos involucrados en la homeostasis, la regeneración, y cel. differentiation.

Multipotencialidad

MSCs have the capacity to differentiate into various tissues, considering basic the adipogenic,

Tabla 3. Expresión de factores de transcripción en CTs de diferentes tejidos y órganos.
Table 3. Expression of transcription factors in MSCs of different tissues and organs.

Código ^a	Cell ^b	Tejido ^c	Tejido ^d	Tejido ^e	Tejido ^f	Tejido ^g
	MSC	NO	MSC	TA	diente	órgano
Otx-4	+	+	+	+	+	+
Nanog	+	+	+	+	+	+
Sox2	+	+	+	+	+	+
Zfp-29	NE	NE	+	NE	NE	NE
Sax-1	NE	NE	+	NE	NE	NE
SOX-4	NE	NE	+	+	+	+

^aYan *et al.* (2003); ^bMalhotra *et al.* (2006); ^cSancho *et al.* (2004); ^dBiescas *et al.* (2009); ^eOLM
en diente; ^fTA: tejido adiposo; ^górganos. NO: no expresado; +: Expresión positiva; NE: no establecida; -: NE. ^bCell: célula; ^cTissue: tejido; ^dTA: diente; ^eOrgan: órgano; ^fMSC: células madres; ^gOrgan: órgano; NE: no expresado; -: NE. ^aCode: código; ^bCell: célula; ^cTissue: tejido; ^dTA: diente; ^eOrgan: órgano; ^fMSC: células madres; ^gOrgan: órgano; NE: no expresado.

factores en las CTs en las especies distintas limitaría mayor influencia sobre la capacidad de proliferación y diferenciación de estos tejidos, así como los patrones de expresión que determinarían tales capacidades. Además, el uso de los factores de transcripción para la generación de células pluripotenciales, inducción mediante tecnología de ADN recombinante, permitiría la generación de líneas celulares de CTs con una mayor capacidad de proliferación y diferenciación. Los factores generados de esta forma, tendrían aplicaciones en el estudio de los mecanismos implicados en la regulación del neoplasia, ingeniería de tejidos y diferenciación celular.

Multipotencialidad

Las CTs poseen la capacidad de diferenciarse a diversos tejidos, considerándose así la capacidad adipogénica, osteogénica y cartilaginosa, pero no está limitada a ese límite. Diversos investigadores han logrado la diferenciación a endoteliales (Baroja *et al.*, 2008), endotelios epiteliales (García *et al.*, 2005; Alvarado *et al.*, 2008) y óstea (Narita *et al.*, 2008), células endoteliales, lepidométricas (Zeng *et al.*, 2006), ósteas y periodontales (Liu *et al.*, 2010), células gliales y meníngeas (Shihom *et al.*, 2007; Li *et al.*, 2010).

Para inducir la diferenciación es necesario emitir el microambiente de los tejidos *in vivo* usando señales o cultivo con mielina, fibronectina, laminina, factores de crecimiento (incluidos en aves animales o aditivos) y algunas compuestos similares.

osteopéntica, and chondrogenic capacity, but are not limited to these lineages. Various investigations have achieved the differentiation into cardiomyocytes (Akavia *et al.*, 2008), skeletal (Dezares *et al.*, 2005; Azkarraga *et al.*, 2008) and muscle (Narita *et al.*, 2008), myogenic, endodermal cells, hepatocytes (Zeng *et al.*, 2006), β -pancreatic cells (Liu *et al.*, 2010), glial cells, and neurons (Shihom *et al.*, 2007; Biescas *et al.*, 2010).

To induce differentiation it is necessary to induce the differentiation of the tissue *in vivo* using culture media with vitamins, hormones, cytokines, growth factors (induced in animal serum or added), and some synthetic compounds.

In the differentiation of MSCs to osteocytes, fetal bovine serum, dexamethasone, β -glycerophosphate, and ascorbic acid are added to the culture medium; the differentiation to chondrocytes is induced by the transforming growth factors β 1 and β 3 (TGF- β 1, TGF- β 3), noggin, bone morphogenic protein 4 (BMP4), insulin, transforming and colony-stimulating factor 1 (CSF1) and the adipogenic differentiator triiodothyronine, indomethacin, insulin, and rosiglitazone acetate (RAA) (Shringarpure *et al.*, 1999).

The evaluation of the capacity of differentiation of MSCs is carried out with alottedopic techniques and they include use of specific staining for bright field microscopy (BFM), enzyme activity tests, immunodetection techniques [Western blot (WB), immunocytochemistry (ICC)], microscopy and electron microscopy (EM), β -MET, and molecular biology (RT-PCR, PCR at real time

En la diferenciación de CTM a osteocitos alrededor de centros se agregan enzima calciofina, calciofina, β -glucuronida y ácido asódico; la diferenciación a condrocitos se induce con los factores de crecimiento transformante β , y β (TGF- β , TGF- β); proteína mitogénica 4 (IM-40), laminina, transformasa y selenio de calcio (ITS); y la diferenciación adipocítica utiliza desacetonato, indometacina, hidroxisteatossil metil sulfato (BMX) (Piringer *et al.*, 1999).

La evaluación de la capacidad de diferenciación de las CTM se lleva a cabo con técnicas de liberación de telómero el uso de marcadores específicos para microscopía de campo largo (MLO), pruebas de actividad enzimática, técnicas inmunocromáticas [Western blot (WB), immunochimica (ICQ)] e inmunofluorescencia (IFC), y marcadores de ADN (Cáceres *et al.*, 2002).

La multipotencialidad convierte a las CTM en modelos de investigación para la terapia ocular, terapéutica de tejidos, inmunomodulación, estudios de mecanismo y diferenciación celular, así como de sustancias que les modifiquen. En el área clínica se les puede utilizar en aplicaciones como anteromedial colágeno degenerativa (desgarro de rodilla y codo en perro), lesiones articulares (rotulitis y histeris en caballo); mientras que en la medicina

se evalúan la tasa de diferenciación (qPCR), y DNA microarray (Table 4).

The multipotentiality makes the MSCs as research models for cell therapy, tissue engineering, immune modulation, studies of mechanism and cell differentiation, as well as the use of substances that modify them. In the clinical area, they can be used in applications such as anterior degenerative disease (hip and elbow dysplasia in dogs), joint lesions (meniscitis and bursitis in horses), while in animal husbandry, the use of the multi-potentiality of the MSCs to evaluate drugs that modify cell differentiation and metabolism will allow obtaining substances that modify the characteristics of meat.

CONCLUSIONES

The validation of results obtained in experiments with mesenchymal stem cells is necessary and it is important to use different methods for their characterization. Within the characterization the ability to differentiate plastic, proliferative capacity, and multipotency as well defined for mesenchymal stem cells, while expression of certain markers and transcription factors is controversial since no specific marker is known and these genes are considered as markers of embryonic stem cells.

Cuadro 4. Técnicas empleadas en el análisis de la diferenciación celular de las CTM y las características encontradas.

Table 4. Techniques used in the analysis of cell differentiation of the MSC and the characteristics found.

Técnica	Características encontradas	Técnica
Multipot:	Diferenciación ósea, cartílago, hueso óseo, tendón y ligamento, óvalos y síntesis de BM3y adhesión a LPS.	WTG (función ósea y óvalos) ^a ME ^b ICQ ^c PCR, qPCR, WB, ICQ ^d
Osteocitos:	Diferenciación pre-osteocito, endodiente tipo I, II y III, y óvalos, y óvalos tipo II.	WTG (función ósea y óvalos) L-MFT ^e PCR, qPCR, WB, ICQ ^f
Osteocitos:	Diferenciación óvalos y óvalos, óvalos y óvalos.	WTG (función ósea y óvalos) cVon Kossa ^g PCR, qPCR, WB, ICQ ^h

^aCáceres *et al.* (2002). ^bElkhalil *et al.* (2009). ^cBonakdarpour *et al.* (2009). ^dPiringer *et al.* (1999).
^eSalminen *et al.* (2009). ^fMarques *et al.* (2002). ^gUhlir *et al.* (2007).

el aprovechamiento de la multiplicidad de las CTM para cultivar diferentes cultivos siguiendo los procesos de eficiencia, calidad y mejoramiento permitiendo obtener sustancias que modifican las características de la carne.

CONCLUSIONES

La validación de los resultados obtenidos en experimentos con células troncales, responde a la necesidad y es importante usar diferentes métodos para su caracterización. Dentro de esa caracterización, la capacidad de adherirse al plástico, la capacidad proliferativa y multiplicacional, están bien definidas para las células troncales mesenquimáticas, mientras que la expresión de marcadores de superficie y genómica de multiplicidad se complementan, porque no se conoce un marcador específico y aislado genómico que se considere como marcadora de células mesenquimáticas.

Se embarga las propiedades de las células troncales, desarrollando así, bases más sólidas dentro para la investigación en biotecnología donde se podrían usar en estudios sobre calidad de carne y comportamiento productivo, así como en el uso eficiente para la regeneración e ingeniería de tejidos. Los puntos anteriores serán abordados en la segunda parte del presente en aya.

AGRADECIMIENTOS

En modo los agradecen por el Proyecto PAPIIT IN200908 (UNAM, México). Tercer colab. es parte de la red doctoral UNAM de troncales animales, quienes pertenecen al grupo de investigación en nutrición animal aplicada al CONACYT la cual encabeza el Dr. Juan de los Santos Gómez (Unam, México).

LITERATURA CITADA

- Abrus, U. D., O. Venkatesh, and D. Beagley. 2008. Computing the transcription profile of a mouse cell cycle marker and downstream genes. *J. Cell. Physiol.* 215: 659-672.
- Añorve, A., D. Solé, y V. Rodríguez. 2007. La célula madre y sus características características biológicas y aplicaciones. *Anales Univ. Nac. M. 5:* 77-84.
- B, Y., W. Gong, X. Zhang, X. Wang, W. Kong, Y. Wang, J. Chen, Y. Li, L. He, and Z. Li. 2013. Prostaglandin-stimulated angiogenesis involves a novel mechanism involving signal transduction via the PI3K/Akt/mTOR pathway. *Int. J. Biol. Sci. Global Health.* 52: 401-431.
- Baraldo de la Torre, C. C., F. Gallegos, A. Hidalgo, y J. Andrade. 2004. Un ensayo sobre la validación de la multiplicación y potencial regenerativo en células Madre. *Revista Avances en Medicina.* 64: 543-549.
- Bianco, P. M., Bunkin, S., Gruber, and E. S., Sabat. 2001. Bone marrow stromal stem cells: biology and potential applications. *Stem Cells.* 19: 310-322.
- Boscoardi, D., M. Martini, G. Riva, S. Tilagi, M. Clermont, and L. Del Prete. 2005. Isolation and multilineage differentiation of bovine bone marrow mesenchymal stem cells. *Cell Tissue Res.* 319: 313-329.
- Casalduo, A. L., and Quimantula, J. V. Diaz, P. D. Casas, E. C. Mandrikian, S. G. Casalduo, S. D. Azevedo, S. Casillas, L. M. Jiménez, L. M. Jiménez, L. M. Jiménez, G. M. Tilay, A. C. de Carvalho, and R. C. Goldfarb. 2008. Bone marrow stromal progenitor cells from cattle can reduce fibrosis and improve function in rat muscle after chronic ischaemia. *Sarcopenia.* 26: 1307-1316.
- Condeledu, B., J. Fox, B. Adams, and J. Middlecamp. 2007. Concise review: mesenchymal stem cell differentiation, differentiation markers, lineage plot, genome, and proteomic clustering. *Stem Cells.* 25: 2739-2749.
- Cilizzi, S., G. D'Antonio, I. Ligorio, S. Duchi, D. Cilia, and G. Lanza. 2006. Mesenchymal stem cells, their differentiation, self-renewal and plasticity. *Journal Stem Cells & Cloning.* 3(1): 15-16.
- Cizak, C., J. Matij, A. Kocabas, H. Yalcin, M. Erkanli. 2007. Chondrogenic differentiation and upregulation of extracellular matrix gene expression in mesenchymal stem cells: a histological, immunological, and molecular study. *Histochemistry.* 128: 507-523.
- d. Sia, M. L., F. C. Cagnola, and N. B. Egan. 2006. Mesenchymal stem cells exhibit the ability of peroxisomal organelles. *Journal Cell Sci.* 119: 2747-2757.
- Deng, M., E. Ishikawa, Y. Ichihara, T. Yoshida, M. Hashino, S. Takagi, C. Li, and T. Nakashima. 2013. Bone marrow mesenchymal progenitor cells and epithelial-mesenchymal transition. *Science.* 339: 311-317.
- Deru, J. M., E. Le Huu, J. Merle, J. Voyer-Couture, L. Merle, D. Kraus, S. Denet, A. Stroung, D. J. Procop, and E. Weissig. 2006. Microangiopathy following experimental myocardial ischemia in the rat: the interaction between the cell and the extracellular environment. *Circulation.* 113: 315-327.
- Dong, S. W., X. L. Tang, X. J. Duan, Z. Xu, Z. J. Yu, C. J. Zhou, B. Yang, and J. S. Sun. 2009. Bone regeneration using an adjuvant mesenchymal stem/hematopoietic mesenchymal

However, the properties of mesenchymal stem cells make them an ideal model for research in animal husbandry where they can be used to study bone meat quality and productive performance, as well as in the direct intervention regeneration and engineering. The above points will be covered in Part II of this essay.

—Final part of the review—



- stem cells expressing C-fos. *Biochim Biophys Acta*, 175, 2226-2235.
- Emanzaja, M. B., and S. Nohria. 2005. Murine mesendymal stem cell-derived and expanded in low-density culture appear surface antigen expression and morphologic characteristics of bone marrow stromal cells. *J Cell Physiol*, 205, 484-511.
- Emanzaja, M. B., F. Nasarwanji, P. Fodale, J. Togoyido, and M. L. Jaiswal. 2009. Isolation, expansion and differentiation of mesendymal stem cells from goat bone marrow. *Iran J Biostat*, 3(4), 73-79.
- Foto-Paturek, E., J. J. Marchuk, and H. Mizrahi. 2005. Odontomaxillofacial stem cells: biology, properties and applications. *Rev Intern Odontol Mex*, 36(48-50).
- Frost, J., K. M. Zhou, J. White, and Z. Alfonso. 2008. Adipogenesis in stem cells. In: *Principles and Methods of Adipose Stem Cells*, pp. 1-11. New Jersey, NJ: Wiley & Sons, Inc. *Forbes*, New Jersey, pp. 3-21.
- Gassot, M., and Massi, L. 2009. Bone-marrow-derived mesenchymal stem cells: biology, expansion, differentiation, and application in production of conditioned medium. In: *Adult Stem Cells*, pp. 51-56. Stamen, S., N. Abramov, B. Goulioti, and Z. Qian. 2011. Maxon distinguishing mesenchymal stem cells from fibroblasts in regenerated tissue engineering. *Nat Cell Biol*, 13, 356-366.
- Hasten, A. M., H. E. Lundmark, J. M. Rohr, B. S. Shattock, and P. Cole. 2011. Regenerating fibroblasts express T-cell markers using cell culture. *Nat Biotechnol*, 29(5), 461-465.
- He, Q., C. Wang, et al. 2007. Concise review: mesenchymal stem cells in blood. *Stem Cells*, 25, 51-57.
- Jacobson-Kram, S., S. Pang, J. L. Roberts, A. Salter, S. Allier, P. Poen, M. Kapitein, K. Schutte, G. van der Maaten, and V. Los. 2003. Adult stem cells of the mesenchymal lineage—potential therapeutic applications. *J Mol Med (Berl)*, 81, 130-144.
- Kim, C. R., M. Sano, G. Choi, D. Chandra, I. Parashar, C. Gu, T. Ghosh, D. H. Ziff, G. Q. Daley, and D. C. Liao. 2011. Functional evidence for the self-renewal of mesangial progenitor cells in human kidney disease. *Stem Cells*, 29, 995-1003.
- Jung, Y., P. N. Skoglund, S. A. Reimann, R. E. Schmitt, C. D. Keene, Z. R. Onyekwelu, M. Repp, T. Lewick, T. Imamura, M. Radford, J. Du, S. Akhondi, A. Liang, W. C. Low, J. A. Langenbach, and C. M. Verfaillie. 2002. Haplotype of mesangial progenitor cells derived from fibroblasts. *Nature*, 420, 48-49.
- Kumar, E., A. Ocaña, C. Gómez, O. Sagripanti, S. Vittori, and H. Sano. 2011. A comparative characterization study of human bone marrow mesenchymal progenitor cells and adipocyte progenitors. *J Cell Physiol*, 226, 365-382.
- Liu, Y., L. Eble, J. Moore, J. Eberle, and E. Brinster. 2006. Comparative analysis of mesendymal stem cells from bone marrow, umbilical cord, and adipose tissue. *Stem Cells*, 24, 1395-1401.
- Mittra, M. T., D. O'Brien, J., and M. Shamsi. 2009. Isolation and characterization of mouse mesendymal stem cells from bone marrow. *Stem Cells Dev*, 18, 455-464.
- Xing, D., S. Senapati, S. Abadie, Y. Li, Z. Wang, S. Soh, and D. L. Saito. 2012. Epithelial-to-mesenchymal transition is moderately linked with bone cell signatures in prostate cancer cells. *Cancer Res*, 72, 3246-3256.
- Zaman, S., M. H. H. Ju, J. C. Kim, S. A. Cho, S. Hong, S. Takemoto, S. Y. Choi, and G. J. Cho. 2007. Differential gene expression patterns in porous media transfer cultures associated with fetal fibroblast and mesenchymal stem cells. *Int J Hyg Environ Health*, 250, 436-445.
- Zaman, S., M. Krishnamoorthy, S. Wuhan, R. Nishizawa, Y. Yamamoto, H. Makimura, S. M. Gorla, J. Lee, J. B. Kim, S. A. Cho, S. T. Shigematsu, Y. Nakamura, T. Nakamura, Y. Nakashima, T. Fujisaki, and M. Denner. 2010. Culture multipotent cells in culture can form mesenchymal cell populations. *Int J Nanomed*, 5, 107-119, 2010.
- Zhu, Y., L. Li, J. Liang, G. Li, Xiang, M. Li, An, L. E. Park, T. S. Kim, S. H. Hyun, E. S. Jeon, and E. J. Cho. 2010. Developmental ability of mouse bone marrow mesenchymal stem cells to differentiate into osteoclasts. *Stem Cells Int*, 2010, 256-262.
- Zucker, R. T., Niedernhofer, A. Skarlis, A. Radin, A. M. Crowley, A. Umar, D. E. Maruska, and A. W. Stark. 2001. Human mesenchymal stem cells exhibit an inherent mesenchymal differentiation bias toward osteoprogenitors. *Proc Natl Acad Sci U S A*, 98, 107-112, 2001.
- Zuo, S., L. Li, S. Lu, W. J. He, H. Z. Xiao, C. G. Sun, S. Yu, X. X. Yang, F. C. Zhang, X. L. Liu, Y. B. Shi, and S. Li. 2010. Differentiation of mouse-derived mesenchymal stem cells and their effects on bone repair. *Chin Med J (Engl)*, 123, 3445-3451.
- Krysko, K. M., K. M. A. Thiel, J. D. Morris, K. Klemm, and S. L. Geiss. 1995. Histologic and functional comparison of different bone marrow stromal mesenchymal stem cells from human and animal cells. *J Cell Physiol*, 163, 57-66.
- Mittra, M. T., S. A. Mittra, R. K. Gupta, R. Banerjee, and S. Tait. 2012. Mesenchymal progenitor cells exhibit differential capacity to form osteoblasts and mesenchymal stromal cells. *Stem Cells Eng Regen Med*, 10(3), 369-377.
- Mittra, S. C., Achin, C., Umar, A. 2006. Mesenchymal progenitor cells coexist within a mesenchymal stem cell throughout ontogeny. *Development*, 133, 137-146.
- Mittra, S. C., S. C. Achin, A. Umar, Z. Zaman, R. A. Imamura, and D. L. Saito. 2009. Characterization and developmental potential of mouse bone marrow derived bone progenitor cells. *J Cell Physiol*, 224, 324-330.
- Sano, Y., A. Yamashita, H. Sugano, M. Ueda, and Y. Ueda. 2008. Effect of transforming growth factor- β 1 and sonic hedgehog on differentiation of human bone marrow-derived mesangial progenitor cells into smooth muscle cells. *Int J Biochem Cell Res*, 39, 449-457.

- Rein, S., D. Becker, M. Wright, L. Horne, and D. Johnson. 2004. Functional expression of EGFR and EGFR Receptor-like in adult human mesenchymal stem cells suggests a role in osteoblast differentiation and bone healing. *Stem Cells* 22:473-481.
- Tao, S., A. C. Fox, and D. E. Bla. 2007. Cooperative communication of paracrine mesenchymal stem cells derived from bone marrow committed constituents. *Transl Res Part B: Methods Res* 148:381-391.
- Tranquer, M. E., A. M. Naidoo, S. H. Sohn, R. K. Jaiswal, R. Douglas, L. G. Moore, M. A. Mooney, D. W. Schwartz, S. Craig, and D. R. Mikos. 1999. Mitogenic potential of rat fibroblasts on poly(methyl methacrylate) surfaces. *Science* 285:443-447.
- Turnby, J. N., T. L. Webb, D. N. Gibbons, and D. W. Dose. 2004. Evaluation of autologous adipose tissue stem cells for treatment of chronic osteoporosis in postmenopausal women. *J Bone Min Res* 19:118-126.
- Vainio, O., I. Takala, V. Palovaara, M. Tuukkanen, S. Jauhainen, L. Muotnik, S. Miettinen, and J. Antton. 2005. Endogenous stem cell marker expression pattern in human mesenchymal stem cells derived from bone marrow, adipose tissue, heart and dentine. *Stem Cell Res* 5:378-385.
- Zacchilli, M. H., L. Park, B. Shapoura, J. Stuck, H. J. Ellinger, and A. C. Muntra. 2010. Prospective isolation of mesenchymal stem cells from adipose tissue using a combination of anti-human and anti-mouse monoclonal antibodies. *Stem Cell Dev* 2:191-192.
- Zampagno, R., L. Haroun, A. Keating, W. L. Stanford, and J. E. Davies. 2007. Human mesenchymal stem cell-derived bone cell differentiation is modulated by a dexamethasone-treatment. *Stem Cells* 25:1693.
- Shiozaki, M., T. Itoh, M. Yamamoto, S. Iida, A. Taniguchi, H. Saitoh, E. Kuboyama, T. Kuro, K. Umeda, M. Yamamoto, and T. Nakatsuji. 2007. Isolation and characterization of bone marrow stromal mesenchymal progenitor cells with angiogenic and osteoinductive properties. *Regen Med Res* 30:1113-1123.
- Sunm, S., M. X. C. Black, M. Zhu, I. Wilairat, Z. Akman, S. S. Shabani, J. X. Sun, and M. H. Fukui. 2005. Multicellular differentiation of adipose tissue-derived mesenchymal stem cells. *Korean J Med* 70:182-188.
- Tan, S., G. Kohane, and S. Jain. 2002. Adult mesenchymal stem cells can self-renew while expressing Adhensin. *Res Ther* 5:214-215.
- Vidal, M., S. G. de Klerk, J. E. Johnson, M. I. Lopez, K. M. Moore, and J. M. Garthe. 2005. Cell growth characteristics and differentiation capacity of different types of bone marrow derived mesenchymal stem cells responsive and nonresponsive to dexamethasone. *Stem Cells* 23:601-608.
- Violante, S., J. Kunkel, L. E. Blum, C. Goncalves, and M. Mazzoni. 2009. High bone marrow mesenchymal stem cell capacity for osteogenesis but decreased ability of osteogenic differentiation by estrogen exposure in FGF21. *PLoS One* 4:10-20.
- Zhang, Y., S. Kim, J. Dalling, and E. Tocino. 2012. Mathematical modeling decodes the specificity of osteogenic differentiation of human mesenchymal stem cells. *Scientific World Journal*. doi:10.1100/2012/795824.
- Zeng, L., E. Kauranen, Q. Hu, C. Liard, L. Sandelin, M. Seita, T. D. O'Brien, J. Zhang, and C. Verfaillie. 2006. Mesenchymal progenitors self-renew and generate bone. *Stem Cells* 24:2555-2565.

CÉLULAS TRÓNICAS MESENQUIMALES: BIOLOGÍA, CARACTERIZACIÓN Y FUTURAS APLICACIONES EN SALUD Y PRODUCCIÓN DE ESPECIES DOMÉSTICAS Y PECUARIAS. PARTE II

MESENCHYMAL STEM CELLS: BIOLOGY, CHARACTERIZATION AND FUTURE APPLICATIONS TO ANIMAL HEALTH AND PRODUCTION OF DOMESTIC SPECIES AND LIVESTOCK. PART II

Alma M. Pérez-Simón¹, José J. Rivas-Gómez-Pérez¹, Alvaro de Shima²,
Ariadna Armenta³, Lucía P. Pina⁴, Ofelia Ríos^{5,6*}

¹Programa de Posgrado en Ciencias de la Producción y de la Salud Animal, Universidad Nacional Autónoma de México (UNAM), Ciudad Universitaria, Departamento de Anatomía y Metabolismo Celular, Cuernavaca, Estado de Morelos, 72221, México. (anam2009.unam.mx). ²Instituto de Neurofisiología, UNAM, Blvd. Juriquilla 3013, Querétaro, código postal 76230, México. ³Facultad de Medicina, UNAM, Ciudad Universitaria, C. 04510, Ciudad de México, D. F. 14000, México. ⁴Facultad de Medicina, UNAM, Ciudad Universitaria, C. 04510, Ciudad de México, D. F. 14000, México. ⁵Facultad de Medicina, UNAM, Ciudad Universitaria, C. 04510, Ciudad de México, D. F. 14000, México. ⁶Dpto. de Biología, Facultad de Ciencias, UNAM, Ciudad Universitaria, C. 04510, Ciudad de México, D. F. 14000, México.

RESUMEN

Las células trónicas mesenquimales poseen capacidad proliferativa alta y potencial de diferenciación a diferentes tipos celulares. Estas cualidades las hacen un modelo biológico idóneo en el estudio y desarrollo de la medicina e ingeniería biomédica para su uso en la salud humana y en la veterinaria. En este artículo se analiza la información disponible sobre las células trónicas mesenquimales de especies domésticas y se discuten posibles usos terapéuticos y funcionales en la medicina veterinaria y la médica en ingeniería y regeneración de tejidos, restauración de enfermedades celulares, generación de animales con mejoras características productivas, reproducción asistida de animales perturbados y expuestas a un peligro de extinción y mejor entendimiento de los procesos de desarrollo y establecimiento clonal de las especies domésticas.

Llaves de acceso: célula trónica mesenquimal, célula clonal, diferenciación celular, ingeniería médica, producción animal, especie clonal.

INTRODUCCIÓN

Desde el descubrimiento de la célula trónica en la década de 1950 y la identificación y caracterización posterior de los estímulos

ABSTRACT

Mesenchymal stem cells are highly proliferative and have the potential to differentiate into several cell types. These qualities make them a ideal biological model for the study and development of biomedical tools for use in veterinary and medical medicine and animal production. This paper reviews the information available on mesenchymal stem cells in domestic species and their possible uses, present and future, for veterinary medicine and animal production engineering and tissue regeneration, restoration of cellular diseases, generation of animals with better production characteristics, assisted reproduction of genetically superior animals or at risk species and better understanding of the processes of clonal development and establishment of domestic species.

Key words: mesenchymal stem cell, bone marrow, cell differentiation, multipotency, animal production, cell cloning.

INTRODUCTION

Since the discovery of stem cell in 1950 and the later identification and characterization of mesenchymal stem cells (MSC), a large body of information and research has been generated on the biology and possible applications of these cells, mainly on human health care and medical engineering, as models. In other domestic species, the research done has been limited mainly to cases in which a species is a model compatible with normal physiology or a human disorder. The availability

*Autor responsable de la correspondencia.

Entidad apoyadora: CONACYT, Ayuntamiento de Cuernavaca.

Publicado en línea en Agrociencia 46:94-113, 2012.

mesenquimática (CTM) se ha generado gran cantidad de información e investigación sobre biología y las posibles aplicaciones de estas células, centrando a la salud humana, y estudiando como moldes para el manejo a la población humana. En otras especies domésticas la investigación se ha limitado principalmente en razas en las que no existe una modelo compatible con la fisiología animal o algún padecimiento humano; la existencia de estos modelos ha promovido el estudio, aislamiento y caracterización de células mesenquimáticas de médula ósea (MO), de las principales especies de animales veterinarios y domésticos (Cuadro 1).

Debido a su capacidad proliferativa alta y de diferenciación a diversos tejidos, las CTM se están experimentando para evaluar el efecto de la terapia celular sobre inflamación, lesiones de médula (Hung *et al.*, 2006; Gundolf *et al.*, 2011), restauración de células cardíacas, degeneración de discos intervertebrales, reparación de fracturas, remplazo de cartílago, lesiones en médula espinal (Hung *et al.*, 2009) e edema (Buchfeld *et al.*, 2010).

Caracterización de células troncales mesenquimáticas de médula ósea de especies domésticas

Carnívoros

Casali *et al.* (2007) caracterizaron CTM de MO de perro y encontraron una reacción positiva a los marcadores de CTM CD105 y CD90 y negativa para los marcadores de células hematopoyéticas (HO) CD34 y CD45. Además diferenciaron las células a ósteocitos, condrocitos y adipocitos. En ese sentido, las células diferenciadas a condrocitos se observaron rodeadas en nódulos, las células adiposas crecieron en el exterior y células de osteogénesis ósea difundieron en la proliferación similar a la morfología del cartílago articular.

Primates

Morin *et al.* (2007) aislaron y caracterizaron CTM de MO felina y la frecuencia de esas células fue 1 en 4.7x10³ a 1 en 5.5x10³ células del total de células vivas. Las células expresaron los marcadores de CTM CD9 y CD49 y fueron negativa para el marcador CD34 CD45, además de diferenciarse

de estas células han promovido la study, isolation and characterization of bone marrow mesenchymal cells from the main species of interest in veterinary medicine or animal production (Cuadro 1).

Desde que se proliferan rápidamente y difunden entre aves domésticas, MSC son cada vez más utilizados en evaluación del efecto de cel-terapia en osteoporosis y artrodesis tópica (Chung *et al.*, 2006; Gundolf *et al.*, 2011),瓣膜 valve reconstruction, intervertebral disc degeneration, repair of fracture, hip replacement, spinal cord lesion (Hung *et al.*, 2009) en caballos (Gundolf *et al.*, 2010).

Characterization of bone marrow mesenchymal stem cells in domestic species

Carnivores

Casali *et al.* (2007) caracterizaron MSC de orgános de hueso marino y fueron a positivo reacción a CTM CD90 y CD90 marcadores y negativo para los marcadores de células hematopoyéticas (HO) CD34 y CD45. They also differentiated the bone marrow cells into osteocytes, chondrocytes, and adipocytes. In that study, the cells differentiated into chondrocytes appeared ordered in nodules with chondrocytes in the center and cells with fibroblastoid morphology in the periphery similar to the morphology of cartilage in man.

Felinos

Martin *et al.* (2002) isolaron y caracterizaron MSC de feline bone marrow, and the frequency of these cells was 1 in 4.7x10³ to 1 in 5.5x10³ cells of the total isolated cells. The cells expressed the MSC markers CD9 and CD44 and were negative for the HO markers CD34. They also differentiated these cells into adipocytes and osteocytes. Quintyn *et al.* (2001) report similar results in this family for differentiation into adipocytes and osteocytes, and further, in chondrocytes.

Equinos

En equinos, Yildiz *et al.* (2009) determinó la proliferación y diferenciación capacidad de MSC. Cell duplicación time was 14±0.26 d, achieving

Capítulo 1. Células mesenquimáticas (CM) de modelo óseo (hB9) de especies domésticas y su uso en modelo biológico.

Table 1. Mesenchymal stromal cells (MSC) from bone marrow of domestic species as biological model.

Especie	Nómina	Referencia
Oveja	mesenquimal adulto ovino	Quaranta, 2001
Cordero	Mucosidad condensada y representante de artilugio óseo, porciones óseas y epitelio óseo, osteocondro	Quaranta, 2002; Li, 2003
Oveja	Regeneración ósea ósteocondral	Hodges, 2004; Vicente-T., 2007
Porcino	Lámina de membrana	Vicente-T., 2007
Equino	Segmentación cranea	Slatka, 2002; Huang, 2006
Equino	Endofaringe ósea	Banks, 2009
Cordero	Segmentación condensada y representante de artilugio óseo	Li, 2003; Li, 2005
Cordero	Segmentación cranea	Fosangyuk, 2005; Zhu, 2008
Cordero	Transformación ósteocondral	Edam, et al., 2005; Li, 2009
Cordero	Transformación ósteocondral	Jung, 2009
Oveja	Lámina de membrana	Li, 2003
Oveja	Transformación ósteocondral	Sin, 2005
Oveja	Transformación ósteocondral	Elshark, 2011
Oveja	Transgénica	Heo, 2011

celulas a adipocitos y osteocitos. Quimby *et al.* (2007) reportaron resultados similares con esta especie para la diferenciación a adipocitos y osteocitos, presentando resultados.

Equinos

En ovejas Vidal *et al.* (2006) determinaron la capacidad de proliferación y diferenciación de las CEM y el tiempo de duplicación celular fue 142.0±6.6 h, alcanzando 30±7.4 duplicaciones más allá del décimo passage. Adicionalmente, se diferenciaron las CEM de oveja a las líneas adiposa y ósea.

Porcinos

Las células mesenquimáticas (CM) de los porcinos incrementan su número a un ritmo regular hasta el decimo passage y en los pasajes siguientes disminuyen hasta el octavo quinto passage, cuando el crecimiento celular se detiene, alcanzando alrededor de 40 duplicaciones (Colleoni, *et al.*, 2005). Las células óstearas muestran capacidad de diferenciación adiposa y ósea, mientras que cultivos mixtos con fibroblastos, céctesis de presentar actividad de gomas lípidicas formular un depósito en el cultivo y algunas células presentan vacuolas en su citoplasma, las cuales indican diferenciación adiposa en estas células. Otras señales con el mismo carácter se observaron en el multienquistado, además de expresar el gen para

30±2.4 células duplicaciones por el sexto passage. Túlos también transformaron las óstearas MSC en adipogénesis y osteogénesis fibroblastos.

Pigs

Bone marrow mesenchymal cells of pigs increase in number at a regular rhythm until the tenth passage and decrease in subsequent passages until the fifteenth passage when cell growth ceases, achieving around 40 duplications (Colleoni, *et al.*, 2005). The isolated cells exhibited the ability to differentiate into adipocytes and osteocytes, while cultured cells associated with fibroblasts, besides having an accumulation of lipid drops, formed multi-layers and some cells had vacuoles in their cytoplasm, indicating differentiation into adipocytes. Other cultures treated with the same reagent were observed to be bipolar multi-nucleated, as well as expressing the gene for the myosin heavy chain, a marker for muscle differentiation (Colleoni, *et al.*, 2005).

The MSC from porcine and porcine bone marrow samples possess the ability to proliferate about 30 cell duplications (Zeng, *et al.*, 2008). An important finding was that some of the isolated clones from porcine sample expressed Oct4, a highly important transcription factor in maintaining cell pluripotency during the embryo stage (Ara, Benítez, *et al.*, 2010); this expression remains stable even after 90 cell duplications. The cells isolated by

a cadena pesada de mielina, un marcador de la diferenciación mielínica (Gallopin *et al.*, 2005).

Las CTM de avesjas ce MO puro poseen una capacidad de proliferación superior a las 30 divisiones celulares (Zeng *et al.*, 2006). Un hallazgo importante fue que algunas de las células adyacentes a las avesjas pesadas expresan CD334, indicando de suma importancia, ya el mantenimiento de la pluripotencialidad de las células durante la etapa embrionaria (Aou-Bernard *et al.*, 2010), y dicha expresión se mantiene constante sin despegar de 92 divisiones celulares, más o menos. Las células adultas por Zeng *et al.* (2006) conservaron capacidad de diferenciarse a una amplia gama de tipos celulares: adipocitos, osteocitos, artroblastos, célula muscular lisa, célula endotelial, hepatocitos y células del neuroectodermo.

Ovinos y caprinos

En ovinos, Quimperle *et al.* (2002) observaron la capacidad de diferenciación osteogénica y adipogénica de células de la MG. Además, Estiméjed *et al.* (2007, 2009) evaluaron la capacidad de proliferación y diferenciación de las CTM de MO de ovejas y caprinas. Ellos encontraron que las células tridales de ambos especies tienen capacidades osteogénica, adipogénica y condrogénica, mientras que el tiempo de duplicación celular fue 21.9±2.67 h para caprinas y 24.9 h para ovejas.

Según McCarty *et al.* (2009), la densidad de CTM con marcadores de células madre fue 4.6 ± 0.7 células por cada 10^3 células madres, que exceden los marcadores de CTM: CD44, CD165 y CD29 y poseen capacidad osteogénica, condrogénica y adipogénica y carecen de la expresión de los canónicos Sca-1, CD166, CD90 y CD105 de CTM, y CD4, CD5 y CD45 de CFC.

Bovinos

En bovinos, Gallego *et al.* (2005) determinaron que las células tridales se pueden duplicar 50 veces; las CTM adyacentes tienen capacidad osteogénica, mientras que cultivos tratados con TGF- β incrementaron capacidad adipogénica (expresión de genes LPL y ADR), y miogénica (expresión de cadena pesada de mielina). Según Bernabóvics *et al.* (2005), las CTM de bovinos poseen capacidad miogénica,

Zeng *et al.* (2006) showed the ability to differentiate into a broad spectrum of cell lineage: adipocytes, chondrocytes, osteocytes, smooth muscle cells, endothelial cells, hepatocytes, and neuroectoderm cells.

Gatos y sheep

In gatos, Quimperle *et al.* (2002) observed the ability of bone marrow cells for chondrogenic and osteogenic differentiation. Así, Estiméjed *et al.* (2007, 2009) evaluated the capacity for proliferation and differentiation of bone marrow MSC from sheep and goats. They found that the isolated cells of both species have osteogenic, adipogenic and chondrogenic capacity. Cell duplication time was 24.9 ± 2.67 h for goats and 24.9 ± 4.67 h for sheep.

According to McCarty *et al.* (2009), the abundance of MSC in samples obtained from adult sheep was 4.6 ± 0.7 cells for each 1×10^3 hematopoietic cells. These cells express the MSC markers CD44, CD166 and CD29 and have osteogenic, chondrogenic and adipogenic capacity; they lack expression of the MSC marker Sca-1, CD166, CD90, and CD105, and HC markers CD4, CD5, and CD45.

Bovines

In bovines, Gallego *et al.* (2005) determined that isolated cells can double 50 times. Isolated MSC had osteoprogenitor capacity, while cultured cells treated with 5 ng/ml rhBMP-2 exhibited adipogenic (presence of lipid droplets) and myogenic (expression of the heavy myosin chain) capacity. According to Bernabóvics *et al.* (2005), bovine MSC have osteogenic, chondrogenic, and adipogenic capacity as well as morphological characteristics particular to these features. The isolated cells differentiated into osteocytes had classical morphology; the cells treated with chondrogenic medium exhibited rounded morphology and an increase in cell density with multi-layer formation, while the cells differentiated into adipocytes had lipid vacuoles.

Porcinos

Studies are scarce and focused mainly on bovines. Khatir *et al.* (2007) characterized MSC isolated from bone marrow and, using PCR, found the expression

con adipocitos y adipogénesis: formación de características morfológicas particulares de estos tipos. Los cultivos diferenciados a osteocitos tenían una morfología cabecuda, las células tritadas con medio condensado mostraron morfología rodona y triangular en la densidad celular con formación de multicapas, y las células diferenciadas a adipocitos tenían vacuolas lípidas.

Aves

Los estudios son escasos y señales principalmente en pollos. Rhazi *et al.* (2009) caracterizaron CTM a través de VD de pelle y mediante PCR constataron la expresión de las marcas de superficie CD44, CD90, CD105 y de los factores de manejabilidad POUV (homólogo a Oct-4 de mamíferos). Sox2 y Nanog que controlan el desarrollo y diferenciación de las CTM. Estos investigadores indicaron la diferenciación a las líneas sepiro, cartílagos y ósea.

Los estudios muestran la consistencia parcial de las CTM de MUS de diferentes especies. En particular, la Sociedad Internacional de Terapia Celular (ISCT) sugiere los criterios mínimos para la identificación: 1) capacidad de adherir a la plástica, 2) expresión de marcas de identidad y 3) potencial de diferenciación a adipocitos, osteocitos y condrocitos. (Dominici *et al.*, 2006).

Respecto a la capacidad de adherencia y potencial de diferenciación, todas las especies domésticas encuestadas comparten estas características con los modelos de medicina (ratón y conejo) y humanos. Sin embargo, respecto a la expresión de marcas, los datos etnológicos de especies perennes son inconclusos. La ISCT sugiere que las CTM deben expresar por lo menos los marcadores CD105, CD90 y CD73, pero en especies perennes sólo se reportan algunas de estas marcas y otras no asociadas a las CTM.

Recientemente, Rzewnicki *et al.* (2010) con un panel de 45 anticuerpos probados en once especies avíreas, porcinas y caninas determinaron que todos ellos reaccionaron positivamente a los anticuerpos CD37, W8B2, W4A5, CD56, WJ134, CD95-4G, W5C4 y S8G1, pero McCay *et al.* (2009) no encontraron expresión de CD90 y CD105 en ovinos. En estos experimentos el uso de anticuerpos dirigidos para responder a los antígenos de humanos o rodenticos no pudo explicar la falta de reactividad en otras especies. Es necesario diseñar anticuerpos específicos para cada

especie en las CTM: CD44, CD90, CD105, y las transcripción factores PouV (homólogo a la humana Oct-4, Sox2 y Nanog), which control the development and differentiation of MSC. These researchers indicated differentiation to adipose, cartilage and bone lineage.

The current report partly characterizes avian bone marrow MSC from different species. In this sense, the International Society of Cell Therapy (ISCT) suggests the minimum criteria for isolated cells: 1) capacity to adhere to plastic; 2) expression of identity markers; and 3) potential for differentiation into adipocytes, osteocytes and chondrocytes (Dominici *et al.*, 2006).

Regarding the capacity to adhere and potential to differentiate all of the domestic species studied share these characteristics with recent (rat and mice) and human models. However, the data obtained from livestock species relative to the expression of markers are inconclusive. The ISCT suggests that MSC must at least express the CD105, CD90, and CD73 markers. But in livestock species, only some of these markers, as well as others associated with MSC, have been reported.

In contrast, Rzewnicki *et al.* (2010), with a panel of 45 antibodies tested in monkey, goat, sheep, pig and dog, determined that all these species reacted positively to the antibodies CD29, W8B2, W4A5 (CD849), W5C4, and S8G1, but McCay *et al.* (2009) did not find expression of CD90 or CD105 in sheep. In this experiment, antibody designed to react to human and rodent antigens were used; this can explain the lack of reactivity in other species. It is necessary to design specific antibodies for each species, as well as to characterize more comprehensively the different markers associated with MSC to determine the patterns of expression of the species studied. Expression of transcription factors Oct3/4, Nanog e Sox2 indicates multipotency in isolated cells and its characterization should be determined in these species since it would allow better identification of bone marrow MSC. This has been accomplished in poultry (Rzewnicki *et al.*, 2009) and horses (Vidali *et al.*, 2005), but it is still pending in other domestic species.

Bone marrow MSC applications in veterinary medicine and animal production

Knowledge generated in MSC studies in domestic species relative to the ability to proliferate

especie, así como una caracterización más completa de la expresión de diferentes marcadores asociados a las CTM para determinar los patrones de expresión de las especies estudiadas. La expresión de factores de transcripción (Oe-3/4, Nanog o Sox2), indica multipotencialidad en las células madre y es una característica que se debe determinar en cada especie porque permitirá una mejor identificación de las CTM de MO. Esto se ha comenzado en aves (Koop et al., 2009) y también (Violini et al., 2009), pero está pendiente en otras especies pecíolas.

Aplicaciones de los CTM de MO en medicina, restauración y odontología

La información generada en los estudios de las CTM de la serie dominante respecto a su capacidad de proliferación y diferenciación, abre posibilidades para el tratamiento de innumerables enfermedades humanas y crónicas degenerativas, la generación de teñidos más eficientes y sólidos a estandarizar, una mayor comprensión del desarrollo e diferenciación de los tejidos normales y enfermos, así como la conservación y potenciación de especies silvestres y raras de especies amenazadas en peligro de extinción.

Téma Pémuíca

Las principales implicaciones de estos estudios en el área veterinaria son el tratamiento de lesiones del apéndice sacroiliaco, en particular en los tejidos duros, cartilaginosos y óseos en equinos y caninos. En los equinos la CTM de KO se usa para el tratamiento de lesiones ocasionadas por caídas o impactos: tendinitis, lesiones en ligamentos, fracturas lumbares y enfermedades articulares (Smith *et al.*, 2003; Ferguson y Ferrell, 2001). De hecho se ha comprobado su eficacia de diferenciarse a los frágiles huesos, cartílagos, tejidos y tendones (Vidrio *et al.*, 2009; Terry *et al.*, 2000). De igual forma se utilizan en modelos experimentales de tendinitis (Cavalcante *et al.*, 2010) y en estudios clínicos los resultados son favorables (Smith, 2008) reporta reincidencia de 15 % en lesión del tendón flexor digital superficial compuesta de un 10 % de seguimiento ($n=158$), comparado con 56 % de reincidencia para artrosis, y si sigue el programa de rehabilitación completa para este tipo de lesiones.

and disseminates open up possibilities for treatment of traumatic and inflammatory and chronic degenerative diseases, to generate, animals more efficient or more resistant to disease, a better understanding of the development and differentiation of muscle and adipose tissue, as well as conservation and preservation of endangered wild and breeds of domestic species.

The therapeutic index

The main applications of these cells in veterinary medicine are the treatment of lesions of the skeletal system, particularly bone, cartilage and tendon tissue in horses and dogs. In horses, bone marrow MSCs are used in the treatment of lesions caused during rowing or jumping, racing injuries, ligament lesions, fractures, laminitis and arthritic diseases (Soriano *et al.*, 2003; Boijssen and Peleteiro, 2006). *In vivo*, their capacity to differentiate into bone, cartilage, adipose and tendon lineage has been demonstrated (Vandamme *et al.*, 2009; Leamy *et al.*, 2010). These cells showed *in vitro* in experimental models of tendonitis (Cirigliano *et al.*, 2010) and in clinical studies results are favorable. Saito (2013) reported 18% re-injuries in lesions of the superficial digital flexor tendon after one year of follow-up ($n=128$), compared with 36% re-injuries in animals that followed the conventional rehabilitation program for this type of lesion.

In dogs there are studies on the use of bone marrow MSC and adipose tissue induced cartilage regeneration in elbow and carpal/femoral articulation (Black *et al.* 2007, 2008). In the first study, 16 dogs of different breeds were treated with MSC from adipose tissue applied to the elbow. The six month follow-up of the evolution of their lameness showed an improvement of 54% ± 7%.

Besides these therapeutic applications with mesenchymal cells, we give the pets other diseases similar to those of humans, their use in treatment of diseases, performed either filling all *et al.*, 2006), lesions in the spine (and (Oby 2006), immunological diseases, skin and mucosal lesions (El Mestery *et al.*, 2006; Hall *et al.*, 2010) and chronic renal disease (Quincy *et al.*, 2011) has been investigated. Research on therapeutic use of MSC in pets and benefits is severe, but the results are positive. As with the documentation of MSC, it is necessary to develop and use specific studies

En caninos hay estudios sobre el uso de CTM de MFC y tejido de páncreas en el manejo de osteoartritis del codo y de la articulación coxofemoral (Black *et al.*, 2007, 2009). En el primer estudio se trató una hembra de diferentes razas con CTM de tejido adiposo en la articulación del codo. Un seguimiento de seis meses de la evolución de la incapacidad para desplazarse mostró una mejoría de $34 \pm 4.7\%$.

Aparte de las aplicaciones de la terapia con células mesenquimáticas y del uso en infecciones o complicações enfermedades semejantes a las del ser humano, se investiga si uso en caballos, cardiópatas (Vingelli *et al.*, 2000), cabras en medicina equina (Olby, 2001), enfermedades humanológicas, lesiones en piel y mucus (El-Matbakh *et al.*, 2000; Hall *et al.*, 2009) y enfermedad renal crónica (Quimby *et al.*, 2010). Las investigaciones sobre el uso terapéutico de las CTM en animales de compañía y equinos están poco desarrolladas por lo pronto. Al igual que en la caracterización de las CTM, se requiere desarrollar y usar modelos específicos para desarrollar las estrategias adecuadas en el uso de CTM en la medicina veterinaria.

Potenciación pectoral

Desarrollo y metabolismo de músculo y tejido adiposo

Hoy se conocen los mecanismos básicos de desarrollo de tejidos blandos en modelos murinos clásicos (Quigleyham *et al.*, 2003; Chang y Rudnicki, 2004; Rosen y MacDougald, 2006). Los estudios de desarrollo y diferenciación de células musculares y adiposas en especies peculiares se enfocan principalmente a sus precursores celulares inmaduros, las células madre y los preadipocitos (Haunman *et al.*, 2003; Daskal *et al.*, 2010), o bien al desarrollo y expresión genética de estos tejidos durante el período fetal (David *et al.*, 2011) y postnatal (Bopka-Melik *et al.*, 2011).

El estudio *in vitro* de la capacidad de diferenciación de CTM y desarrollo de capas epiteliales hacia células musculares y adiposas permitirá conocer los mecanismos y factores implicados en el desarrollo de estos tejidos, usando como modelo células multipotentes como las CTM que se encuentran en un estado indiferenciado y no comprometidas a un tipo celular definido como es el caso de las células madre y los preadipocitos.

to create appropriate strategies for their use in veterinary medicine.

Livestock production

Desarrollo y metabolismo óseo y de adiposa taurina

Today, the basic mechanism of development of these two tissues in animal and human models is known (Buckingham *et al.*, 2003; Chang and Rudnicki, 2004; Rosen and MacDougald, 2006). Studies on development and differentiation of muscle and adipose cells in livestock species are focused mainly on their immature cell precursors, satellite cells and preadipocytes (Guanham *et al.*, 2003; Daskal *et al.*, 2010) or on the development and gene expression of these tissues during the fetal (David *et al.*, 2011) and postnatal (Bopka-Melik *et al.*, 2011) periods.

In these studies of MSC from livestock species to establish their capacity of differentiation into muscle and adipose cells will add to knowledge of the mechanisms and factors implicated in the development of these tissues using multipotent cells such as MSC found in an undifferentiated state and not committed to a defined cell lineage, as is the case of satellite cells and preadipocytes.

Knowledge of the genes that control differentiation into muscle or adipose in MSC will support the development of techniques and compounds to manipulate differentiation so that tissue functionally develops on cargo or to stimulate differentiation of progenitor cells present in tissues. The use of MSC as a model of adipogenesis and myogenesis will permit evaluation of non-nutritional components (peptechanical) in animal diets and synthesis substances such as fumaric and thiodicarboxylic acids and gene expression of these tissues and, therefore, productive response.

Reproducción, nuclear transfer, recombinación, DNA technologies and transgenics

Nuclear transfer (removal of the nucleus from an egg cell and its replacement by a nucleus from a somatic cell) is a technique that requires a source of donor cells, an accurate source of eggs and recipient females to carry out gestation (Buckingham

El conocimiento de los mecanismos que conducen a la diferenciación muscular y adiposa en la CTM permitió desarrollar fármacos y compuestos para manipular la diferenciación de estos tejidos desde etapas tempranas del desarrollo, a estimular la diferenciación de señales valiosas que presentan en los tejidos. El uso de la CTM como modelo de adipogénesis y angiogénesis permitió la evaluación de compuestos en zonas de lesiones (fracturas) de los huesos de los animales y de otras zonas situadas, como los riñones y los espermátoductos (Nakao *et al.*, 2007; Sato *et al.*, 2009), que pueden modificar el metabolismo y expresión génica de estos tejidos y portarán la respuesta productiva.

Reproducción, transferencia nuclear, biología de ADN recombinante y transgénicos

La transferencia nuclear (remoción del núcleo de un óvulo y su sustitución por el núcleo de una célula somática) es una técnica que implica una fusión de células donantes con fusión de óvulos adecuada y niveles receptorios que llevan a cabo la geración (Tecimoglu *et al.*, 2006). En la actualidad se puede usar para preservar especies en peligro de extinción como el oso (Chi *et al.*, 2008) o el oso polar (Williams *et al.*, 2009). En las especies domésticas puede utilizar para obtener animales genéticamente superiores, resistentes o con poblaciones sanas (Jiang *et al.*, 2009) y masivas (Vanderwall *et al.*, 2006; Chi *et al.*, 2013).

Las técnicas de ADN recombinante y transgénico permiten introducir genes adicionales al genoma de un organismo, y resultan en la expresión de caracteres deseados como resistencia a enfermedades, síntesis de productos farmacéuticos o la sobreexpresión de genes que modifican positivamente la producción (mejor conversión alimentaria, rápido crecimiento, producción de proteínas específicas en la leche) (Almeida y Khosa, 2010).

La utilización de la CTM en las técnicas de transferencia nuclear aprovechando sus características de pluripotencia y su estado indiferenciado, permitiría obtener una gran cantidad de células donadoras de núcleo para transferencia; mientras que su uso en técnicas de ADN recombinante y transgénico permitiría emplear otras técnicas de transferencia nuclear para generar animales transgénicos. Por ejemplo, por los transgénicos que expresan proteína

et al., 2006]. Esta tecnología can be used to preserve endangered species such as the wolf (Chi *et al.*, 2008) or certain sheep (Williams *et al.*, 2006). In domestic species, it can be used to cross genetically superior animals or to rescue breeds with small populations (Jiang *et al.*, 2009) and pets (Vanderwall *et al.*, 2006; Chi *et al.*, 2013).

Recombinant DNA technology and transgenesis allow to introduce foreign genes into the genome of an organism, resulting in expression of desired traits such as resistance to disease, synthesis of pharmaceutical products or over-expression of genes that modify production positively (better feed conversion, fast growth, production of specific proteins in milk) (Almeida and Khosa, 2010).

The use of MSC in nuclear transfer techniques, taking advantage of their characteristic of pluripotency and their undifferentiated state, would allow to obtain large numbers of nucleus donor cells for transfer, while their use in DNA recombinant techniques and transgenesis would allow to employ it in techniques of nuclear transfer in order to generate transgenic animals. An example is transgenic broiler that express Canine Pancreatic Protein (cPPP) obtained from breeding parents that received, directly in the testicles, bone marrow MSC transfected with cPPP and differentiated into germinal cells capable of producing spermatozoa. Later, with semen obtained from these animals, animal hem were artificially inseminated. In this process, that cPPP chicken a total of 305 were obtained from four mothers with cPPP semen (Chi *et al.*, 2013). Even though reproductive efficiency of this type of animals is low, the means to produce them are now available. Improvement of the necessary techniques (using MSC as donor cells) in the near future will allow their use for the generation of animals with desirable characteristics.

In vitro meat production

In vitro meat production has been proposed as an alternative to reduce risk and costs of industrial meat production, spread of diseases, environmental pollution, human competition for food and production efficiency, as well as to improve animal well-being (Langston *et al.*, 2010). The development of this technology will allow the production of meat designed with a specific composition for the needs

verde fluorescente (Green Fluorescent Protein, GFP) a partir de la túnica de tejidos a los que se transplantaan directamente a los tejidos CTM de MO transfectadas con eGFP y que se diferencian en células germinativas capaces de producir espermatocitos. Después, con sucesivo cocimiento de estos animales se logró nombrar artificialmente a galinas normales de estas crías se obtuvieron los huevos GFP, de un total de 30%, a pesar de ciertas reacciones con somas eGFP (Hsu *et al.*, 2011). La eficiencia para producir este tipo de animales es baja, pero ya han nacido pocos generados. El perfeccionamiento de las técnicas necesarias (uso de CTM como células donadoras), permitiría en un futuro cercano su uso para generar animales con características deseables.

Producción de carne *in vivo*

La producción de carne *in vivo* se ha propuesto como una alternativa para reducir los riesgos y costos de la producción industrial de carne de vaca animal, disminución de enfermedades, contaminación ambiental, competencia por alimentos con el hombre y eficiencia de la producción (Langdon *et al.*, 2010). El desarrollo de esta tecnología permitiría la producción de carne diseñada con una composición específica para las necesidades y preferencias del consumidor (utilizando tecnología de ADN recombinante y clonación), limitando el número de animales, el tiempo de producción y el riesgo de enfermedades de origen alimentario; además, producir carne en ejemplos destinados a los aplicados por la producción industrial de animales (Bhar y Payne, 2011). Pero aún están en desarrollo los métodos y tecnologías necesarias para su implementación, como obtener células adecuadas para el cultivo continuo y la estandarización de las condiciones ambientales para el crecimiento y diferenciación de las células utilizadas (Mazza *et al.*, 2009; Langdon *et al.*, 2010).

El modelo ideal para esta tecnología basaría las células maduradoras (CTE), sin embargo, las únicas otras células en este tipo provienen de embriones y primates. En el caso de animales para producción de carne no hay otras alternativas disponibles (Langdon *et al.*, 2010). No obstante, Breslai *et al.* (2010) reportan la obtención de líneas de CTE de cerdos. Además, el uso de células maduradoras pluripotenciales embrionarias (Induced Pluripotent Stem Cells, iPS) es una alternativa para la generación de estos anima-

los y preferencias del consumidor (using recombinant DNA and transgenic technologies), reduce the number of animals production time and risk of disease from food, and this can be done in spaces smaller than those now used for intensive animal production (Bhar and Payne, 2011). But the methods and technologies required for implementation are still in process of development, such as to obtain cells suitable for continuous culture is needed, as well as standardization of environmental conditions for growth and differentiation of the cells used (Mironov *et al.*, 2009; Langdon *et al.*, 2010).

The ideal model for this technology is embryonic stem cells (ESCs); however the only available cell lines of this type are those from rhesus macaques. In the case of animals for meat production there are no well-established cell lines (Telugu *et al.*, 2010). Nevertheless, Breslai *et al.* (2010) report obtaining ESC lines from pigs. Furthermore, the use of induced pluripotent stem cells (iPSC) is another alternative, but the generation of these cells from somatic cells requires the transfer of the transcription factors Oct4, Sox2 and Nanog factors related to human Klf4 and c-Myc (Galabru *et al.*, 2006) to recover pluripotency. Transfering with these factors is done *ex vitro* and this is a complex and slow. Because of this, for studies in this new technology, stem cells from mesoderm are used; this is how the framework of a reduced number of cell duplications (Langdon *et al.*, 2010). In this case, the use of bone marrow MSC offers an interesting alternative in the continuing development of this technology since they have a greater capacity for duplication than stromal cells now used and a greater capacity for differentiation into several cell lineages.

CONCLUSIONES

Use and application of MSC is important in animal production and veterinary medicine due to their undifferentiated state, their high proliferative capacity and their capacity to differentiate into diverse cell lineage. In cell therapy, they can be used in the treatment of diseases of the locomotor system, kidney failure, myocardial infarction or lesions to the spinal cord. Moreover, they are a useful model for researching the mechanisms that control differentiation and metabolism of muscle and adipose tissue, as well as in the development and study of new drugs or

dece células somáticas requiere la multiplicación de los fibroblastos de rata espécie Ovari, Sec 2 y las fibroblástas relacionadas a número 318 y c-Myc (Takahashi, 2008) para recuperarla pluripotenciabilidad. La transferencia con estos factores se realiza una a la vez, por lo cual la técnica es riesgosa y lenta. Por ello, para los estudios de esta nueva tecnología se usan células adultas provenientes del tejido sanguíneo, *cuya desventaja es un número reducido de células* embrionarias (Langford, *et al.*, 2009). En este caso, el uso de CTM de MO ofrece una alternativa interesante para continuar el desarrollo de esta tecnología, porque posee una mayor capacidad de multiplicación que las células sanguíneas endoteliales, así como la capacidad de diferenciación para dar origen a diferentes tipos celulares.

CONCLUSIONES

El uso y aplicación de las CTM es importante en producción animal y medicina veterinaria debido a su efecto diferenciador, alta capacidad proliferativa y capacidad de diferenciación a diferentes tipos celulares. En la terapia celular se pueden usar en el tratamiento de lesiones de apéndice, diverticulitis, fistula rectal, infarto de miocardio y lesiones de la médula espinal. Asimismo son un medicamento para investigar los mecanismos que controlan la diferenciación y el homeostasis de los tejidos muscular y adiposo, así como en el desarrollo y estudio de enfermedades e sustancias naturales. En técnicas de reproducción y transgénica, permitir obtención de una muestra más gran cantidad de células para transferencia nuclear, clonación y generación de animales transgénicos.

En la producción de carne se hace el uso de las CTM de MO es una de las mejores opciones debido a sus características de proliferación y multipotencialidad en comparación con las células madre. Estas células están limitadas por su baja capacidad de proliferación, lo cual obliga a su aporte constante y en mayor frecuencia de nuevas células ademas para sustituir a las células que han dejado su proliferación.

AGRADECIMIENTOS

Este estudio fue financiado por el Proyecto PAPIIT DG200900 (UNAM, México) y es parte de la tesis doctoral

natural ovina. Techniques of reproduction and transgenesis will permit obtaining a large number of cells from a sample for nuclear transfer, cloning, and generation of transgenic animals.

For in vitro meat production, the use of bone marrow MSC is one of the best options due to their proliferative and multipotency characteristics as compared with satellite cells. These cells are limited by their low capacity of proliferation, making it necessary to have a constant and ample supply of new iPS cell to substitute cells that have ceased to proliferate.

—Fin of an English article—

—*—*—*

(UNAM) de los dos primeros autores, los cuales contienen apoyo de grantistas en su realización. Ambos agradecen a CONACYT a través omisión en la Facultad de Estudios Superiores-Cuauhtémoc, UNAM, México.

LITERATURA CITADA

- Aba-Román, M., A. Gómez, M. Rojas, G. Salazar, J. Alfonso, S. Zúñiga-Pérez, M. Lira, A. Jiménez, and C. Bergman. 2009. Cell/tissue specific cell therapeutic cell technology in rodent and Wistar rats. *Stem Cells Int.* 2009:2736-3348.
- Ahmed, S., and A. N. Khan. 2010. An introduction to DNA technology, objectives of a cycle, a history and some theories. *Annals Biotech Sci.* 20:301-306.
- Bell, Z. T., and T. Tsang. 2010. Properties of cultured stem cells advancing medical applications. *Expert Rev. Syst. Biol.* 48:129-140.
- Belli, L. L., J. Gaynor, D. Gauger, C. Adams, B. Aon, S. Bhowmik, D. Granger, and R. Brown. 2007. Effect of adipogenesis on myocardial stem cell regeneration in mice in late-life. *J. Am. Geriatr. Soc.* 55:220-224.
- Belli, L. L., J. Gaynor, C. Adams, S. Bhowmik, A. E. Sims, R. Togni, S. James, D. A. Granger, and R. Brown. 2008. Effect of myocardial injection of angiogenic progenitor cell mesenchymal stem cells on regenerating cardiac tissue after myocardial infarction. *Am. J. Physiol. Heart Circ. Physiol.* 294: H192-202.
- Bellfield, T. L., M. T. Ryan, Velas, D. F. Lawrence, and A. J. Cooper. 2010. Defining the most promising adult stem cell therapies for heart disease. *London.* 2007:31.
- Borrasco, G., and I. I. I. Vercellotti. 2007. The regenerative capabilities of the heart muscle during the aging process. *Curr. Opin. Mol. Cell. Biol.* 19: 405-423.
- Borodovsky, A. V., Mironov, G. V., S. V. Logvin, M. Okun'ko, and T. Pujol. 2009. Isolation and culturing

- Differentiation of bone in bone marrow mesenchymal stem cells. *Cell Tissue Res.* 309:269–278.
- Breton, T., A. L. G. Johnson, L. Almquist, A. Vunclu, R. Gospodarowicz, and P. Ghoshdastid. 2001. Cell cycle control and signaling networks protecting the oral fibroblast cell line from pathogenic agents and disease. *Acta Odontol Scand.* 59:485–495.
- Buckingham, M., L. Bapna, T. Chang, J. Dabholkar, J. Eshkhami, S. Mehta, J. Moore, C. D. Rosenblum, and T. Tsien. 2003. The formation of odontogenic tissues from sonicating rat molar teeth. *J. Am. Dent. Assoc.* 134:367–375.
- Craig, J. L., and M. A. Pashley. 2004. Cellular and molecular regulation of tissue regeneration. *Physiol. Rev.* 84:203–238.
- Craib, C., U. Matz, C. M. Shultz, F. X. Trifunovic, and P. Ghoshdastid. 2002. Chondrogenesis, osteogenesis and adipogenesis of mouse mastenchedymal stem cells: a biochemical, morphologic, and functional study. *Tissue Eng.* 12:507–519.
- Ciliberti, S., G. Cimolino, L. Logozzi, L. D'Uca, C. Gianni, and G. Tanaka. 2005. Establishment, differentiation, de-differentiation, self-renewal and clonal transfer of subcutaneous porcine mammary stromal cells. *Cloning Stem Cells* 7:161–171.
- Crespo, A., L. Laciggiaro, G. Rami, and E. Franchi. 2006. Extracellular and intracellular adhesion of odontogenic cells to bone marrow mesenchymal stem cells and bone marrow mesenchymal cells in compromised medium of ex vivo experimental dentinogenesis. *Vit. Min. Nutr.* 24:14001200920178.
- Devadoss, R., A. Singh, V. Rane, L. Venkatesan, and M. E. Pei. 2001. Expression profile of bone and dentin matrix genes in developing mandible discs in mice and young pigs. *J. Anim. Sci. Genet.* 12:81–87.
- Dodon, M., V. G. J. Heijnen, L. Gao, M. Du, T. Y. Ramazzini, S. S. Park, P. M. W. G. Bagger, M. E. Pennington, P. C. McHugh, P. P. Brooks, R. Scott, J. M. Reilly, S. L. Vintermyer, and Z. Jiang. 2004. Stabled stem cells from mouse 13.3rd rib chondrocytes. *J. Cell Sci.* 117:465–474.
- Domen, M., E. Le Blanc, I. Muller, T. Slaper-Camphuis, E. Moulou, D. Krause, S. Deau, A. Scatena, D. J. Padiasqu, U. Lohmann, M. A. Moine, et al. 2004. Mining multipotent mesenchymal stromal cells: The International society for cellular therapy position statement. *Stem Cells* 22:313–323.
- Dohleman, H., T. A. My, M. T. Aye, H. M. Aye, N. X. Rohida, L. A. Radha, and D. Sabry, B. 2003. The role of bone marrow-derived mesenchymal stem cells in dentin regeneration induced by stem cell factor in dogs. *J. Dent. Res.* 82:281–289.
- El-Khoury, M. P., P. Laskar, T. Naseem, and M. J. Dussekjærskov. 2007. Enhancement of dentinogenesis and repair: requirements of mesenchymal stem cells from odontoblast progenitors for bone regeneration and applications. *Adv. Dent. Res.* 22:33–65.
- Elmanzehbi, M. E., M. Jafarian, A. Shapard, P. M. Abde, M. M. Dvir, and M. A. Heslop. 2003. A six-hour iteration by microcentrifugation enhances osteoblast differentiation of self-limited osteoblasts and quiescent osteocytes. *Stem Cells* 21:410–411.
- Elmanzehbi, M. E., M. Nasarwanji, E. Elash, L. Tighiouat, and M. A. Heslop. 2009. Isolation and differentiation of mesenchymal stem cells from bone marrow. *Stem Cells Int.* 2009:1–10.
- Ghoshdastid, A., A. Vunclu, C. Ponciano, M. Bahrami, E. Azocedo, and P. Ghoshdastid. 2001. Long-term clonal expansion of oral fibroblasts. *Tissue Eng.* 7:110–112.
- Han, M. N., W. S. Rose, J. C. L. Jones, C. P. G. Clark, and C. M. Merkleinck. 2003. Evaluation of the potential of recombinant mesenchymal stromal cells in the treatment of non-healing dental caries. *Int. J. Trop. Dent.* 13:103–110.
- Hannigan, G. J., M. V. Dodson, K. Aghajani, M. Asadi, K. M. Barnes, L. L. Gao, Z. Jiang, S. P. Norris, R. D. Scott, S. Smith, M. Spindler, J. Swanson, M. E. Pennington, and W. G. Bagger. 2009. Bone matrix extract: biology and replacement of periodontal ligament fibers in maxillary sinus. *J. Am. Dent. Assoc.* 140:172–180.
- Han, Y. T., S. H. Lee, J. H. Yang, T. Kim, and H. T. Lee. 2004. Bone marrow cell-based production of tricalcium phosphate. *Lab. Invest.* 84:149 (Published online).
- Huang, S. D., B. L. Lu, X. Z. Xu, X. H. Liu, X. X. Zhou, B. Z. Yuan, J. Wang, D. J. Gong, Y. Y. Guo, and Z. Y. Yu. 2006. Differentiation of angiogenesis-promoting mesenchymal stem cells into fully angiogenic cardiac stroma for regeneration of chronic ischemia. *J. Thorac. Cardiovasc. Surg.* 132:1522–1527.
- Jung, C., S. Im, J. Cho, J. Park, H. Oh, C. Park, J. He, U. Kim, M. Kim, and S. Lee. 2005. Generation of the Japanese 10000 features a Korean natural movement integration of culture media. *J. Vet. Med.* 52:127–136.
- Jung, C., J. He, J. T. Kang, J. W. Kim, T.S. Choi, J. C. Lee, P. L. Woo, and J. S. Park. 2009. A comparative chondrogenic and adipogenic bone marrow-derived mesenchymal stem cell morphology based on epiplexed lineage. *J. Neural. Sci.* 285:67–77.
- Kang, Y., F. Inabaishi, T. Matsui, T. Tanai, N. Taniguchi, M. Fujii, M. Yamamoto, A. Uematsu, and Y. Fukada. 2006. Nuclear marker of adult bone marrow mesenchymal stem cells: developmental competency of bone-specific stem cell function at early stages. *Stem Cells* 24:415–428.
- Kwon, M., D. O. Kim, and J. M. Shim. 2009. Isolation and differentiation of odontogenic mesenchymal stem cells from bone marrow. *Semin. Cell Dev. Biol.* 18:33–39.
- Kwon, J. S., B. J. Cho, S. H. Kim, Y. A. Kim, S. J. Cho, T. T. Kim, Y. J. Soh, Y. H. Kim, J. C. Ryoo, C. B. Chung, and Y. M. Lee. 2009. Bone marrow stromal cell-derived growth factors on angiogenesis, migration, proliferation, and differentiation of odontoblast progenitor cells. *J. Periodontal. Res.* 45:1659–1670.
- Lengyel, M. L., J. K. J. M. Beumer, K. S. Park, P. P. T. Baeten, M. J. Nagy, and D. W. J. Werder-Heider. 2002. Mesenchymal stem cells express skeletal muscle markers. *Stem Cells* 20:159–166.
- Liang, Y., X. Heoza, S. Tihgaz, and M. Okamura. 2012. Long-term expansion of mesenchymal stem cells and their capacity to differentiate into bone-forming cells in injured chondrocytes: Differentiation of the stem cells. *Int. J. Bio-Rad.* 56:34–55.
- Li, H., S. Yin, L. Li, Y. Li, and S. Xiong. 2009. Application of stem cell encapsulated bone marrow mesenchymal stem

- cell for joint cartilage regeneration in dogs. *Crit Rev Oral Biol Med* 19(2):14-21.
- Li, X., X. Li, Y. Sun, G. Zhang, D. Li, W. Dong, Z. He, X. Yu, Q. Jiang, F. Liu, and F. Wu, et al. 2001. Upgrading goat skin apatite bone defect using scaffold cultured with mesenchymal stem cells. *J Biomat Mater Res Appl Biomater* 59(2):31-32.
- Martin, D. R., N. R. Cox, T. L. Hanchette, G. R. Meneguzzo, and M. J. Baker. 2002. In vitro chondrogenesis of adipose-derived mesenchymal stem cells from Holstein cattle. *Exp Hematol* 30(8):773-786.
- McCart, A. C., S. G. Shabot, A. C. P. Sauerwein, R. R. Davis, and C. L. Van. 2003. Characterization and transcriptional potential of somatic marrow derived mesenchymal stem cells. *J Cell Physiol* 255:594-605.
- Mingozzi, F., J. E. M. Koenigsmann, M. A. Ramirez, K. E. McDevitt, and E. P. Lledo. 2010. Immunomodulatory effects of a combination of bone marrow derived stem cells in dogs. *Exp Clin Cardiol* 15:17-26.
- Mishra, V., T. Toma, V. Kalyanasundaram, R. Toma, R. Karpuram, and B. Mukundan. 2009. Chondrocytes vs. MSCs: immune transforming paradigm. *Biochim Biophys Acta* 1792(12):2201-2211.
- Nakano, S., Y. Ieda, H. Matsushita, T. Tsuchiya, S. Yamada, T. Ishii, K. Endou, K. Hosokai, K. Kanayama, Y. Yamazaki, N. Sihara, and E. Naito. 2007. Endostatin regulates the expression and proteoglycan synthesis of fibronectin type III in canine articular cartilage and M13-H10 species. *Am J Pathol* **170**:2213-2222.
- Ob, H. J., M. E. Kim, G. Jung, H. J. Kim, S. G. Hong, J. E. Park, E. Park, S. H. Sohn, D. Y. Kim, K. S. Kim, and R. C. Lee. 2008. Chondrocyte progenitor grafting (ChonCap) from source cell: cellular porcine articular chondrocytes. *Theranostics* 2(1):63-67.
- Ob, H. J., E. Park, M. J. Kim, S. G. Hong, I. C. Ba, T. Y. Jo, S. E. Kang, G. Jung, and E. C. Lee. 2011. Technical development toward the use of chondrocyte progenitor cells. *Theranostics* 1(1):221-229.
- Ochi, N. 2011. The pathogenesis and treatment of canine osteoarthritis. *Vet Clin North Am Small Anim Pract* 32:791-803.
- Park, C., D. Seung, J. Heo, J. Kim, J. Jeon, E. Park, J. Imamura, J. Ushirokawa, M. Choi, B. Ame, M. David, S. Gill, and A. Neira. 2005. Comparison of presence and frequency of chondrocyte progenitor cells in articular chondrocytes and chondrocyte progenitor cells in equine articular chondrocytes. *Acta Vet Scand* 76:295-311.
- Quinton, J., T. L. With, D. S. Abbott, and N. R. Cox. 2011. Dynamics of functional mesenchymal stem cell migration in response to chitosan lattice matrix in canine glenoid cavity. *J Mater Sci Eng B* 17(1):1-10 (pub ahead of print).
- Quintana, J., S. Gold, Jia, J. Yu, E. Boccanfuso, G. Perez, V. Bhowmik, M. V. Singh, F. M. Kwon, E. O'Shea, and T. C. Phinney. 2002. Human adult stem/progenitor cell source(s) [osteoclast]: multipotential amniotic stem cells following implantation into articular cartilage defects. *Biochemistry* 23:131-139.
- Rhodes, N. S., and J. R. Srinivas. 2004. Minimistic and biologic analysis of tissue engineering concepts for articular cartilage-based scaffolds. *J Mater Sci Mater Med* 15:291-295.
- Ropponen, E., R. E. Baker, and E. Jokinen. 2001. The expression pattern of myogenic regulatory factors MyoD, Myf-5 and Islet in porcine skeletal muscles. *Gene Expr Patterns* 1(2):79-83.
- Rosen, J. D., and D. A. MacDougald. 2001. Adipocyte differentiation in the mouse testis. *Int J Androl* 24(6):553-561.
- Rosenthal, P., M. J. Park, A. Nekrasov, J. Seol, H. J. Sung, and S. S. L. Maron. 2010. Prospective location of myocardial necrosis from multiparametric late gadolinium-enhanced MRI using a novel "threshold" technique. *Stem Cells Dev* 19:401-412.
- Sato, K., T. Yamamoto, H. Shi, M. Tajimura, T. Kamata, and Y. Aida. 2009. Role of peroxisome proliferator-activated receptor- α -mediated adipogenesis. *Lipid Biochem Physiol Rev* 16(4):363-372.
- Seki, J., G. E. Gruber, W. A. Baumgartner, G. Seehaus, J. Meyers, M. Reinhard, M. E. Brueggen, and R. J. Martin. 2003. Mesenchymal stem cell implantation in a sheep model of canine intervertebral disc degeneration: surgical approach, cellular behavior, and functional effects. *Spine (Sear Best)* 28:1019-1036.
- Sessa, G., M. S. Dawson, A. A. Soysa, R. J. Martin, D. Vida, S. C. Coulter, T. Lin, J. Ober, W. K. Vaughan, R. V. Blanton, E. M. Orlina, R. Ho, Y. J. Geig, J. T. Wilkinson, and F. C. Lohr. 2005. Mesenchymal stem cell therapy can reverse endochondral pathology examined in disc degeneration and intervertebral disc disease in a sheep model. *Cartilage* 5(2):120-127.
- Shan, R. K., M. Banks, C. W. Eliason, and A. E. Goodship. 2008. Adhesion and implantation of mesenchymal stromal stem cells to bone marrow mesenchymal stromal cells for bone regeneration. *SCNT Soc Cell Res* 2:277-282.
- Sheridan, P. V., C. T. Radcliffe, and R. M. Roberts. 2010. The promise of stem cell research in pig and other ungulate species. *Proc Natl Acad Sci USA* 107:3840-3846.
- Smallwood, D. K., G. Woods, L. F. Ross, D. Schleifer, D. C. Edler, D. E. Town, and E. L. White. 2006. Equine cartilage application and structure. *Revol Inst Sci Biol* 10:361-367.
- Vidal, M., S. Kaur, J. Johnson, M. Lopez, E. Mason, and J. Gaudino. 2006. Cell-grown chondrocyte and chondrocyte progenitor of allogeneic equine bone marrow-derived mesenchymal stromal cells: allogeneic and xenogeneic cell responses. *Vet Surg* 35:40-50.
- Wiegert, A., J. Wenzel, C. J. de Groot, H. Cooper, M. Vandevert, S. Manhart, T. Le Bouc, O. Salas, J. Baum, E. Van Belle, E. Maesani, C. Desnoes, A. Pelt, and S. Jaks. 2010. An ovine amniotic membrane of a dense aggregated viable areal zone carries interdigitating stem cell clusters candidate for tissue engineering. *Tissue Eng Part B Appl Biomater* 16:413-422.

- Yehia, S., P. Gaudillière, C. Biard, C. Gerba, and P. Maury. 2005. Porcine bone marrow mesenchymal stem cells express embryonic cell markers and show the ability for hepatic differentiation by *in vitro* exposure to AMPA. *J.M.K. Cell Res.* 10: 21.
- Zhou, J. R., T. Liu, L. Li, G. Huang, H. Guo, J. Rong, et al. 2006. Coming of age: endoderm differentiation from higher stem. *Mol. Cell Biol.* 36: 6542.
- Zou, Y., J. Shabot, J. Q. Hu, L. Liu, and L. N. Zhou, M. Pham, C. D. O'Brien, J. Zhang, and C. Vittitudo. 2006. Mesenchymal progenitor cell differentiation into neurons. *Stem Cells* 24: 2325-2336.
- Zhu, H. B., D. Z. Guo, S. J. Yang, Y. H. Zhang, H. Wang, F. L. Guo, J. Zheng, and H. C. Jiang. 2005. Developmental course of the exogenous growth peptide on bovine bone marrow mesenchymal stem cells in culture. *Veterinary Medicine* 23: 584-593.

2. HIPÓTESIS

El uso de compuestos que favorezcan la actividad y expresión de PPARs incrementará la diferenciación adiposa y muscular de células mesenquimales de bovino.

3. OBJETIVOS

3.1 Objetivo General.

Evaluar el efecto de compuestos agonistas de PPAR, naturales o sintéticos, sobre el desarrollo, diferenciación y metabolismo energético de células mesenquimales obtenidas de médula ósea de bovino diferenciadas hacia los linajes muscular y adiposo.

3.2 Objetivos Específicos.

- 1) Establecer cultivos primarios de células troncales mesenquimales (multipotenciales) obtenidos de médula ósea de bovinos.
- 2) Estandarizar un sistema de cultivo-diferenciación de células multipotenciales hacia los linajes muscular y adiposo.
- 3) Conocer los cambios en la expresión de diferentes factores de transcripción asociados a la diferenciación muscular o adiposa.
- 4) Manipular diferentes factores de transcripción usando agonistas (naturales o sintéticos) que permitan una mejor diferenciación de ambos tipos celulares así como conocer sus efectos en el metabolismo energético.

4. MATERIAL, METODOS Y RESULTADOS.

Bovine (*Bos taurus*) bone marrow mesenchymal cells differentiation to adipogenic and myogenic lineages.

Jesús Jonathan Ramírez-Espinosa, Laura González-Dávalos, Armando Shimada, Enrique Piña, Alfredo Varela-Echavarría, y Ofelia Mora

Artículo aceptado para publicación en Cell Tissue Organs

Dic:
"alorenzi@karger.com" <alorenzi@karger.com>
Para: ultron2001@yaluw.yahoomail.com
CC: gjoww@cscovacs.virginia.edu; medac@cmrny.edu; ofcmora86@unam.mx
Envíaco: Lunes, 7 de septiembre, 2016 2:35:26
Asunto: C110-2417-1301 /

CELLS TISSUES ORGANS

Ms No.: 201503007

Title: Bovine (*Bos taurus*) bone marrow mesenchymal cells differentiation to adipogenic and myogenic lineages

Authors: Ramírez J., González-Dávila I., Shimada A., Piñia F., Varela-Echavarría A., Mora O.

Dear Dr. Mora,

Thank you for submitting a revised version of your manuscript

We are pleased to inform you that it has now been accepted for publication in our journal and forwarded to the Editing and Production Department at S. Karger AG Medical and Scientific Publishers who will be contacting you shortly. Please accept our congratulations. Fewer than 30% of all submitted papers to this journal are accepted for publication.

We hope you will continue to submit work from your group to CELLS TISSUE ORGANS in the future.

With kind regards

George Christ
Associate Editor

Angela Lorenz
Editorial Office 'Cells Tissues Organs'
1+41 61 306 1368
1+41 61 306 14 34
a.lorenz@herger.com

S. Karger AG, Medical and Scientific Publishers, Allschwilerstrasse 10, 4009 Basel, Switzerland
t +41 61 306 1111, f +41 61 306 1234, www.karger.com

Bovine (*Bos taurus*) bone marrow mesenchymal cells differentiation to adipogenic and myogenic lineages

J.J. Ramírez^a, L. González-Dávalos^b, A. Shimada^b, E. Piña^c, A. Varela-Echavarria^d and O. Mora^{b*}

^a Programa de Posgrado en Ciencias de la Producción y de la Salud Animal, Universidad Nacional Autónoma de México (UNAM), Mexico City, Mexico

^b Laboratorio de Rumiología y Metabolismo Nutricional (RuMeN), Facultad de Estudios Superiores-Cuautitlán (FES-Cuautitlán), UNAM, Querétaro, Qro., Mexico

^c Departamento de Bioquímica, Facultad de Medicina, UNAM, Mexico City, Mexico

^c Instituto de Neurobiología, UNAM, Querétaro, Qro., Mexico

Bovine BMD-MC differentiation to adipogenic and myogenic lineages

J.J. Ramírez

Address: Blvd. Juriquilla 3001, Lab. A03, 76230 Querétaro, Qro.

Phone: +52 4422381032

Fax: +52 4422381038

E-Mail: jesus.j.ramirezmvz@gmail.com

L. González-Dávalos

Address: Blvd. Juriquilla 3001, Lab. A03, 76230 Querétaro, Qro.

Phone: +52 4422381032

Fax: +52 4422381038

* Dr. Ofelia Mora
Laboratorio de Rumiología y Metabolismo Nutricional
Blvd. Juriquilla 3001, Querétaro 76230, México
E-Mail ofemora66@unam.mx

E-Mail: lauragdavalos@yahoo.com.mx

A. Shimada

Address: Blvd. Juriquilla 3001, Lab. A03, 76230 Querétaro, Qro.

Phone: +52 4422381032

Fax: +52 4422381038

E-Mail: shimada@unam.mx

E. Piña

Address: Facultad de Medicina, Circuito Interior, Ciudad Universitaria, Av. Universidad 3000, 04510, Mexico City.

Phone: +52 555622-0829

Fax: +52 555616-2282

E-Mail: epgarza@unam.mx

A. Varela

Address: Blvd. Juriquilla 3001, Lab. A03, 76230 Querétaro, Qro.

Phone: +52 4422381032

Fax: +52 4422381038

E-Mail: avarela@unam.mx

O. Mora

Address: Blvd. Juriquilla 3001, Lab. A03, 76230 Querétaro, Qro.

Phone: +52 4422381032

Fax: +52 4422381038

E-Mail: ofemora66@unam.mx

Key Words: Cell differentiation PPAR Energy metabolism Bovine

Abstract

Purpose: We evaluated the effect of PPAR agonists on differentiation and metabolic features of bovine bone marrow mesenchymal cells induced to adipogenic or myogenic lineages. **Methods:** Cells isolated from 7-day-old calves, were cultured in basal medium (BM). For adipogenic differentiation (AD) cells were cultured for one passage in BM and then transferred to a medium supplemented with either rosiglitazone, telmisartan, sirtinol, or conjugated c-9, t-11 linoleic acid; for myogenic differentiation (MD), third-passage cells were added with either bezafibrate, telmisartan, or sirtinol. Expression of *PPAR γ* (AD marker), *MyHC* (MD marker), and genes related to energy metabolism were measured by qPCR in a completely randomized design. **Results:** For AD, 20 μ M telmisartan showed the highest *PPAR γ* expression (15.58 ± 0.62 fold, $p < 0.0001$), and differences in expression of energy metabolism-related genes were found for hexokinase II, phosphofructokinase, adipose triglyceride lipase, acetyl-CoA carboxylase α (*ACAC α*), and fatty acid synthase ($p < 0.001$), but not for *ACAC β* ($p = 0.4275$). For MD, 200 μ M bezafibrate showed the highest *MyHC* expression (73.98 ± 11.79 fold), and differences in the expression of all energy metabolism-related genes were found ($p < 0.05$). **Conclusions:** Adipocyte and myocyte differentiation are enhanced with telmisartan and bezafibrate, respectively; energy uptake, storage, and mobilization are improved with both.

Abbreviations used in this paper

ACAC α	acetyl-CoA carboxylase α
ACAC β	acetyl-CoA carboxylase β
AD	adipogenic differentiation
ADM	adipogenic differentiation medium
ATGL	adipose triglyceride lipase
BM	basal medium
BMD-MC	bone marrow-derived mesenchymal cells
CLA c-9, t-11	conjugated c-9, t-11 linoleic acid
DMEM	Dulbecco's modified Eagle medium
DMSO	dimethyl sulfoxide
FABP4	fatty acid binding protein 4
FASN	fatty acid synthase
FBS	fetal bovine serum
HK2	hexokinase 2
HS	horse serum
IBMX	3-isobutyl-1-methylxanthine
IM	induction medium
MD	myogenic differentiation
MDM	myogenic differentiation medium
MSC	mesenchymal stem cells
MyHC	myosin heavy chain
NCoR	nuclear receptor corepressor
PD	population doublings
PFK	Phosphofructokinase
PPAR's	peroxisome proliferator-activated receptors

Introduction

Mesenchymal stem cells (MSC) are multipotent cells isolated from tissues such as bone marrow; they are capable of proliferation for long periods, and can differentiate *in vitro* into several lineages such as adipocytes, chondrocytes, osteocytes, myocytes, or hepatocytes [Zeng et al., 2006]. These properties make them a useful model to study the development and differentiation of adipose and muscular tissues.

The current approach to determine cell differentiation includes the assessment of transcription factors and functional proteins of each lineage, as well as the detection of minerals, proteoglycans, or lipids [Eslaminejad et al., 2007]. However, metabolic characteristics of these cells have not been fully elucidated, so studying PPARs as metabolic sensors may provide a better understanding of their energetic state after differentiation and their relationship to development, differentiation, and metabolic regulation. PPARs take part in the control of energy homeostasis by regulating glucose metabolism and fatty acid mobilization, oxidation (PPAR α and PPAR β/δ), and synthesis (PPAR γ) [Ehrenborg et al., 2010].

Our aim was to determine the effect of a set of molecules that could enhance the differentiation and modulate the metabolic features of bovine (*Bos taurus*) bone marrow mesenchymal cells induced toward adipogenic or myogenic lineages by determining the mRNA expression of late differentiation markers (*PPAR γ* and *MyHC*) and genes related to energy homeostasis.

Material and methods

All procedures involving animals were approved by the Internal Committee for Use and Care of Experimental Animals (CICUAE-UNAM from its abbreviations in Spanish). Four male Holstein calves, less than 7 days old were used per experiment. Animals were euthanized by stunning with a captive bolt gun followed by exsanguination.

Two experiments were carried out: the first to measure proliferation capacity, assess mesenchymal stem cell markers, and induce differentiation into adipogenic and myogenic lineages. The second assessed the ability of various compounds to enhance adipogenic and myogenic differentiation of bovine bone marrow-derived mesenchymal cells (BMD-MC) and measured changes in the expression of genes related to energy metabolism. Procedures for cell isolation, culture, passaging, and RNA extraction were similar in both experiments and are described first.

Cell isolation, culture, and passaging

Cell isolation was carried out with some modifications to the method used by Mahajan and Stahl [2009]. Bone marrow was harvested from humeri and femurs and taken to a bio-hazard hood where samples were dispersed by passage through 16-, 18- and 20-gauge needles with isolation medium [Dulbecco's modified Eagle's medium with glucose (DMEM) (Sigma-Aldrich, St. Louis, MO, USA), 100 U/ml penicillin-G, 100 µg/ml streptomycin, and 0.25 µg/ml amphotericin (Life Technologies, Grand Island, NY, USA)]. Dispersed bone marrow was washed by centrifugation at 450 x g for 5 min at room temperature, the supernatant was discarded, and the pellet formed was re-suspended in

isolation medium; this final step was repeated three times. After the last wash, the pellet was re-suspended in basal medium (BM) [DMEM with 10% fetal bovine serum (FBS), antibiotics, and antimycotics as above] and plated on 10- or 3.5-cm diameter culture dishes (Corning Inc., Corning, NY, USA). Cultures were maintained at 37°C with 90% humidity and 5% CO₂. Non-adherent and hematopoietic cells were removed 24 h after plating by washing the culture dishes with PBS and completely changing the culture medium; media were changed every 3 d until confluence. At 70-80% confluence, cultures for cell expansion were passaged using 0.25% trypsin (Life Technologies), counted with a hemocytometer, and reseeded at 6.4 x 10³ cells/cm² for plates of 10-cm diameter, and at 8.4 x 10³ cells/cm² for plates of 3.5-cm diameter. Cultures from the initial isolation, and from passages 3, 5, 10 and 14, used for adipogenic and myogenic differentiation were treated with specific differentiation media when they reached 70-80% confluence.

RNA isolation

Total RNA was extracted using Trizol reagent (Life Technologies, Carlsbad, CA, USA). The RNA concentration was assessed by absorbance at 260 nm and its purity by the 260 nm to 280 nm absorbance ratios with a Nanodrop 1000 spectrophotometer (Thermo Fisher Scientific Inc., Wilmington, DE, USA). The integrity of RNA samples was verified by agarose (1%) gel electrophoresis.

cDNA synthesis

Reverse transcription to cDNA was carried out using 2 µg of RNA and oligo dT₁₅ primer with Superscript II Reverse Transcriptase (Life Technologies). To avoid genomic DNA

contamination, RNA samples were pre-treated with DNase I (Roche, Indianapolis, IN, USA) for 5 min at room temperature followed by incubation at 70° C for 5 min to inactivate DNase I.

Real time-PCR

Quantitative real time PCR (qPCR) was performed to analyze adipogenic and myogenic potential and energy metabolism of differentiated BMD-MC.

Specific primers for target genes were designed for a) adipogenic differentiation: *PPARγ*; b) myogenic differentiation: myosin heavy chain (*MyHC*); c) energy metabolism of differentiated adipose cells: hexokinase 2 (*HK2*), phosphofructokinase (*PFK*), adipose triglyceride lipase/desnutrin (*ATGL*), fatty acid synthase (*FASN*), acetyl-CoA carboxylase α (*ACAC α*) and *ACAC β* ; d) and energy metabolism of differentiated myocytes: *HK2*, *PFK*, *ACAC β* , fatty acid binding protein 4 (*FABP4*), and *PPARδ* (Table 1). PCR products were sequenced to verify primer-specific identity, and the presence of a single product of the predicted size was observed in a 1.5% agarose gel electrophoresis. The efficiency of each pair of primers was determined by standard curves generated from serial dilutions of pooled cDNA [Livak and Schmittgen, 2001].

Several housekeeping genes (Table 2) were tested for their suitability to estimate relative gene expression of target genes and analyzed using Excel's Add-ins Bestkeeper (<http://www.gene-quantification.de/bestkeeper.html> [Pfaffl et al., 2004]), Normfinder (MDL, Aarhus, Denmark [Andersen et al., 2004]), and GeNorm (Biogazelle, NV, Ghent, Belgium [Vandesompele et al., 2002]). The housekeeping genes selected were *RPL13a* and *YWHAZ* for adipogenic differentiation, and *YWHAZ* and *18S* for myogenic differentiation.

Samples were run in duplicate using a Light-Cycler 2.0 Instrument and Light-cycler Fast-Start DNA Master Sybr Green I (Roche Applied Science, Mannheim, Germany). Data were normalized to the geometric mean of the housekeeping genes, and changes in gene expression were calculated by the $2^{-\Delta\Delta C_t}$ method [Schmittgen and Livak, 2008]. Relative mRNA levels are expressed as fold change relative to control samples that produce an $2^{-\Delta\Delta C_t}$ value of 1.

Experiment 1

Proliferation capacity. The self-renewal capacity of the isolated cells was assessed by calculating the population doublings (PD). Cells isolated from bone marrow were seeded in triplicate on 3.5-cm diameter culture dishes in BM; at 70-80% confluence, cells were passaged, counted, and reseeded as passage 1 at 8.4×10^3 cell/cm². Cells from passages 1 to 15 were maintained with a fixed sub-culturing time of 5 days, counted, and reseeded (8.4×10^3 cell/cm² at each passage). Data from cell counts were used to estimate population doublings and to construct a cumulative PD plot using the formula:

$$PD = \frac{\ln(N_f/N_s)}{\ln 2},$$

where PD is the number of population doublings, ln is the natural logarithm, N_f is the number of cells harvested at subculture, and N_s is the number of cells initially seeded [Freshney, 2005].

To plot a proliferation curve with the cumulative total cell number along passages, the formula used was [Xiao et al., 2010]:

$$\text{Total cell number of } P_n = \text{number counted at } P_n \times \left(\frac{\text{number counted at } P_{n-1}}{\text{total number of cells seeded}} \right)$$

Expression of MSC markers. Cultures used as initial controls were analyzed for the expression of lineage markers. When isolated cells reached 70-80% confluence, total RNA was extracted, and cDNA was synthesized. Expression of lineage markers was assessed by conventional PCR with specific primers for MSC surface markers CD29, CD44, CD73, CD90 and CD105, the hematopoietic cell surface markers CD34 and CD45, as well as stem cell marker ABCG2 (Table 3).

Adipogenic differentiation. Cell cultures from isolation and passages 3, 5, 10, and 14, were used to assess adipogenic capacity; cultures were seeded at 8.4×10^3 cells/cm² and kept in BM. At 70-80% confluence, BM was replaced with adipogenic differentiation medium (ADM); total RNA from cultures used as initial control was extracted at this time point, and cultures designated as final control were maintained with BM until the end of the treatment.

For AD, cells were treated with induction medium (IM) [DMEM supplemented with 0.5 mM 3-isobutyl-1-methylxanthine (IBMX) (Life Technologies), 0.25 µM dexamethasone, 2.5 µg/ml insulin (both from Sigma-Aldrich), 100 U/ml penicillin G, 100 µg/ml streptomycin and 0.25 µg/ml amphotericin]. After 24 h, IM was replaced with differentiation medium (ADM) composed of DMEM supplemented with 5% FBS, 2.5 µg/ml insulin, antibiotics and antimycotic. Cultures were treated for 28 d with complete media changes every 3 d; at the end of the treatment total RNA was extracted from cultures treated with ADM and from cultures maintained with BM, and cDNA was synthesized for further qPCR analysis of the differentiation marker *PPARγ* (Table 1) at various passages. *PPARγ* mRNA expression was assessed with the $2^{-\Delta\Delta C_t}$ method, and cultures kept in BM were used as controls for data normalization.

Myogenic differentiation. Three different media were tested in confluent cultures:

- a) DMEM supplemented with 5% horse serum (HS) (Life Technologies), 0.1 μ M dexamethasone, 50 μ M hydrocortisone (Janssen Cilag, Mexico City, Mexico), antibiotics, and antimycotic [Gang et al., 2004];
- b) DMEM supplemented with 10% FBS, 10 μ M 5-azacytidine, antibiotics, and antimycotic [Drost et al., 2009] for 24 h, and the same medium without 5-azacytidine for the rest of the treatment period.
- c) DMEM supplemented with 2% FBS, 10 μ M 5-azacytidine, antibiotics, and antimycotic for 24 h, and the same medium without 5-azacytidine for the rest of the treatment period.

To assess differentiation, PCR was performed with oligonucleotides for myogenic factors and markers [*Pax3*, *Pax7*, *Myogenin*, *MEF2C*, *MRF4*, *MyoD1*, *Myostatin*, *Myf 5*, Myosin Heavy Chain (*MyHC*), and *Desmin*] (Table 4). Total RNA was extracted from cultures from days 1 to 8 and from weeks 2 to 4. cDNA was synthesized, and PCR was performed for myogenic factors *Pax7*, *Myogenin*, and *MRF4* for each of the three media at each time point. After selecting a specific medium, PCR was performed for *Pax3*, *MEF2C*, *MRF4*, *MyoD1*, *Myostatin*, *Myf5*, *MyHC*, and *desmin*.

Myogenic differentiation was induced using cell cultures from freshly isolated cells and passages 3, 5, 10, and 14. At 70-80% confluence, cell cultures were maintained in myogenic differentiation media for 28 d with complete media changes every 3 d. At the end of the treatment, total RNA was extracted from cultures with myogenic medium and from control cultures maintained with BM; cDNA was synthesized for qPCR analysis of *MyHC*. To estimate the *MyHC* mRNA expression level with the $X^{-\Delta\Delta Ct}$ method, cultures kept in BM until the end of the 28-d treatment period were used as controls for data normalization.

Experiment 2

After establishing the optimal time point (passage) for BMD-MC differentiation into adipocytes or myocytes (Exp. 1), we next tested compounds that could enhance differentiation into these lineages. Cells were isolated, maintained, and passaged as described; freshly isolated cell cultures were used for adipogenic differentiation, and cells from the third passage were used for myogenic differentiation. Triplicate cultures were treated with a specific compound and dose when cells reached 70-80% confluence; unless otherwise stated, treatment continued for 28 d, until the end of the experimental period.

Adipogenic differentiation. Compounds and doses tested in cultures for adipogenic differentiation were: rosiglitazone (Enzo Life Sciences, Plymouth Meeting, PA, USA) 1, 10, 20 μ M; telmisartan (Sigma-Aldrich) 1, 10, 20 μ M; conjugated c-9, t-11 linoleic acid (CLA c-9, t-11) (Sigma-Aldrich) 10, 50, 100 μ M; and sirtinol (Sigma-Aldrich) 10, 25, 50 μ M. Cell cultures were treated for 10 d with complete media changes every 3 d, except for sirtinol, which was applied only during the first 24 h of the differentiation treatment. Control cultures treated with BM, differentiation medium, and differentiation medium plus vehicle [0.1% ethanol or 0.5% dimethyl sulfoxide (DMSO)] were included.

Myogenic differentiation. Compounds and dosages tested in cultures for myogenic differentiation were: bezafibrate (Sigma-Aldrich) 50, 100, 200 μ M; telmisartan 1, 10, 20 μ M; and sirtinol 10, 25, 50 μ M (only during the first 24 h). Cell cultures were treated for 28 d with complete media changes every 3 d. Control cultures for myogenic differentiation included: BM, differentiation medium, and differentiation medium plus vehicle (0.5% DMSO).

At the end of the treatment period (10 or 28 d) total RNA was extracted, cDNA synthesized, and qPCR analysis for adipogenic (*PPAR γ*) and myogenic differentiation (*MyHC*) were performed. Changes in mRNA expression of genes related to energy metabolism were analyzed for the treatments that resulted in the greatest increase of adipogenic or myogenic differentiation. To estimate mRNA expression level with the $\Delta\Delta C_t$ method, for adipogenic (*PPAR γ*) or myogenic differentiation (*MyHC*) as well as for energy metabolism-related genes, cultures treated with differentiation media plus vehicle were used as control samples for data normalization.

Statistical Analysis

The proliferation capacity of BMD-MC was assessed by regression analysis using data obtained from population doublings and the total number of cells. The general linear model procedure (GLM) from SAS [2008] was used for data analysis. Least square means \pm SEM were computed and used to analyze differences between treatments. Differentiation potentials toward adipogenic and myogenic lineages in Exp. 1 data were analyzed as a completely randomized design with a 5 x 3 factorial arrangement (passage and treatment media). For Exp. 2, data were analyzed as a completely randomized design with 17 treatments for adipogenic differentiation and 13 treatments for myogenic differentiation.

Results

Experiment 1

Proliferation capacity. At the end of the experimental period, isolated cells had undergone an estimated 16.44 PD ($y = 0.79 + 1.25 x - 0.014 x^2$) and reached a total number of 7.45×10^6 cells ($y = 514,007 + 863,004 x - 26700 x^2$) (Fig. 1). First derivatives were calculated for both regression equations to determine the theoretical value at which PD and cell number stop increasing. Calculated values were: 28.69 PD at passage 45 (44.64) and 7.48×10^6 total cells at passage 16 (16.16).

Expression of MSC Markers. Conventional PCR for MSC markers showed that bovine BMD-MC express MSC markers *CD 29*, *CD44*, *CD73*, *CD90* and *CD105*; stem cell marker *ABCG2*; but do not express or show a very low expression of the hematopoietic stem cell markers *CD 34* and *CD45* (Fig. 2).

Adipogenic differentiation. Expression of *PPAR γ* in cell cultures of BMD-MC treated with ADM was confirmed with conventional PCR, and the product was characterized by agarose gel electrophoresis, sequenced, and compared with sequences reported in the NCBI database GenBank; matching sequences were: BC116098.1, NM181024.2, Y12419.1, and AY179866.1.

qPCR for *PPAR γ* showed that freshly isolated cultures treated with differentiation media had the highest *PPAR γ* expression (10.69 ± 1.1 fold, $p \leq 0.0233$) of all passages and treatments (Fig. 3a). Among passages freshly isolated cell cultures also showed the highest expression of *PPAR γ* (5.72 ± 0.98 fold), which was different from passages 3, 10, and 14 ($p \leq 0.021$) but not from expression levels observed in passage 5 (3.38 ± 1.01 fold, $p =$

0.0991). Overall, cell cultures from all passages treated with differentiation media showed a greater average expression level of *PPAR γ* (3.70 ± 0.49 fold) that was different ($p = 0.007$) from initial control cultures (1.00 ± 0.86 fold), but not from non-differentiated control cultures kept in BM (2.69 ± 0.87 fold).

Myogenic differentiation. Cells treated to promote myogenic differentiation did not express *Pax 7* in any of the three media used. Nevertheless, cell cultures treated with DMEM, 5% HS, dexamethasone, and hydrocortisone expressed *MRF4* after 1 day of treatment, and expression was maintained throughout the treatment period; however, cells cultured in the other 2 differentiation media showed no expression of this myogenic factor at any time (Fig. 4a). Cultures that expressed *MRF4* also showed expression of mRNA for *MEF2C*, *Myf5*, *MyHC* (Fig. 4b) *Pax3*, *Myogenin*, *Myostatin* and *desmin*, but not *Myod1*(data not showed).

qPCR for *MyHC* in cultures treated with DMEM, 5% HS, dexamethasone, and hydrocortisone was performed to determine which passage displayed increased differentiation to myocytes. As shown in Fig. 3b, the highest expression of *MyHC* (201.85 ± 25.95 fold) was different from all other passages and treatments ($p \leq 0.0254$), and it occurred in cultures from passage 3 treated with myogenic differentiation medium. Cell cultures treated with myogenic medium also showed higher expression (88.80 ± 11.91 fold, $p \leq 0.0201$) than cell cultures used as initial controls (1.07 ± 20.10 fold) and non-differentiated control cultures kept in BM (34.07 ± 20.39 fold).

Experiment 2

Effect of PPAR agonists on adipogenic differentiation.

During exposure to experimental compounds, cultures isolated from bovine BMD-MC showed a heterogeneous performance among treatments and dosages; although the formation of vacuoles of several sizes was observed in all experimental treatments, in cultures with rosiglitazone (1, 10 and 20 µM), telmisartan (10 and 20 µM), and CLA c-9, t-11 (50 and 100 µM), cells developed a rounded morphology and larger vacuoles than cells from all other treatments, suggesting a complete adipocyte differentiation and formation of lipid droplets.

The relative expression of *PPAR γ* determined by qPCR confirmed that this adipogenic marker was differentially expressed in cultures subjected to the various treatments and dosages used. High expression of *PPAR γ* was observed in cultures treated with telmisartan, rosiglitazone, or CLA c-9, t-11 (Fig. 5a). Cultures treated with 20 µM telmisartan showed the highest expression of all treatments (15.58 ± 0.62 fold; $p < 0.0001$). Cultures treated with rosiglitazone at 20 µM, telmisartan at 10 µM, and CLA c-9, t-11 at 100 µM had similar levels of expression (6.94 ± 0.62 , 7.83 ± 0.62 and 7.62 ± 0.62 , respectively, $p \geq 0.3156$), but they were different from all other treatments ($p \leq 0.0140$). Rosiglitazone at 1 and 10 µM resulted in *PPAR γ* expression lower than the aforementioned but greater than the expression level found in controls (4.65 ± 0.62 and 4.42 ± 0.62 respectively, $p \leq 0.0102$). Sirtinol had no effect on expression of *PPAR γ* mRNA at any dose tested (Fig. 5a).

As 20 µM telmisartan evoked the highest expression of *PPAR γ* , mRNA expression levels for genes related to energy metabolism were assessed in cultures with 20 µM telmisartan and compared to levels found in cultures treated with ADM only. Differences in expression

levels were found for *HK2* (1.72 ± 0.09 fold, $p < 0.0001$); *PFK* (1.43 ± 0.09 fold, $p < 0.0027$); *ATGL* (29.87 ± 3.45 fold, $p < 0.0001$); *ACAC α* (5.44 ± 0.48 fold, $p < 0.0001$), and *FASN* (5.51 ± 0.31 fold, $p < 0.0001$), but not for *ACAC β* ($p = 0.4275$) (Fig. 5b). These results showed that in cultures grown in $20 \mu\text{M}$ telmisartan, genes related to glycolysis (*HK2* and *PFK*), fatty acid mobilization (*ATGL*), and fatty acid synthesis (*ACAC α* and *FASN*) were up-regulated, while lipolysis (*ACAC β*) was unaffected, suggesting that adipocytes differentiated from cattle BMD-MC have a more efficient glucose metabolism which, besides supplying the cell's energy needs, could provide substrates for an increased rate of fatty acid synthesis and mobilization.

Effect of PPAR agonists on myogenic differentiation.

Morphological changes suggesting myocyte formation were not clearly observed in cells under any of the treatments for myogenic differentiation; however, the formation of circular-shaped cell colonies surrounded by very elongated cells (resembling myocytes) spreading from these colonies, or the formation of vacuoles could be detected. qPCR showed that the relative expression of *MyHC* was different among the treatments and doses used. Cultures treated with $200 \mu\text{M}$ bezafibrate showed the highest *MyHC* expression (73.98 ± 11.79 fold), but it was similar to expression levels found with telmisartan at $10 \mu\text{M}$ (52.58 ± 11.79 fold) and $20 \mu\text{M}$ (48.22 ± 11.79 fold) ($p = 0.2008$ and $p = 0.1238$, respectively) (Fig. 6a). *MyHC* expression levels with bezafibrate at $50 \mu\text{M}$ (42.36 ± 11.79 fold) or $100 \mu\text{M}$ (36.71 ± 11.79 fold) and telmisartan at $10 \mu\text{M}$ (52.58 ± 11.79 fold) or $20 \mu\text{M}$ (48.23 ± 11.79 fold) were similar ($p \geq 0.0919$). Although *MyHC* expression increased slightly in cultures treated with sirtinol, these changes were not different from *MyHC* expression levels found in control cultures (Fig. 6a).

Metabolism-related gene expression was evaluated by qPCR in samples treated with myogenic differentiation media and samples treated with bezafibrate at 200 µM, which showed the highest expression of *MyHC*. All genes tested (*HK2*, *PFK*, *ACACβ*, *PPARδ* and *FABP*) were up-regulated (5.26 ± 0.86 fold, 1.77 ± 0.25 fold, 9.97 ± 1.23 fold, 1.88 ± 0.23 fold and 185.63 ± 23.93 fold, respectively) in cultures treated with 200 µM bezafibrate relative to control samples (Fig. 6b).

Discussion

Some authors have shown that BMD-MC are highly proliferative and can reach 30 to 50 PD before they become senescent [Colleoni et al., 2005]. Our PD value of 28.7 is close to previously published data. In general, the PD and cumulative cell number values indicate that BMD-MC isolated from cattle possess a proliferation capacity similar to those observed in other species such as humans [Bonab et al., 2006], swine [Zeng et al., 2006], or horses [Vidal et al 2006]. Nonetheless, several factors influence the proliferative potential of these cells (individual variability, age of donor, media composition, or cell density); such factors were not studied in the present work, because our experimental conditions already provided bovine BMD-MC with a good proliferative capacity for the long-term culture and because of the large number of cells required.

Also the isolated cells showed expression of the several MSC surface markers tested and lack or have a very low expression of hematopoietic markers *CD34* and *CD45*. This is in accordance with previous results reported by Cardoso et al. [2012] and Cortes et al. [2013]

whom reported expression of *CD29*, *CD73*, *CD90* and *CD105* on MSC derived from bovine umbilical cord and the expression of *CD73*, *CD90* and *CD105* on MSC derived from bovine bone marrow respectively. Here, we also reported the expression of *CD44*, a surface marker found in MSC from several species as mouse [Gnecchi and Melo, 2009], human [Karaöz et al., 2011], swine [Zeng et al., 2006] and sheep [McCarty et al., 2009].

Along with their proliferative capacity, bovine BMD-MC had the potential to differentiate into several cell lineages; our results showed that they are able to differentiate into adipocytes and myocytes. In both cases, cell differentiation capacity was highest in early passages, and this ability decreased with further passaging. This is consistent with previous reports with human and mouse bone marrow. Kretlow et al. [2008] and Bonab et al. [2006] reported that proliferation, adhesion, and differentiation capacity of MSC are impaired by both increasing donor age and passage number.

Our results indicate that BMD-MC can differentiate into adipocytes, as shown by *PPAR γ* expression. Adipogenic differentiation was previously reported for bovine BMD-MC [Bosnakovski et al., 2005], swine [Colleoni et al., 2005], equine [Vidal et al 2006], ovine [Eslaminejad et al., 2007], and poultry [Khatri et al., 2009]. However, the optimal time (passage) to induce adipogenic differentiation of bovine BMD-MC had not been identified. Our results show that these cells have the highest potential for adipogenic differentiation at early passages, as previously reported for mice and humans.

Myogenic differentiation had been previously reported for cells isolated from bone marrow [Colleoni et al., 2005] and umbilical cord blood [Gang et al., 2004]. Our results show that a medium supplemented with HS, hydrocortisone, and dexamethasone can induce bovine BMD-MC to differentiate into myocytes, as demonstrated by their

expression of mRNA for *MyHC*, a terminal differentiation marker of muscle cells. Moreover, here we report that bovine MSC induced toward myogenic differentiation express myogenic factors: *Pax3*, *Myogenin*, *MRF4*, *Myf5*, *MEF2C*, and *myostatin* as well as the late differentiation markers *MyHC* and *desmin*, but they do not express mRNA for *Pax7* or *MyoD*.

MyoD is a transcription factor considered necessary to start the differentiation program of muscle cells at the “commitment” level, and it also can induce muscle differentiation in cells from other lineages such as fibroblasts or chondrocytes, while myogenin is considered necessary for the final differentiation of committed cells. On the other hand, MRF4 function has been more related to proliferation and late differentiation than to the determination of myogenic lineage, and Myf5 is related to commitment; it is known that these myogenic factors and myogenin can also induce muscle differentiation to a certain extent, and they can partially replace each other’s functions. In this context, Kassar-Duchossoy et al. [2004] showed in a murine double-null model for *MyoD* and *Myf5* that expression of *MRF4* is able to induce proliferation and differentiation of myoblasts. Schnapp et al. [2009] were able to partially rescue myogenesis by injecting *MRF4* mRNA in zebra-fish embryos in which MyoD and Myf5 translation were blocked, but not by injecting *myogenin* mRNA. Also, Xynos et al. [2010] found that hematopoietic stem cells can express *Myf5* and differentiate into myocytes without expressing *Pax7* and *MyoD*. Collectively, these data and our findings suggest that bovine BMD MC have, or could have, a different expression pattern in which *Myogenin*, *Myf5* and *MRF4* are sufficient to induce commitment and determination of these cells toward myogenic differentiation, whereas the presence of *MyoD* is not mandatory as previously reported in other species.

Differentiation improvement.

Effect on adipogenesis. After we identified basic conditions for AD and MD, we sought to speed up these differentiation processes. Given the interrelationship between PPARs, cell differentiation, and metabolic regulation, we tested a series of compounds for their ability to enhance adipogenic or myogenic differentiation by increasing the expression, activity, or both of PPARs. The selected compounds belong to different pharmacological families such as class III histone deacetylases inhibitors, thiazolidinediones, angiotensin II receptor antagonists; as well as natural ligands such as conjugated linoleic acid. Our aim on using such compounds on the differentiation of BMD MSC was to identify the more effective compounds under this *in vitro* conditions in order to select them for further investigation regarding the relevance and feasibility of its use on cattle to modulate the adipogenic and myogenic differentiation processes and hence the quality of the products obtained from those animals.

Sirt1 has been related to regulation of energy metabolism, since its up-regulation inhibits PPAR γ activity and expression [Picard et al., 2004]. Here, we hypothesized that this sirtuin inhibitor would enhance adipogenic and myogenic differentiation of bovine BMD MSC, but our results indicate that sirtinol had no effect on adipose or myogenic differentiation of the bovine BMD-MC. It is known that when PPAR γ is not binding with their ligands interacts with nuclear corepressors 1 or 2 (NCoR) and the complex formed avoid PPAR γ interaction with its target genes. On this sense, as reported by Picard et al (2004), SIRT1 also binds with to NCoR and thus directly or indirectly inhibits PPAR γ activity.

Moreover, it has been reported that the inhibition of SIRT1 activity by sirtinol or iRNA enhance expression and activity of adipogenic enzymes like ACC [Jiang et al., 2012]. Despite these previous reports, we didn't find a positive effect on the use of sirtinol during differentiation of our cells; this lack of response might be due in part to our differentiation protocol which is longer than other culture systems on which sirtinol had been used. Also, we added sirtinol only at the beginning of the differentiation protocol and assessed its effect at the end of this protocol, while on several other works this assessment occurs between 2 and 72 hours after the sirtinol treatment [Jiang et al., 2012; Toussirot et al., 2013].

CLA is a group of several fatty acids that can act as natural PPAR ligands; CLA c-9, t-11, and CLA c-10, t-12 are the isomers most commonly found in dairy and meat products, and they have been implicated in lipid metabolism regulation. In several models, CLA c-10, t-12 was found to inhibit expression of *PPAR γ* as well as proteins related to fatty acid anabolism and storage (carbonic anhydrase 3, CD36, GLUT4, GPDH) and adipogenesis (C/EBP α), while CLA c-9, t-11 enhanced adipocyte differentiation and lipogenesis by increasing expression of proteins such as *PPAR γ* , FASN, stearoyl CoA desaturase, GPDH, and FABP4 [Platt and El-Sohemy, 2009]. Our results show that adipose differentiation increases in culture medium supplemented with the CLA c-9, t-11 isomer, and that this increase is dose dependent (Fig. 5a). This is in accordance with previously reported data in rats [Zhou et al., 2007], humans [Platt and El-Sohemy, 2009], and swine [Zhou et al., 2008], where expression of *PPAR γ* and related genes increased.

We used rosiglitazone as a PPAR γ -specific ligand to test its adipogenic effect on bovine BMD-MC. Our results indicate that the compound enhanced adipose differentiation of cell cultures, as reported for murine [Shockley et al., 2009] and human [Ninomiya et al., 2010]

models. Interestingly, both CLA c-9, t-11 and rosiglitazone induced adipose differentiation to a similar extent at the highest dose tested, but rosiglitazone had a greater binding affinity for PPAR γ , as shown by the doses used here.

Telmisartan showed PPAR activation properties in several human clinical and experimental trials [He et al., 2010]. The compound has recently been recognized as a partial agonist of this nuclear receptor family, and its binding mechanism to PPAR γ has been elucidated [Amano et al., 2012]. We tested its ability to enhance adipogenic differentiation (through PPAR γ). Our results showed that telmisartan induces adipose differentiation of bovine BMD-MC to a greater extent than that found for rosiglitazone. Also, the level of PPAR γ expression increases in a dose-dependent manner. In this sense, the activation of a PPAR-responsive reporter gene construct on CV 1 cells has been reported with telmisartan concentrations ranging 5-20 μ M, as well as the partial adipogenesis of C3H10T 1/2 and 3T3 L1 at a dosage of 10 μ M (Erbe et al., 2006). Tagami el al. (2009) found that telmisartan 10 μ M induced at least 35% activation relative to that induced by troglitazone and pioglitazone in wild type TSA-201 cells, and this activity was retained in PPAR γ mutants, while troglitazone and pioglitazone activities were highly impaired.

Effect on myogenesis. As an acknowledged partial agonist to PPARs, we also tested Telmisartan's ability to induce myogenesis, to our knowledge this is the first report that this compound increases MyHC expression in cattle BMD-MC, and this effect may be due to its ability to activate either PPAR α or PPAR δ or both.

Bezafibrate is a synthetic pan-PPAR ligand. Through activation of PPAR α , and the transcription or silencing of its target genes, the main effects of bezafibrate are increased lipolysis, β -oxidation, and clearance of triglyceride-rich lipoproteins, and decreased *de novo* fatty acid synthesis [Goldenberg et al., 2008]. By activating PPAR δ , fatty acid oxidation, energy metabolism, and adaptative thermogenesis are enhanced [Tenenbaum and Fisman, 2012]. Here we found that among the compounds tested, bezafibrate induced the highest expression of *MyHC*. We hypothesize that the increased expression of *MyHC* mRNA by both bezafibrate and telmisartan is due to direct activation of PPAR α and PPAR δ , which modulates subsequent transcription of myogenic factors. In this context Gaudel et al. [2008] reported that treatment with GW0742, a PPAR δ agonist, led to a transient increase of myogenic factors MyoD1 and Myf5 in *tibialis anterior* muscles of mice. Moreover, Bonala et al. [2012] found that PPAR δ activation with the specific ligand L165041 increases proliferation of the muscle cell line C2C12 as well as its differentiation. They found increased expression of mRNA for the myogenic factor *MyoD1* and *Myogenin* and an increase of MyHC protein. Also, the Growth and differentiation factor associated serum protein-1 (Gasp 1) has a PPRE in its promoter region, identifying it as a target of PPAR δ . Gasp1 interacts with myostatin, inhibiting its signaling and thereby allowing the proliferation and differentiation of muscle cells.

Moreover, given that our results showed no expression of *Myod1*, but cells expressed MyHC (a terminal differentiation marker for muscle lineage) and several myogenic transcription factors involved in lineage determination and differentiation. We performed a search for putative transcription factors binding sites using the software tool for genome “*in silico*” analysis PROMO 3.0 [Messeguer et al., 2002; Farré et al., 2003] for either PPARs

and myogenic factors. Promoter region (3,000 bp upstream of the origin of transcription) of MyHC and myogenic factors analyzed possess several putative transcription factor binding sites for both, the myogenic factors expressed and PPARs (Table 5), and given that these myogenic factors can substitute each other roles as aforementioned this could explain that even though we didn't find Myod1 expression, cells undergone terminal differentiation and expressed MyHC.

Effects of PPAR agonists on energy metabolism.

After treating cells with several PPAR ligands to promote differentiation, we selected the treatment with the highest expression of *PPAR γ* or *MyHC* for adipogenic and myogenic differentiation, respectively, for further analysis to determine the energy metabolism status. Our results indicated that bovine BMD-MC differentiated into adipocytes and treated with telmisartan have a more efficient glucose metabolism that can fulfill the cell's energy needs and also supply substrates for the increased rate of fatty acid synthesis and mobilization. The increased *HK2* gene expression indicates a higher uptake of glucose available for glycolysis, and it has been reported that glucose also can up-regulate ACAC and FASN in adipose tissue [Foufelle et al., 1996]. In 3T3-L1 adipocytes, telmisartan increases expression and translocation of GLUT4 to the plasma membrane through PPAR γ [Furukawa et al., 2011], which can explain a higher glucose uptake by treated cells. PFK, a key enzyme in the glycolytic pathway, is also regulated by PPAR γ and increased levels of PFK can induce fat deposition in mice and in the 3T3-L1 cell line [Huo et al., 2012]. Our results showed an up-regulation of *PFK* expression in response to telmisartan treatment, but its relative expression was lower than that of *HK2*. This implies that, although glucose

uptake is increased, not all of the glucose enters the glycolytic pathway; instead, there can be a surplus that can be driven to alternate pathways such as the pentose phosphate synthesis pathway. Hence, during telmisartan treatment, glucose metabolism will generate both the energy (ATP) and substrates (acetyl CoA and NADPH) needed for *de novo* fatty acid synthesis. Regarding lipid metabolism of telmisartan-treated cells, we found an increase of *ACAC α* and *FASN*, key enzymes for *de novo* fatty acid synthesis; the first catalyzes the ATP-dependent carboxylation of acetyl-CoA forming malonyl-CoA, which is the substrate for *FASN*-catalyzed synthesis of palmitate. ATGL catalyzes the first and rate-limiting step for the complete hydrolysis of triglycerides, and its transcription may be up-regulated during adipose differentiation by PPAR γ and FoxO1 [Lass et al., 2011]. This gene was also up-regulated during telmisartan treatment. *ACAC β* regulates fatty acid metabolism, whose end product malonyl-CoA is a potent inhibitor of carnitine palmitoyltransferase-1 (CPT-1), the enzyme responsible for the uptake of fatty acids into mitochondria. These effects on characteristics of lipid metabolism in bovine BMD-MC treated with telmisartan suggest that these cells have increased *de novo* fatty acid synthesis (*ACAC α* and *FASN*) and an increased rate of lipolysis (ATGL), while fatty acid oxidation remains unaffected. Possible implications of this outcome are that these cells have a more active energy metabolism, their glucose uptake and utilization is more efficient, and their fatty acid synthesis and mobilization are up-regulated.

For cells differentiated into myocytes and treated with bezafibrate, the increased expression of glycolytic (*HK2* and *PFK*), fatty acid transport (*FABP*), and fatty acid catabolic (*ACAC β*) enzymes, all of which are regulated by PPAR δ , also points to an enhanced energy metabolism. Taken together, the expression levels of these genes suggest

a rearrangement of several metabolic pathways involved in uptake, storage, and use of energetic substrates in bovine BMD-MC differentiated to myocytes and treated with bezafibrate. However, the greater change of *HK2* expression relative to that found for *PFK* indicates that, even with the increased glycolysis rate, a surplus of phosphorylated glucose could be generated, and this also can be driven to alternate pathways such as glucogenesis and pentose synthesis. The observed increase of *FABP* suggests an enhanced fatty acid uptake by the bezafibrate-treated cells, while the *PPAR δ* increase indicates that utilization of fatty acids for oxidation is higher than in controls. Nonetheless, *ACAC β* increased notably in bezafibrate-treated cultures. At first glance, this outcome seems to contradict the increases of *FABP* and *PPAR δ* expression (indicators of a higher fatty acid catabolism) given that, under normal conditions, *ACAC β* inhibits *CPT-1* and therefore fatty acid oxidation. However, the higher level of glycolysis in the treated cells can explain this outcome, because *ACAC α* and *ACAC β* are activated by citrate (a glycolytic metabolite) and therefore, the main result will be fatty acid synthesis in adipose tissue (via *ACAC α*) or inhibition of fatty acid oxidation in muscular tissue (via *ACAC β*).

Conclusions

Bovine BMD-MC can be induced to differentiate toward adipogenic and myogenic lineages most readily at early passages. In addition, PPAR ligands (telmisartan and bezafibrate) are possible tools for increasing cell differentiation, and they activate the energy metabolism of the differentiated cells.

Acknowledgements

JJ Ramírez thanks the National Council of Science and Technology from Mexico (CoNaCyT) for a scholarship at FESC-UNAM. The authors received a grant IN200910 from PAPIIT-UNAM. We thank the Proteogenomics Unit for its technical assistance and Dorothy Pless for revising the English manuscript (both from INB-UNAM).

References

- Amano, Y., T. Yamaguchi, K. Ohno, T. Niimi, M. Orita, H. Sakashita, M. Takeuchi (2012) Structural basis for telmisartan-mediated partial activation of PPAR gamma. *Hypertension Res* 35: 715-719.
- Andersen, C.L., J.L. Jensen, T.F. Ørntoft (2004) Normalization of Real-time quantitative reverse transcription-PCR data: a model-based variance estimation approach to identify genes suited for normalization, applied to bladder and colon cancer data sets. *Cancer Res* 64: 5245-5250.
- Bonab, M.M., K. Alimoghaddam, F. Talebian, S.H. Ghaffari, A. Ghavamzedah, B. Nikbin (2006) Aging of mesenchymal stem cell in vitro. *BMC Cell Biol* 7: 14.
- Bonala, S., S. Lokireddy, H. Arigela, S. Teng, W. Wahli, M. Sharma, C. McFarlane, R. Kambadur (2012) Peroxisome proliferator-activated receptor β/δ induces myogenesis by modulating myostatin activity. *J Biol Chem* 287: 12935-12951.
- Bosnakovski, D., M. Mizuno, G. Kim, S. Takagi, M. Okumura, T. Fujinaga (2005) Isolation and multilineage differentiation of bovine bone marrow mesenchymal stem cells. *Cell Tissue Res* 319: 243-253.

- Cardoso T.C., H.F. Ferrari, A.F. Garcia, J.B. Novais, C. Silva-Frade, M.C. Ferrarezi, A.L. Andrade, R. Gameiro (2012) Isolation and characterization of Wharton's jelly-derived multipotent mesenchymal stromal cells obtained from bovine umbilical cord and maintained in a defined serum-free three-dimensional system. *BMC Biotechnology* 12:18
- Colleoni, S., G. Donofrio, I. Lagutina, R. Duchi, C. Galli, G. Lazzari (2005) Establishment, differentiation, electroporation, viral transduction, and nuclear transfer of bovine and porcine mesenchymal stem cells. *Cloning Stem Cells* 7: 154-166.
- Cortes Y., M. Ojeda, D. Araya, F. Dueñas, M.S. Fernández, O.A. Peralta (2013) Isolation and multilineage differentiation of bone marrow mesenchymal stem cells from abattoir-derived bovine fetuses. *BMC Veterinary Research* 9:133
- Domènec, F., R. Roset, M. Huerta, J. E. Adsuara, L. Roselló, M. M. Albà, X. Messeguer (2003) Identification of patterns in biological sequences at the ALGGEN server: PROMO and MALGEN. *Nucleic Acids Res* 31: 3651-3653
- Drost, A.C., S. Weng, G. Feil, J. Schäfer, S. Baumann, L. Kanz, K.D. Sievert, A. Stenzl, R. Möhle (2009) In vitro myogenic differentiation of human bone marrow-derived mesenchymal stem cells as a potential treatment for urethral sphincter muscle repair. *Ann N Y Acad Sci* 1176: 135-143.
- Ehrenborg, E., A. Krook (2010) Regulation of skeletal muscle physiology and metabolism by peroxisome proliferator-activated receptor delta. *Pharmacol Rev* 61: 373-393.
- Erbe, D.V., K. Gartrell, Y. L. Zhang, V. Suri, S. J. Kirincich, S. Will, M. Perreault, S. Wang, J. F. Tobin (2006) Molecular activation of PPARgamma by angiotensin II type 1-receptor antagonists. *Vascul. Pharmacol.* 45:154-162

Eslaminejad, M.B., F. Falahi, H. Nazarian, L. Taghiyar, M.T. Daneshzadeh (2007) Differentiation potential and culture requirements of mesenchymal stem cells from ovine bone marrow for tissue regeneration applications. Iranian Journal of Veterinary Surgery 2: 53-65.

Freshney, R.I. (2005) Culture of animal cells: a manual of basic technique. John Wiley & Sons, Inc. Hoboken, NJ, USA.

Foufelle, F., J. Girard, P. Ferré (1996) Regulation of lipogenic enzyme expression by glucose in liver and adipose tissue: a review of the potential cellular and molecular mechanisms Adv Enzyme Regul 36: 199-226.

Furukawa, H., K. Mawatari, K. Koyama, S. Yasui, R. Morizumi, T. Shimohata, N. Harada, A. Takahashi, Y. Nakaya (2011) Telmisartan increases localization of glucose transporter 4 to the plasma membrane and increases glucose uptake via peroxisome proliferator-activated receptor γ in 3T3-L1 adipocytes. Eur J Pharmacol 660: 485-491.

Gang, E.J., J.A. Jeong, S.H. Hong, S.H. Hwang, S.W. Kim, I.H. Yang, C. Ahn, H. Han, H. Kim (2004) Skeletal myogenic differentiation of mesenchymal stem cells isolated from human umbilical cord blood. Stem Cells 22: 617-624.

Gaudel, C., C. Schwartz, C. Giordano, N.A. Abumrad, P.A. Grimaldi (2008) Pharmacological activation of PPARbeta promotes rapid calcineurin-dependent fiber remodeling and angiogenesis in mouse skeletal muscle. Am J Physiol. Endocrinol Metab 295: E297-E304.

Gnecchi, M., L. Melo (2009) Bone marrow-derived mesenchymal stem cells: Isolation, expansion, characterization, viral transduction, and production of conditioned medium. In:

Audet J., and W.L. Stanford (eds). Stem Cells in Regenerative Medicine. Humana Press New York, New York USA, pp:281-294.

Goldenberg, I., M. Benderly, U. Gouldbourt (2008) Update on the use of fibrates: focus on bezafibrate. *Vasc Health Risk Manag* 4: 131-141.

He, H., D. Yang, L. Ma, Z. Luo, S. Ma, X. Feng, T. Cao, Z. Yan, D. Liu, M. Tepel, Z. Zhu (2010) Telmisartan prevents weight gain and obesity through activation of peroxisome proliferator-activated receptor-delta-dependent pathways. *Hypertension* 55: 869-879.

Huo, Y., X. Guo, X. Li, H. Xu, V. Halim, W. Zhang, H. Wang, Y.Y. Fan, K.T. Ong, S.L. Woo, R.S. Chapkin, D.G. Mashek, Y. Chen, H. Dong, F. Lu, L. Wei, C. Wu (2012) Targeted overexpression of inducible 6-phosphofructo-2-kinase in adipose tissue increase fat deposition but protects against diet induced insulin resistance and inflammatory responses. *J Biol Chem* 287: 21492-21500.

Jiang, S., A. Wang, J. Minner, M. Fromm (2012) Cross regulation of sirtuin 1, AMPK, and PPAR γ in conjugated linoleic acid treated adipocytes. *PLoS One* 7:e48874

Karaöz, E., A Okçu, G. Gacar, O. Sağlam, S. Yürüker, H. Kenar (2011) A comprehensive characterization study of human bone marrow mscs with an emphasis on molecular and ultrastructural properties. *J. Cell. Physiol.* 226: 1367-1382

Kassar-Duchossoy, L., B. Gayraud-Morel, D. Gomès, D. Rocancourt, M. Buckingham, V. Shinin, S. Tajbakhsh (2004) Mrf4 determines skeletal muscle identity in Myf5:Myod double-mutant mice. *Nature* 431: 466-471.

Khatri, M., T.D. O'Brien, J.M. Sharma (2009) Isolation and differentiation of chicken mesenchymal stem cells from bone marrow. *Stem Cells Dev* 18: 1485-1492.

- Kretlow, J.D., Y.Q. Jin, W. Liu, W.J. Zhang, T.H. Hong, G. Zhou, L.S. Baggett, A.G. Mikos, Y. Cao (2008) Donor age and cell passage affects differentiation potential of murine bone marrow-derived stem cells. *BMC Cell Biol* 9: 60.
- Lass, A., R. Zimmermann, M. Oberer, R. Zechner (2011) Lipolysis – a highly regulated multi-enzyme complex mediates the catabolism of cellular fat stores. *Prog Lipid Res* 50: 14-27.
- Livak, K.J., T.D. Schmittgen (2001) Analysis of relative gene expression data using real-time quantitative PCR and the 2(-Delta Delta C(T)) method. *Methods* 25: 402-408.
- Mahajan, A., C.H. Stahl (2009) Dihydroxy-cholecalciferol stimulates adipocytic differentiation of porcine mesenchymal stem cells. *J Nutr Biochem* 20: 512-520.
- McCarty, R.C., S. Gronthos, A.C. Zannettino, B.K. Foster, C.J. Xian (2009) Characterization and developmental potential of ovine bone marrow derived mesenchymal stem cells. *J. Cell. Physiol.* 2324-333.
- Messeguer, X., R. Escudero, D. Farré, O. Nuñez, J. Martínez, M. M. Albà (2002) PROMO: detection of known transcription regulatory elements using species-tailored searches. *Bioinformatics* 18: 333-334
- Ninomiya, Y., Y. Sugahara-Yamashita, Y. Nakachi, Y. Tokuzawa, Y. Okazaki, M. Nishiyama (2010) Development of rapid culture method to induce adipocyte differentiation of human bone marrow-derived mesenchymal stem cells. *Biochem Biophys Res Commun* 394: 303-308.
- Pfaffl, M.W., A. Tichopad, C. Prgomet, T.P. Neuvians (2004) Determination of stable housekeeping genes, differentially regulated target genes and sample integrity: Bestkeeper – Excel-based tool using pair-wise correlations. *Biotechnol Lett* 26: 509-515.

- Picard, F., M. Kurtev, N. Chung, A. Topark-Ngarm, T. Senawong, R. Machado De Oliveira, M. Leid, M.W. McBurney, L. Guarente (2004) Sirt 1 promotes fat mobilization in white adipocytes by repressing PPAR-gamma. *Nature* 429: 771-776.
- Platt, I.D., A. El-Sohemy (2009) Regulation of osteoblast and adipocyte differentiation from human mesenchymal stem cells by conjugated linoleic acid. *J Nutr Biochem* 20: 956-964.
- SAS Institute, (2008) SAS OnlineDoc. 9.1.3. Cary, NC, USA: SAS Institute, Inc.
- Schmittgen, T.D., K.J. Livak (2008) Analyzing real-time PCR data by the comparative C(T) method. *Nat Protoc* 3: 1101-1108.
- Schnapp, E., A.S. Pistocchi, E. Karampetsos, E. Foglia, C.L. Lamia, F. Cottelli, G. Cossu (2009) Induced early expression of mrf4 but not myog rescues myogenesis in the myod/myf5 double-morphant zebrafish embryo. *J Cell Sci* 122: 481-488.
- Shockley, K.R., O.P. Lazarenko, P.J. Czernik, C.J. Rosen, G.A. Churchill, B. Lecka-Czernik (2009) PPARgamma2 nuclear receptor controls multiple regulatory pathways of osteoblast differentiation from marrow mesenchymal stem cells. *J Cell Biochem* 106: 232-246.
- Tagami, T., H. Yamamoto, K. Moriyama, K. Sawai, T. Usui, A. Shimatsu, M. Naruse (2009). A selective peroxisome proliferator activated receptor-gamma modulator, telmisartan, binds to the receptor in a different fashion from thiazolidinediones. *Endocrinology*. 150: 862-870

- Tenenbaum, A., E.Z. Fisman (2012) Balanced pan-PPAR activator bezafibrate in combination with statin: comprehensive lipids control and diabetes prevention? *Cardiovasc Diabetol* 11: 140.
- Toussirot, E., W. Abbas, K. A. Khan, M. Tissot, A. Jeudy, L. Baud, E. Bertolini, D. Wendling, G. Herbein (2013) Imbalance between HAT and HDAC activities in the PBMCs of patients with ankylosing spondylitis or rheumatoid arthritis and influence of HDAC inhibitors on TNF alpha production. *PLoS One* 8:e70939
- Vandesompele, J., K. De Preter, F. Patty, B. Poppe, N. Van Roy, A. De Paepe, F. Speleman (2002) Accurate normalization of real-time quantitative RT-PCR data by geometric mean averaging of multiple internal control genes. *Genome Biol* 3: RESEARCH0034
- Vidal, M.A., G.E. Kilroy, J.R. Johnson, M.J. Lopez, R.M. Moore, J.M. Gimble (2006) Cell growth characteristics and differentiation frequency of adherent equine bone marrow-derived mesenchymal stromal cells: adipogenic and osteogenic capacity. *Vet Sur* 35: 601–610.
- Xiao, Y., V. Peperzak, L. van Rijn, J. Borst, J.D. de Bruijn (2010) Dexamethasone treatment during the expansion phase maintains stemness of bone marrow mesenchymal stem cells. *J Tissue Eng Regen Med* 4: 374-386.
- Xynos, A., P. Corbella, N. Belmonte, R. Zini, R. Manfredini, G. Ferrari (2010) Bone marrow derived hematopoietic cells undergo myogenic differentiation following a Pax-7 independent pathway. *Stem Cells* 28: 965-963.
- Zeng, L., E. Rahrmann, Q. Hu, T. Lund, L. Sanquist, M. Felten, T.D. O'Brien, J. Zhang, C. Verfaillie (2006) Multipotent adult progenitor cells from swine bone marrow. *Stem Cells* 24: 2355-2366.

Zhou, X., D. Li, J. Yin, J. Ni, B. Dong, J. Zhang, M. Du (2007) CLA differently regulates adipogenesis in stromal vascular cells from porcine subcutaneous adipose and skeletal muscle. *J Lipid Res* 48: 1701-1709.

Zhou, X.R., C.H. Sun, J.R. Liu, D. Zhao (2008) Dietary conjugated linoleic acid increases PPAR gamma gene expression in adipose tissue of obese rat, and improves insulin resistance. *Growth Horm IGF Res* 18: 361-368.

Figure Legends

Fig.1 Cumulative cell doublings and cumulative total cell number of bovine BMD-MC, kept under a fixed subculturing time of 5 d over the course of 15 passages. Symbols (○, □, ◇, △) indicate data acquired from individual animals (n = 4); continuous line displays the estimated values of the equation obtained from regression analysis ($p < 0.0001$) for cumulative cell number (a) and cumulative cell doublings (b) at each passage (n = 4).

Fig.2 Agarose gel electrophoresis (1%) of PCR products from RT-PCR reactions from bone marrow-derived MSC from 2 animals. PCR products for mesenchymal stem cell markers CD44 (a); CD90 (b); CD29 (c); CD73 (d); CD105 (e); ABCG2 (f) and hematopoietic stem cell surface markers CD34 (g) and CD45 (h); negative control of PCR (no cDNA template) (i); and positive control of PCR (β -actin) (j) were added; MW 1k bp Molecular weight marker.

Fig.3 Relative expression of mRNA for *PPAR γ* and *MyHC* in bovine BMD-MC induced to differentiate, a) *PPAR γ* expression in cells from freshly isolated cultures and at passages 3, 5, 10, and 14. b) Expression of myosin heavy chain (*MyHC*) in cells obtained at isolation and passages 3, 5, 10 and 14. IC = Initial control (RNA extracted at confluence). NDF = no differentiation control (maintained in basal media); ADM = adipogenic differentiation medium, and MDM = myogenic differentiation medium. Results are expressed as least square means \pm SEM (n = 4). a, b, c used to identify significant differences.

Fig.4 Agarose gel electrophoresis (1.5%) of PCR products from cattle bone marrow-derived MSC under myogenic differentiation. a) Expression of myogenic factor MRF4 mRNA along different time points of myogenic differentiation and treated with three

differentiation media; a to i: day 0 to day 8 of treatment; j to l: week 2 to 4 of treatment; m positive control (cDNA from cattle muscle); n: β actin (PCR control). b) Expression of MEF2C, Myf5 and MyHC mRNA in cattle bone marrow-derived MSC during myogenic differentiation; a to i: day 0 to day 8 of treatment; j to l: week 2 to 4 of treatment; m: no cDNA template (PCR reaction negative control); n: β actin (PCR reaction positive control). MW: 100 bp molecular weight marker.

Fig.5 a) Expression of *PPAR γ* in bovine BMD-MC treated to enhance adipogenic differentiation. ADM = adipogenic differentiation medium; IC = initial control (RNA extracted at confluence); NDF = no differentiation control (cell cultures maintained in basal media); DMSO = ADM + 0.5% dimethyl sulfoxide; ethanol = ADM + 0.1% ethanol; Sirt = ADM + sirtinol (10, 25, or 50 μ M); CLA = ADM + conjugated c-9, t-11 linoleic acid (10, 50, or 100 μ M); Tel = ADM + telmisartan (1, 10, or 20 μ M); Ros = ADM + rosiglitazone (1, 10, or 20 μ M). Data are expressed as least square means \pm SEM ($n = 4$). Different letters indicate significant differences between columns ($p \leq 0.05$). b) Expression level of energy metabolism-related genes in bovine BMD-MC differentiated into adipocytes treated with either ADM or ADM + 20 μ M telmisartan. *HK* = hexokinase 2; *PFK* = phosphofructokinase; *ATGL* = adipose triglyceride lipase; *ACAC α* = acetyl CoA carboxylase α ; *ACAC β* = acetyl CoA carboxylase β ; *FASN* = fatty acid synthase. Significant differences indicated by ** ($p = 0.0027$) and *** ($p < 0.0001$).

Fig.6 a) Expression of *MyHC* in bovine BMD-MC treated with compounds to enhance myogenic differentiation. MDM = myogenic differentiation medium; IC = initial control (RNA extracted at confluence); NDC = no differentiation control (cultures maintained in

basal medium); DMSO = MDM + 0.5% Dimethyl sulfoxide; Sirt = MDM + sirtinol (10, 25, or 50 μ M); Tel = MDM + telmisartan (1, 10, or 20 μ M); BZ = ADM + bezafibrate (50, 100, or 200 μ M). Data are expressed as least square means \pm SEM ($n = 4$). Different letters indicate significant differences between columns ($p \leq 0.0591$). b) Relative expression of energy metabolism-related genes in bovine BMD-MC differentiated into myocytes treated with either MDM or MDM + bezafibrate 200 μ M. *HK* = hexokinase 2; *PFK* = phosphofructokinase; *ACAC α* = acetyl CoA caboxylase α ; *PPAR δ* = peroxisome proliferator activated receptor δ ; *FABP* = fatty acid binding protein. Significant differences are indicated by * ($p \leq 0.05$), ** ($p \leq 0.001$) and *** ($p < 0.0001$).

Table 1. Primers designed to assess expression of metabolism-related genes.

Gene	Accession number	Oligonucleotide sequence Forward/Reverse	Product	
			size (bp)	Product type
<i>PPARγ</i>	NM_181024.2	F: 5' catctccagggtgtcagt R: 5' ggatatgaggacccatcct	186	qPCR
<i>PPARγ</i>	NM_181024.2	F: 5' gacttgaacgaccaagtaactc R: 5' ctctgctaataacaagtccctttag	511	PCR
<i>HK2</i>	XM_002691189.1	F: 5' caccaactgattgctccgtc R: 5' taccaaccgccttaagactg	101	qPCR
<i>PFK</i>	NM_001080244.1	F: 5' ccegacgctgcctatgtcttcg R: 5' cagtcaaacaacacgccttgcc	173	qPCR
<i>ATGL</i>	FJ897536.1	F: 5' tgccttcaccatccgcttgc R: 5' ccagcttccttggcgcgta	99	qPCR
<i>FASN</i>	NM_001012669.1	F: 5' aactgcacgcacaccgtgacc R: 5' ccccgatcaccttcttgagc	161	qPCR
<i>ACACα</i>	NM_174224.2	F: 5' ctctccgacaggttcaaggc R: 5' taatcttctgtgcctgcgttgc	144	qPCR
<i>ACACβ</i>	NM_001205333.1	F: 5' ccatccggttcgtagtca R: 5' tctacaatcgtccacgtt	116	qPCR
<i>FABP4</i>	NM_174314.2	F: 5' acaggaaagtcaagagcatc R: 5' acattccagcaccatttat	121	qPCR
<i>PPARδ</i>	NM_001083636.1	F: 5' ggtgaccctgctcaagtacg R: 5' acttgacggcaaactcgaac	178	qPCR

Table 2. Primers designed for qPCR housekeeping genes.

Gene	Accession number	Oligonucleotide sequence Forward/Reverse	Product size (bp)	Product type
<i>18S</i>	NR_036642.1	F: 5' ggagcgatttgtctgggtta R: 5' gtagggtaggcacacgctga	214	qPCR
<i>RPL13a</i>	NM_001076998.1	F: 5' ctgccccacaagaccaaggc R: 5' tggttccagccaacctca	188	qPCR
<i>YWHAZ</i>	NM_174814.2	F: 5' cggacacagaacatccagt R: 5' tttctcagcacccctccgtct	243	qPCR
<i>PPIA</i>	XM_0012529121.1	F: 5' agcactggggagaaaggatt R: 5' agccactcagtcttggcagt	247	qPCR
<i>EF1α</i>	XM_003587615.1	F: 5' tgcccttctgtcttacacc R: 5' cacaatgctaccgtgtcg	147	qPCR

Table 3. Primers designed to assess expression of stem cell markers.

Gene	Accession number	Oligonucleotide sequence Forward/Reverse	Product size (bp)	Product type
<i>CD29</i>	XM_005214148.2	F: 5' gacacgcaagaaaatccgat R: 5' accggcaatttagagacca	89	PCR
<i>CD44</i>	NM_174013.2	F: 5' cggacctgcccaatgccttga R: 5' tgcacagttggaggtgcgt	226	PCR
<i>CD73</i>	BT026240.1	F: 5' ttctcaacagcagcatccca R: 5' cagtgccatccagatagaca	122	PCR
<i>CD90</i>	NM_001034765.1	F: 5' tgccgattgtcgaaaaagca R: 5' ttgcccttctggcgacgg	198	PCR
<i>CD105</i>	NM_001076397.1	F: 5' ccatcaaaggctgaccctcg R: 5' agtctgatgaccacctcg	138	PCR
<i>ABCG2</i>	NM_001037478.2	F: 5' agcagccttcggcttccaa R: 5' agccagtttggctcatcca	218	PCR
<i>CD34</i>	NM_174009.1	F: 5' cagccaccagagctattccc R: 5' cccagccttctccgggtt	131	PCR
<i>CD45</i>	BC148881.1	F: 5'aagctgcgcaggaggtaaacg R: 5' tgtgcctccacactgcaccat	206	PCR

Table 4. Primers designed for myogenic differentiation markers.

Gene	Accession number	Oligonucleotide sequence	Product size (bp)	Product type
		Forward/Reverse		
<i>Pax7</i>	XM_002685738.1	F: 5' aagaaagccaaggcacagcat R: 5' gtcctctcggtgttagatg	204	PCR
<i>Pax3</i>	NM_001206818.1	F: 5' ccagagggcaaagcttacag R: 5' ggaatagctgtggctggta	194	PCR
<i>Miogenin</i>	FJ979804.1	F: 5' gggcgtgtaaagggtgtaaag R: 5' gcgccttatgtactggatgg	267	PCR
<i>MEF2C</i>	NM_001046113.1	F: 5' tattccaccaggcagcaaga R: 5' tatcctccatcccttgcc	158	PCR
<i>MyoD1</i>	NM_001040478.2	F: 5' caacagcggacgacttct R: 5' cagggaaagtgcgagtgtt	128	PCR
<i>MRF4</i>	AB110601.1	F: 5' attaactacatcgagcggtg R: 5' ttccctggcagttatcacgag	197	PCR
<i>Myostatin</i>	AF019761.1	F: 5' cctgaatccaacttaggcat R: 5' gttcatcacaatcaagccaa	169	PCR
<i>Myf5</i>	NM_174116.1	F: 5' ctaatgaaattggcagtcac R: 5' ctactttgcacatacaca	247	PCR
<i>MyHC</i>	AB059399.2	F: 5' tgcagecatgagttcagaccagga R: 5' gttactgtcgccccagcctcg	219	PCR, qPCR
<i>Desmin</i>	NM_001081575.1	F: 5' ccaacaagaacaatgacgctct R: 5' ctcactagcaaagcggtcct	157	PCR

Table 5. Putative transcription factor binding sites in the promoter region of genes related to muscle differentiation of cattle.

Type	Transcription Factor	Gen								
		<i>Pax-3</i>	<i>Myogenin</i>	<i>MRF-4</i>	<i>Myf-5</i>	<i>MEF2C</i>	<i>MyoD</i>	<i>MSTN</i>	<i>MyHC</i>	<i>Desmin</i>
PPARs	<i>PPAR-α</i> ^{1, 3}	+	+	+	+	+	+	+	+	+
	<i>PPAR-α:RXR-α</i> ²	+	+	+	+		+	+	+	+
	<i>PPAR-γ</i> ^{3, 4}	+	+	+	+	+	+	+	+	+
	<i>PPAR-γ:RXR-α</i> ³	+	+	+	+	+	+	+	+	+
Myogenic	<i>Pax-3</i> ^{1, 2, 3, 5}	+	+		+	+	+	+	+	+
Transcription Factors	<i>Myogenin</i> ^{1, 2, 3}	+	+	+	+	+	+	+	+	+
	<i>MRF-4</i> ²								+	+
	<i>Myf-5</i> ²		+	+		+	+		+	+
	<i>MyoD</i> ^{2, 3, 4, 5}	+	+	+	+	+	+	+	+	+
	<i>MEF2C</i> ^{2, 3}	+	+	+	+	+	+	+	+	+

¹ *Rattus norvegicus*; ² *Homo sapiens*; ³ *Mus musculus*; ⁴ *Xenopus laevis*; ⁵ *Gallus gallus*. Minimum similarity percentage for each consensus sequence is 85%.

Fig.1

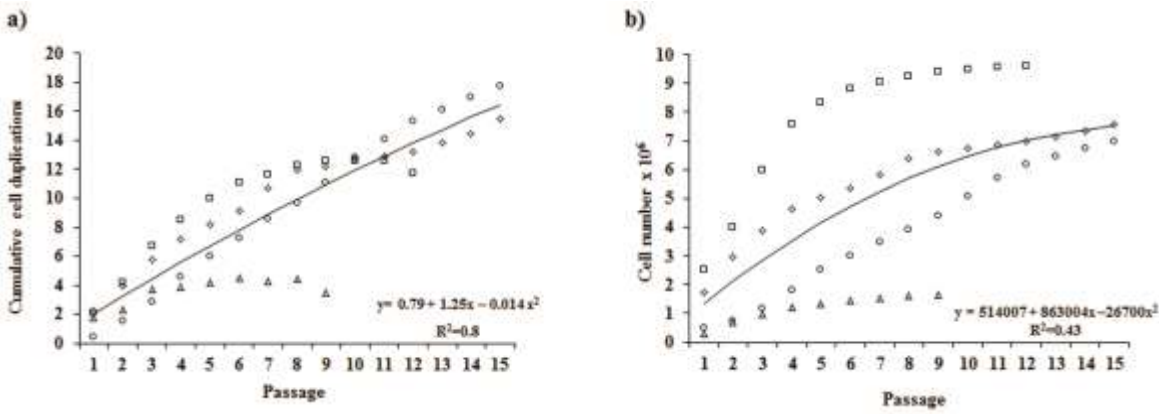


Fig.2

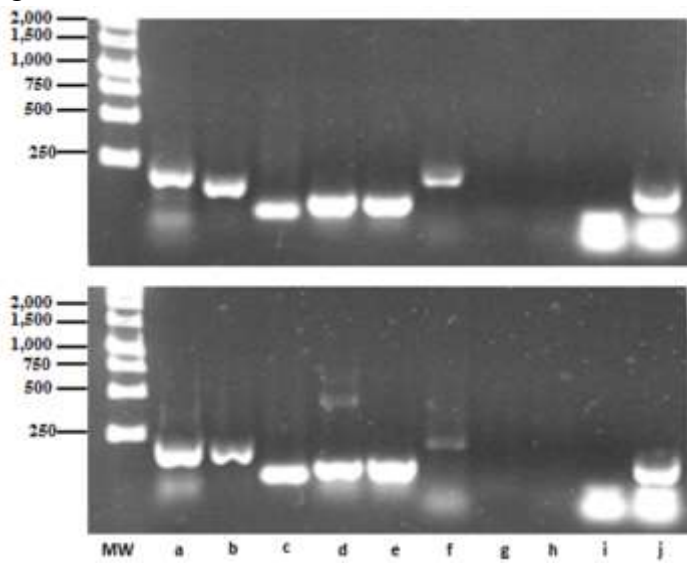


Fig.3

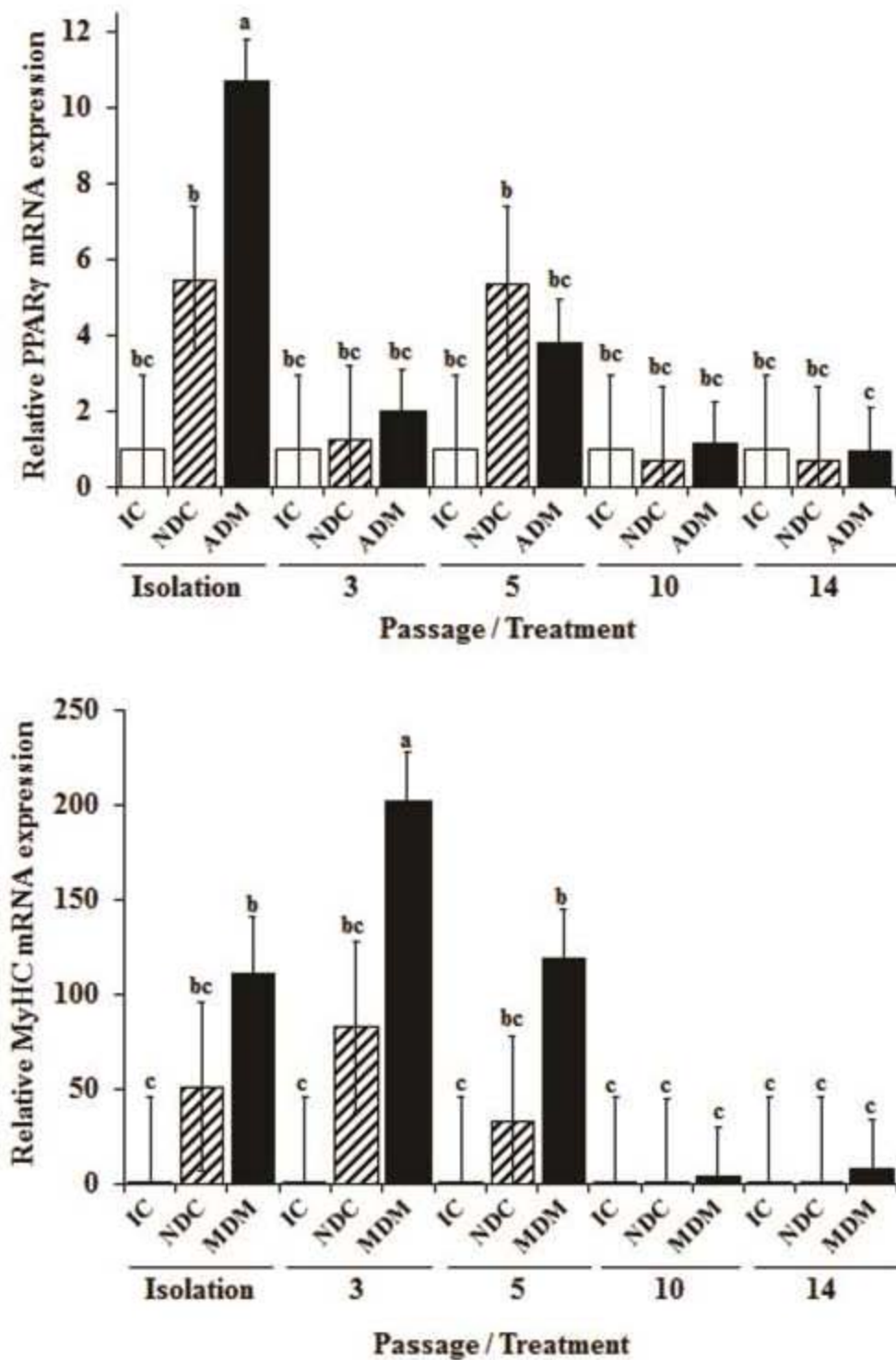


Fig.4

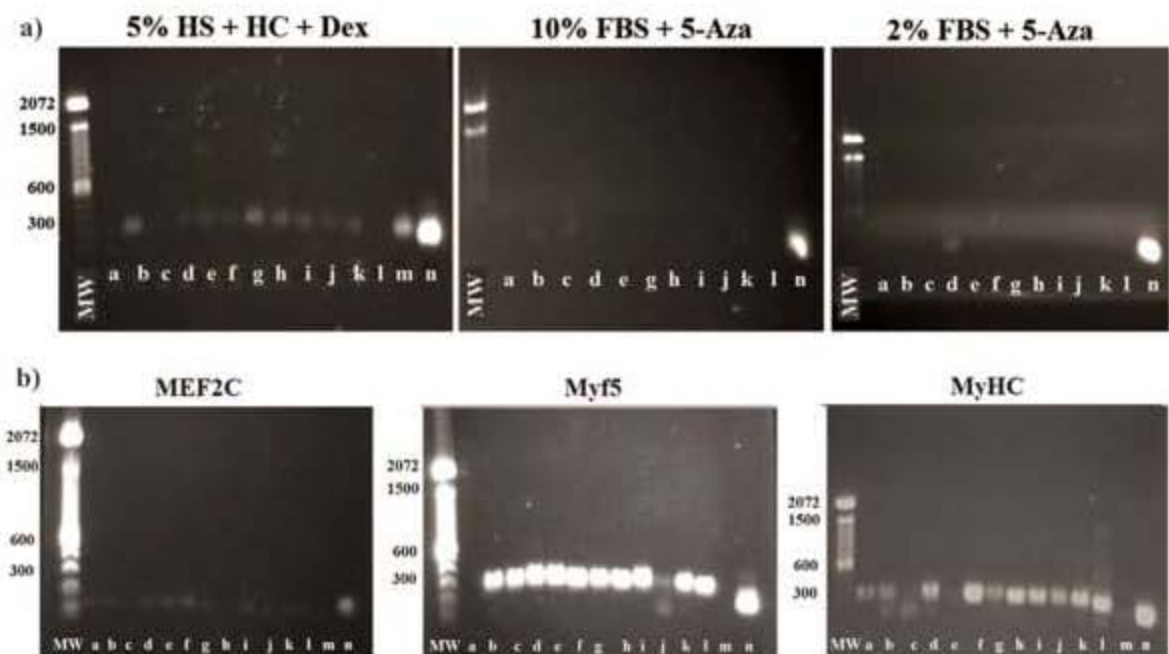


Fig.5

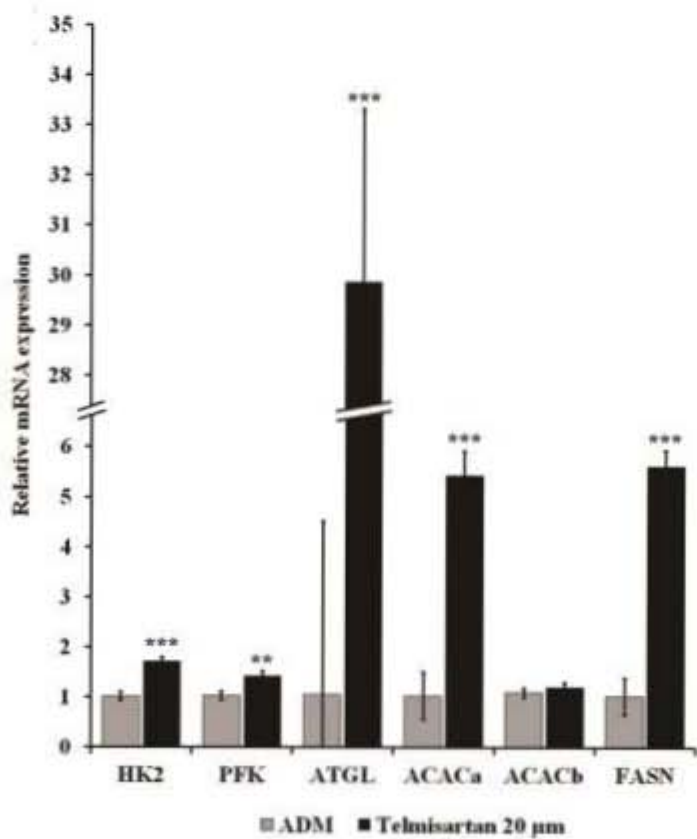
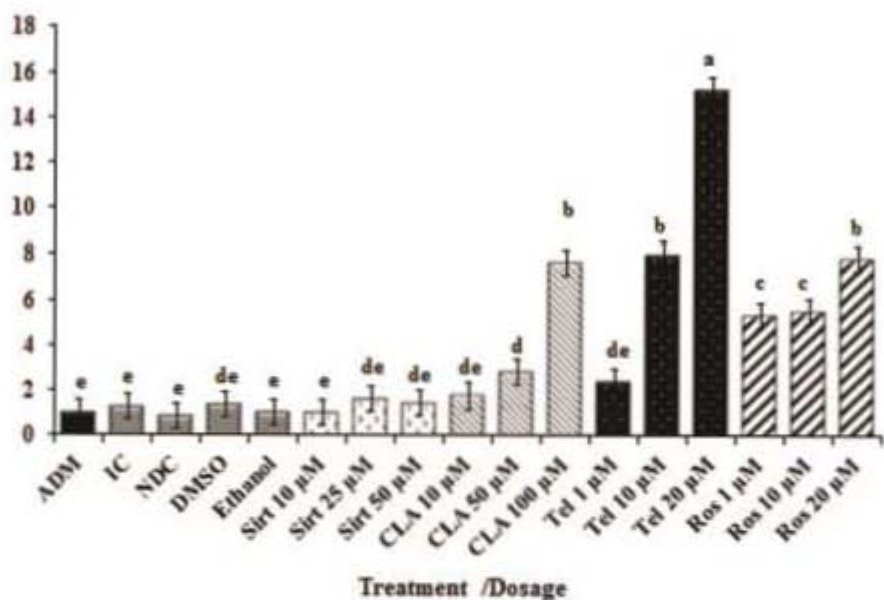
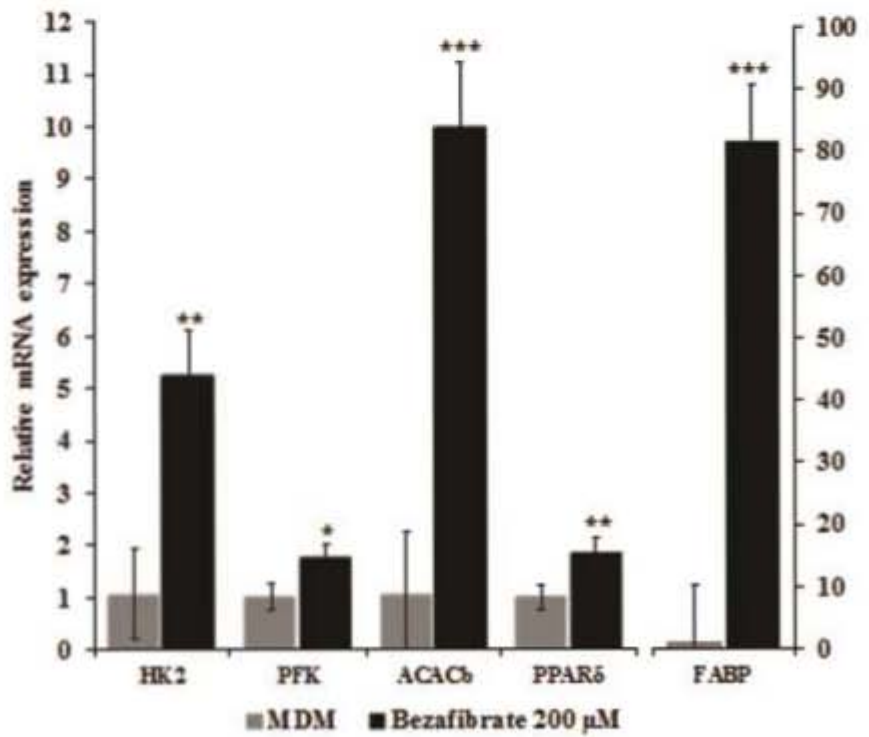
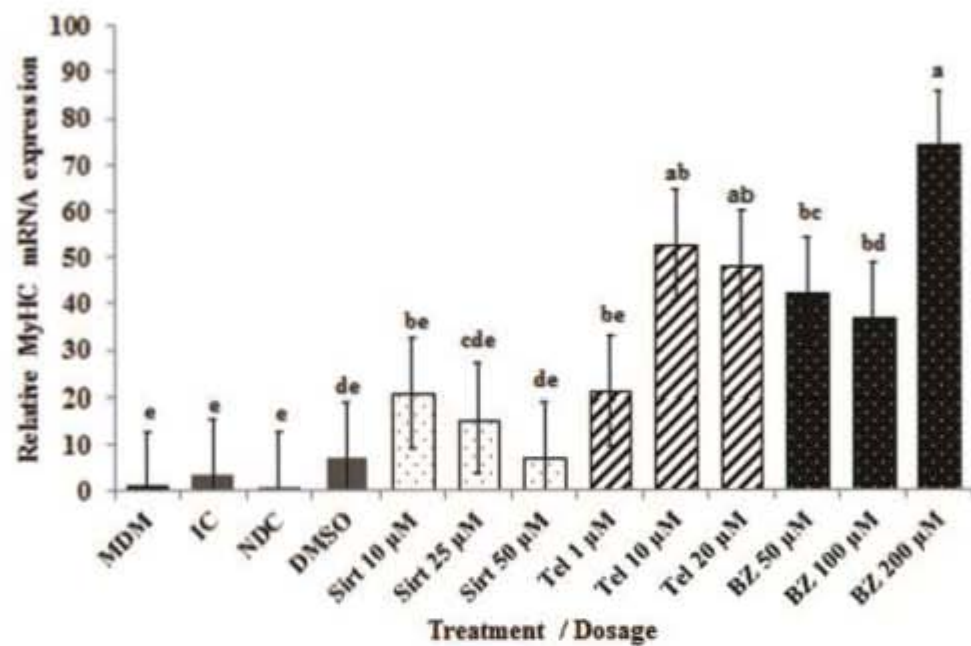


Fig.6



5. DISCUSIÓN

Diferentes estudios han mostrado que las células troncales mesenquimales (CTM) son altamente proliferativas y pueden alcanzar de 30 a 50 duplicaciones celulares antes de entrar en senescencia (Colter et. al., 2000; Colleoni et. al., 2005). Los resultados obtenidos en este trabajo para el número de duplicaciones celulares y el número total de células indican que las CTM obtenidas de médula ósea de bovino poseen una capacidad de proliferación similar a la observada en humanos (Bonab *et al.*, 2006; Schallmoser *et al.*, 2010; Cheng *et al.*, 2011), cerdos (Zeng *et al.*, 2006; Comite *et al.*, 2010) o equinos (Vidal *et al.*, 2006; Colleoni *et al.*, 2009; Vidal *et al.*, 2012). Sin embargo, diversos factores pueden influir sobre dicha capacidad de proliferación en estas células, incluyendo, entre otros, la variabilidad individual, la edad del donador, la composición del medio o la densidad de cultivo.

Se ha reportado que la variabilidad individual puede afectar la capacidad de proliferación de las CTM. En ovejas, Rhodes *et al.* (2004) reportaron que la capacidad de proliferación de CTM de médula ósea obtenidas de animales de diferente edad y raza presentaron un amplio rango de tiempo en cultivo, de 13 a 230 días, para alcanzar un número fijo de células totales (45×10^6 células) sin una correlación estadística significativa entre la tasa de proliferación con la edad ($p = -0.57$) o la raza ($p = 0.64$). Schallmoser *et al.* (2010) reportaron que las CTM humanas pueden entrar en senescencia cuando estas alcanzan entre 14.5 y 19.6 duplicaciones celulares (entre el pase celular 9 y 14) mientras que Cheng *et al.* (2011) reportaron que las CTM alcanzan la senescencia a las 33 duplicaciones celulares (pase celular 13). Estos datos concuerdan con los resultados obtenidos en el presente trabajo en lo que se refiere a la capacidad de proliferación de las CTM a largo plazo. Asimismo, se ha sugerido que bajo las condiciones de cultivo usadas en este trabajo, después de ser aisladas y durante la formación de colonias, las CTM pueden tener entre 7 y 15 duplicaciones celulares (Wagner *et al.*, 2009; Vidal *et al.*, 2012). En CTM obtenidas de humanos de pasos celulares tempranos y tardíos mantenidos por períodos de cultivo prolongados se han reportado cambios en el perfil de expresión génica que semejan a los

perfíles de expresión de donadores jóvenes o ancianos (Wagner *et al.*, 2009; Schallmoser *et al.*, 2010).

Los componentes del medio como factores de crecimiento, vitaminas, nutrientes o metabolitos, pueden modificar la capacidad de proliferación y diferenciación de las CTM. Se ha reportado que el Factor de Crecimiento de Fibroblastos 2 (FGF-2) incrementa la tasa de proliferación de las CTM (Bianchi *et al.*, 2003), mientras que el Factor de Crecimiento de Hepatocitos (HGF) inhibe la proliferación pero promueve la migración y diferenciación de las CTM hacia cardiomiositos (Forte *et al.*, 2006). El ácido láctico, un metabolito celular, se ha relacionado con una disminución de la capacidad de proliferación de las CTM así como con la modificación de la capacidad de diferenciación de estas células; en este sentido Chen y Tan (2009) reportan que en CTM derivadas de conejo concentraciones de 15mM de ácido láctico y un pH menor a 7.2 disminuyen el potencial de proliferación celular y de diferenciación hacia los linajes osteogénico y condrogénico, mientras que incrementa la diferenciación adiposa.

Componentes del medio como la glucosa y su concentración en este pueden modificar la capacidad proliferativa de las CTM, Cramer *et al.* (2010) en células troncales derivadas de tejido adiposo reportaron que concentraciones de glucosa mayores a 500 mg/dL (27.75 mM) inhibe la capacidad de las células para formar colonias e incrementa el número de células senescentes. Este mismo grupo también reportó que concentraciones de 250mg/dL (13.88 mM) incrementan la expresión de genes proapoptóticos como p53, caspasa 3 y caspasa 8. Estos datos son apoyados también por los resultados de Lo *et al.* (2011), quienes encontraron que a concentraciones de glucosa menores a 135 mg/dL (7.49 mM) mejoran su potencial de proliferación y diferenciación, mientras que disminuye la expresión de p16 así como la actividad de la β galactosidasa, ambos, indicadores de senescencia celular.

En este sentido, la búsqueda del medio más adecuado para las CTM es un área de investigación activa; Dhanasekaran *et al.* (2013) por ejemplo, estudiaron diferentes medios disponibles comercialmente (DMEM-LG, α-MEM, DMEM F12 y DMEM KO) en CTM

humanas derivadas de médula ósea y encontraron que los medios más adecuados son DMEM-LG y α -MEM para el cultivo prolongado de estas células.

La densidad de cultivo celular es otro factor que afecta la capacidad de proliferación y diferenciación de las CTM. Se ha reportado que células a baja densidad pueden alcanzar un mayor número de duplicaciones celulares. Colter *et al.* (2000) reportaron que células sembradas a una baja densidad (< 5 células/cm 2) alcanzan 50 duplicaciones celulares, mientras que células sembradas a densidades mayores solo alcanzaron 15 duplicaciones celulares. Por otro lado se ha sugerido que densidades de siembra mayores a 2,000 células/cm 2 presentan una capacidad de proliferación más variable y en general menor (Zimmerman *et al.*, 2003); sin embargo Colleoni *et al.* (2005) reportaron que en CTM de bovino y cerdo estas células pueden alcanzar, respectivamente, entre 50 y 40 duplicaciones celulares con densidades de cultivo de 5,000 células/cm 2 .

Con esta información es posible que, bajo las condiciones experimentales usadas en este trabajo, las CTM de bovino no se encontraran bajo condiciones de cultivo óptimas, sin embargo, los resultados obtenidos indican que las CTM de bovino tienen una buena capacidad proliferativa que está en concordancia con datos publicados previamente para este tipo de células.

La capacidad de cultivar y expandir el número de CTM por amplios períodos de tiempo permite que éstas puedan ser usadas en diferentes aplicaciones que requieren el uso de gran cantidad de células. Dentro de los posibles usos de las CTM se pueden incluir tecnologías de transferencia nuclear como la clonación (como células donadores de núcleo) de animales de calidad superior o de especies en peligro de extinción (Jang *et al.*, 2011; Berg *et al.*, 2007; Williams *et al.*, 2006) así como para la producción de carne en condiciones *in vitro* (Bhat y Fayaz, 2011; Langelaan *et al.*, 2010; Mironov *et al.*, 2009). Estas nuevas aplicaciones abren un campo de investigación en áreas como la biología celular y la ingeniería de tejidos para el establecimiento de las condiciones óptimas de cultivo (componentes y concentración de estos en el medio, densidad celular, concentración de CO₂ y requerimientos de citocinas,

hormonas y factores de crecimiento) y sistemas de cultivo y diferenciación a mayor escala de las CTM de bovino.

Además de su capacidad de proliferación, las CTM tienen el potencial de diferenciarse a diferentes linajes celulares. Los resultados del presente trabajo muestran que las CTM de bovino derivadas de medula ósea son capaces de diferenciarse hacia adipocitos y miocitos. En ambos casos esta capacidad de diferenciación es mayor en pasos celulares tempranos y disminuye con los pasos posteriores. Estos resultados son consistentes con reportes previos que indican que la mayor capacidad de diferenciación celular se encuentra en los pasos celulares tempranos y que dicha capacidad disminuye en los pasos tardíos o a densidades de cultivo elevadas en CTM de médula ósea de humano (Cheng *et al.*, 2011; Bonab *et al.*, 2006), ratón (Kretlow *et al.*, 2008) y mono rhesus (Izadpanah *et al.*, 2005). Asimismo, Kretlow *et al.* (2008) reportaron que la capacidad de proliferación, adhesión y diferenciación de las CTM es afectada tanto por la edad del donador como el pasaje, encontrando estas capacidades alteradas cuando comparó cultivos del primer y sexto pasos celulares de donadores jóvenes y viejos. Bonab *et al.* (2006) también encontraron cambios en la capacidad de diferenciación de CTM de humano reduciéndose la capacidad adipogénica de las CTM en un 10% para el sexto pase celular y en un 60% para células del décimo pase celular.

Para la diferenciación adiposa, los resultados del presente trabajo indican que las CTM derivadas de médula ósea de bovinos poseen esta capacidad, debido a la expresión del Receptor Activado por Proliferadores de Peroxisomas γ (PPAR γ) en estas células. Esta capacidad ha sido reportada previamente para las CTM de bovino por Bosnakovski *et al.* (2005) y Colleoni *et al.* (2005) así como para otras especies como cerdos (Bosch *et al.*, 2006; Colleoni *et al.*, 2005), equinos (Vidal *et al.*, 2006), ovinos (McCarty *et al.*, 2009; Eslaminejad *et al.*, 2007) y aves (Khatri *et al.*, 2009). Sin embargo, en la información disponible actualmente no se ha identificado el tiempo óptimo (pasaje) para inducir la diferenciación adiposa de las CTM de bovino.

Por otro lado McCarty *et al.* (2009), reportaron que en CTM obtenidas de ovinos y sujetas a diferenciación adiposa, la expresión de PPAR γ , leptina y lipoproteína lipasa (LPL) es tiempo dependiente, encontrando que la expresión de leptina incrementaba con el tiempo de cultivo, mientras que la expresión de LPL y PPAR γ se incrementaba drásticamente hasta el día 12 de cultivo y disminuía gradualmente hasta el día 30 de cultivo a niveles similares a los de los cultivos no tratados. Rallapalli *et al.* (2009) en MSC de humano reportaron datos similares, indicando que la expresión de la proteínas de unión al promotor CCAAT β (C/EBP β) es mayor en el día 1 de tratamiento, PPAR γ se expresa del día 1 a 9 y que la expresión de LPL alcanza su máximo al día 7 de tratamiento y se mantiene en niveles altos por el resto del tratamiento. En este sentido Berg *et al.* (2007) encontraron que en CTM de ciervo (asta) el 99% de las células tratadas se diferencian y que los niveles de expresión de PPAR γ y gliceráldehido-3-fosfato deshidrogenasa (GAPDH) aumentan 2 y 3 veces.

Los resultados de este trabajo indican que el mayor potencial de diferenciación de estas células se encuentra en los pasos celulares tempranos (las células obtenidas en el aislamiento presentaron la mayor expresión de PPAR γ) como previamente se había reportado para el caso de células obtenidas de CTM humanas y de ratón (Kretlow *et al.*, 2008; Bonab *et al.*, 2006).

Investigaciones previas han reportado la capacidad de diferenciación miogénica de CTM aisladas de médula ósea (Akavia *et al.*, 2008; Dezawa *et al.*, 2005; Colleoni *et al.*, 2005) y de cordón umbilical (Gang *et al.*, 2004). Los resultados aquí reportados muestran que las CTM derivadas de médula ósea de bovino pueden ser inducidas a diferenciarse hacia miocitos con el uso de un medio suplementado con suero equino, hidrocortisona y dexametasona. Demostrando esta diferenciación mediante la expresión de Cadena pesada de miosina (MyHC), un marcador de diferenciación terminal de las células musculares. En contraste, estas mismas células no fueron capaces de diferenciarse al linaje miogénico con el uso de 5'azacitidina, lo cual difiere de resultados previos en CTM de rata (Akavia *et al.*, 2008, Hou *et al.*, 2008), ratón (Shiota *et al.*, 2007) humano (Drost *et al.*, 2009; Zhang *et al.*, 2009), cerdo (Moscoso *et al.*, 2005; Colleoni *et al.*, 2005) y bovino (Colleoni *et al.*, 2005) en los que se encontró la diferenciación de estas células a músculo esquelético o cardiaco.

Asimismo, en este trabajo se reporta que las CTM de bovino inducidas a la diferenciación muscular expresan los factores miogénicos: Myf5, MRF4, miogenina, MEF2C y Miostatina, así como los marcadores de diferenciación desmina y MyHC pero no mostraron la expresión de Pax7 y MyoD.

En este sentido, MyoD es un factor de transcripción considerado necesario para el inicio del programa de diferenciación de las células musculares, al nivel de compromiso celular y que puede inducir la diferenciación de células pertenecientes a otro linaje tales como fibroblastos o condrocitos, mientras que la proteína miogenina se considera necesaria para la diferenciación terminal de las células comprometidas (Berkes y Tapscott, 2005). Diferentes investigaciones, bajo diversas condiciones experimentales, concernientes a la diferenciación de células troncales hacia el linaje muscular han encontrado la expresión de MyoD en las células diferenciadas (Gang *et al.*, 2004; Dezawa *et al.*, 2005; Shiota *et al.*, 2007; Gekas *et al.*, 2010). Esto se debe a que MyoD regula positivamente los genes premiogénicos Meox1, Pax7, Six1 y Eya2 así como los genes de miogenina, MEF2C y Myf5 en mioblastos para inducir la diferenciación de los precursores musculares (Gianakopoulos *et al.*, 2011). Además, Shang *et al.* (2007), en CTM derivadas de médula ósea de rata determinó que el patrón de expresión a través del tiempo para los diferentes factores miogénicos es el siguiente: Pax3 (día 0), Pax7 (día 2), Myf5 and MyoD (día 4) y MRF4, Miogenina y MyHC (día 6).

Si bien la función del factor miogénico MRF4 ha sido mayoritariamente relacionada con la proliferación (Jin *et al.*, 2007) y diferenciación terminal que con la determinación del linaje muscular y Myf5 esta principalmente relacionado al compromiso celular; se sabe que estos factores miogénicos y la miogenina también pueden inducir la diferenciación muscular hasta cierto punto, e incluso entre estos tres factores pueden reemplazar parcialmente sus funciones (Berkes y Tapscott, 2005). En este contexto, Kassar-Duchossoy *et al.* (2004) en un modelo de ratón doble nulo para MyoD y Myf5 demostraron que la expresión de MRF4 es capaz de inducir la proliferación y diferenciación de mioblastos. Schnapp *et al.* (2009) fueron capaces de rescatar parcialmente la miogénesis en embriones de pez cebra mediante la inyección de RNA mensajero de MRF4 en los cuales la transcripción de MyoD y Myf5

estaba bloqueada, mientras que la inyección de RNA mensajero de miogenina no logró rescatar la miogénesis. También Xynos *et al.* (2010) en células troncales hematopoyéticas encontraron que estas células pueden expresar Myf5 y diferenciarse a miocitos sin la expresión de Pax7 y MyoD. En conjunto estos datos y los reportados en el presente trabajo sugieren que las CTM de médula ósea de bovino tienen, o pueden tener, un patrón de diferenciación muscular diferente en el que la expresión de Myf5 y MRF4 son suficientes para inducir el compromiso y determinación de estas células hacia la diferenciación muscular, en lugar de la presencia obligatoria de MyoD como se ha reportado para otras especies.

El mejorar la capacidad de diferenciación de las CTM hacia linajes específicos es un área activa de investigación tanto en la biología de células troncales como en la ingeniería de tejidos. Los diferentes hallazgos en estas áreas pueden llevar al desarrollo de nuevas tecnologías útiles también para la producción animal. En este sentido, y dada la relación de los PPARs con la diferenciación celular y la regulación metabólica, en este trabajo se evaluaron una serie de compuestos [sirtinol, rosiglitazona, telmisartan, ácido linoleico conjugado 9-cis, 11-trans (CLA 9Z, 11E) y bezafibrato] que pudieran mejorar la diferenciación adiposa y muscular de estas células mediante el incremento de la expresión, actividad o ambas de estos factores de transcripción. Los resultados del presente trabajo indican que la capacidad de diferenciación adiposa de las CTM puede incrementarse mediante el uso de rosiglitazona, telmisartan o CLA 9Z, 11E, mientras que el telmisartan y el bezafibrato mejoran la diferenciación muscular. Siendo el telmisartan y el bezafibrato los compuestos que indujeron la mayor expresión de PPAR γ (indicador de diferenciación adiposa) y MyHC (indicador de diferenciación muscular) respectivamente.

El sirtinol es un compuesto que inhibe la actividad de las desacetilasas de histonas dependientes de NAD de clase III, también denominadas sirtuinas. Dentro de este grupo de enzimas, Sirt1 se ha relacionado con la regulación del metabolismo de energía, encontrándose que la sobreexpresión de ésta inhibe la actividad y expresión de PPAR γ (Picard *et al.*, 2004). Estas acciones de Sirt1 sobre PPAR γ y por lo tanto en la diferenciación adiposa y la lipogénesis, se han reportado en adipocitos de humano (Costa

Cdos *et al.*, 2011) y cerdo (Shan *et al.*, 2009) así como en CTM de ratón (Bäckesjo *et al.*, 2006). También, Jiang *et al.* (2012) reportó que el sirtinol puede incrementar la tasa de lipogénesis en adipocitos diferenciados sin afectar la tasa de lipólisis en estas células. En este trabajo se propuso que el uso de un inhibidor de las sirtuinas podría mejorar la diferenciación adiposa y muscular de CTM de bovino, sin embargo, los resultados de este mostraron que el sirtinol no tiene efecto en la diferenciación adiposa o muscular de estas células.

El ácido linoleico conjugado (CLA) es un grupo de varios ácidos grasos que pueden actuar como ligandos naturales de los PPAR siendo el CLA 9-cis 11-trans (CLA 9Z, 11E) y el CLA 10-cis 12-trans (CLA 10Z, 12E) sus isómero más abundantes y los cuales se encuentran en los productos lácteos y cárnicos. Es por ello que estos ácidos grasos se han relacionado con la regulación del metabolismo de lípidos. En diferentes modelos se ha encontrado que el CLA 10Z, 12E inhibe la expresión de PPAR γ así como de proteínas relacionadas con el anabolismo y almacenamiento de ácidos grasos (anhidrasa carbónica 3, CD36, GLUT4, GPDH) y la adipogenesis (C/EBP α), mientras que el CLA 9Z, 11E mejora la diferenciación adiposa y la lipogénesis mediante el aumento en la expresión de proteínas como PPAR γ , FASN, estearil CoA desaturasa, GPDH y FABP4 (Visioli *et al.*, 2012; Platt y El-Sohemy, 2009; Brandebourg y Hu, 2005). Los resultados del presente trabajo en cuanto a la diferenciación adiposa mostraron que esta se incrementa con la suplementación de CLA 9Z, 11E en el medio de cultivo y además que este incremento es dependiente de la dosis. Esto concuerda con datos previamente reportados en ratas (Zhou *et al.*, 2008), humanos (Platt y El.Sohemy, 2009) y cerdos (Barnes *et al.*, 2012; Zhou *et al.*, 2007) en los que se incrementó la expresión de PPAR γ y de genes relacionados. Asimismo, las células tratadas con CLA 9Z, 11E mostraron un tamaño mayor y vacuolas de mayor tamaño respecto a las células del control positivo y los demás tratamientos tal como se había reportado previamente en cerdos (Barnes *et al.*, 2012) y ratas (Lopes *et al.*, 2008). Este incremento en el tamaño puede deberse al efecto de este compuesto sobre el metabolismo de lípidos ya que el CLA 9Z 11 E no promueve la lipolisis o la oxidación de ácidos grasos si no que promueve un incremento en la síntesis de ácidos grasos.

El efecto de las tiazolidinedionas en la diferenciación de preadipocitos ha sido ampliamente documentada, como lo resume Hausman *et al.* (2008), en este trabajo se usó la Rosiglitazona como un ligando específico de PPAR γ para determinar su efecto adipogénico en las CTM de médula ósea de bovino. Los resultados obtenidos indican que este compuesto mejora la diferenciación adiposa de las células en cultivo tal como se había reportado previamente en modelos de ratón (Crossno *et al.*, 2006; Shockley *et al.*, 2009) y humano (Ninomiya *et al.*, 2010). De forma interesante, con ambos compuestos (CLA 9Z, 11E y rosiglitazona) indujeron la diferenciación adiposa en un grado similar a las dosis más altas usadas, sin embargo la rosiglitazona posee una afinidad mayor para unirse PPAR γ por lo que se requiere de dosis menores en comparación a CLA9Z, 11E. Esto concuerda con lo anteriormente reportado por Oberfield *et al.* (1999), quienes determinaron que la rosiglitazona a concentración 1 μ M puede inducir eficientemente la diferenciación adiposa en células multipotentes de la línea C3H10T 1/2 después de 6 días de tratamiento.

El Telmisartan es un bloqueador de los receptores de Angiotensina comúnmente utilizado como antihipertensivo pero que ha demostrado poseer la capacidad para activar a las diferentes isoformas de PPAR en diferentes estudios clínicos y experimentales (He *et al.*, 2010), por lo que recientemente se le ha reconocido como un agonista parcial para esta familia de receptores nucleares. Más aún, recientemente se ha determinado su mecanismo de unión a PPAR γ (Amano *et al.*, 2012). Debido a que se trata de un agonista parcial de los PPAR, se usó este compuesto para mejorar tanto la diferenciación adiposa como muscular de las CTM de bovino (mediante la activación de PPAR γ y PPAR δ , respectivamente). Los resultados obtenidos indican que este compuesto también induce la diferenciación adiposa de las CTM de bovino y que esta es mayor a la inducida por la rosiglitazona (un agonista específico de PPAR γ) cuando se usan dosis iguales de ambos compuestos (10 o 20 μ M). Asimismo, el cambio en los niveles de expresión de PPAR γ se incrementa de una forma dependiente de la dosis. Se ha reportado que el uso de telmisartan en dosis de 5 a 20 μ M activó la transcripción de un gen reportero cuyo promotor incluía un elemento responsivo a PPAR en células CV 1; así como la adipogenesia en células C3H10T1/2 y 3T3 L1, lo cual se demostró mediante la presencia de gotas teñidas con rojo oleoso en células tratadas con

una dosis de 10 μ M de Telmisartan (Erbe *et al.*, 2006). Tagami *et al.* (2009) encontraron que el Telmisartan usado en concentraciones de 10 μ M induce la activación de PPAR γ por lo menos a un 35% en relación a la respuesta inducida por troglitazona y pioglitazona en células TSA-201, y que esta capacidad de activación se conserva en las células mutantes para PPAR γ , mientras que la activación por pioglitazona y troglitazona se encontró disminuida. En lo que se refiere a la diferenciación muscular el presente trabajo muestra por primera vez que el tratamiento de CTM de bovino con telmisartan incrementa la expresión de MyHC y que dicho efecto puede deberse a la capacidad de este compuesto para unirse y activar a PPAR δ .

El bezafibrato, es un ligando sintético de PPAR usado principalmente para el control de las cardiopatías coronarias gracias a su capacidad de disminuir los lípidos plasmáticos e incrementar las lipoproteínas de alta densidad. A través de la activación de PPAR α y la transcripción (LPL, Apolipoproteína AI, Acil CoA sintetasa, FABP, enzimas de la β -oxidación) o silenciamiento (Apolipoproteína CIII, Acetil CoA carboxilasa, ciclooxygenasa 2) de sus genes blanco, el bezafibrato tiene como efectos principales un incremento en la lipólisis, la remoción de lipoproteínas ricas en triglicéridos y en la β -oxidación así como la disminución de la síntesis de ácidos grasos *de novo* (Goldenberg *et al.*, 2008). Mientras que la activación de PPAR δ con este compuesto mejora la oxidación de ácidos grasos, el metabolismo de energía y la termogénesis adaptativa (Tenenbaum y Fisman, 2012). Entre los diferentes compuestos aplicados para mejorar la diferenciación muscular, el bezafibrato mostró la mayor expresión de MyHC. En este sentido el incremento en la expresión de este marcador terminal de la diferenciación muscular tanto en el bezafibrato como el telmisartan puede deberse a la activación directa de PPAR δ y la subsecuente transcripción de factores miogénicos que pueden ser modulados por este receptor nuclear.

En este sentido Gaudel *et al.* (2008) reportaron que el tratamiento con GW0742, un agonista de PPAR δ , provoca un aumento transitorio de los factores miogénicos MyoD1 y Myf5 en el músculo tibial anterior de ratones adultos C57BI6J. Este incremento fue detectable a las 2 horas de aplicar el tratamiento y volvió a los niveles del grupo control después de 24 horas para el caso de Myf5, mientras que para MyoD1 dicho incremento se

presentó 5 horas después del tratamiento y se mantuvo hasta las 96 horas posteriores al tratamiento. Asimismo, Bonala *et al.* (2012) encontró que la activación de PPAR δ con el ligando específico L165041 incrementa la proliferación de la línea celular C2C12 así como la diferenciación de estas en un 55%. Este mismo equipo encontró un incremento en la expresión de MyoD1, miogenina y un incremento en la cantidad de la MyHC. Por otro lado, el Factor de Crecimiento y diferenciación asociado a la proteína sérica-1 (Gasp 1) se ha identificado como un gen blanco para PPAR δ ya que en su secuencia posee elementos de respuesta a PPAR en su región promotora. Gasp 1 es una proteína que interactúa con Miostatina (un factor miogénico que inhibe la diferenciación muscular) inhibiendo la señalización de ésta y por lo tanto, la expresión de Gasp 1 permite la proliferación y diferenciación de las células musculares.

Una vez que se determinaron los compuestos y dosis que indujeron una mayor expresión de PPAR γ para la diferenciación adiposa y de MyHC para la diferenciación muscular se estudió el estado del metabolismo de energía en las células diferenciadas.

Los resultados del presente trabajo indican que las CTM de bovino diferenciadas a adipocitos poseen un metabolismo de glucosa más eficiente que, además de cubrir las necesidades energéticas de las células, puede proveer sustratos para una mayor síntesis y movilización de ácidos grasos. En este sentido los cambios encontrados en la expresión de HK2 indican una mayor captación de glucosa para la glucólisis, y se ha reportado que esta puede incrementar la expresión y actividad de ACAC y FASN en el tejido adiposo (Foufelle *et al.* *et al.*). Se ha reportado que en adipocitos 3T3-L1 el telmisartan incrementa la expresión y translocación de GLUT4 a la membrana plasmática a través de un mecanismo regulado por PPAR γ , y que este mecanismo es independiente de la habilidad de este fármaco para incrementar la sensibilidad a la insulina (Furukawa *et al.*, 2011). La PFK es una enzima clave en la vía glucolítica que también está regulada por la activación de PPAR γ y se ha reportado que su incremento puede inducir la deposición de grasa en ratones y en células 3T3-L1 (Hou *et al.*, 2012). Los resultados obtenidos en el presente trabajo muestran una sobreexpresión de este gen en respuesta al tratamiento con telmisartan, sin embargo, su expresión relativa fue menor a la de HK2. Estos resultados implican que,

aunque la captación de glucosa se incrementó en las células tratadas, no toda la glucosa entró a la vía glucolítica, si no que puede existir un excedente de glucosa que puede ser dirigido hacia vías metabólicas alternas como la vía de la pentosa fosfato. En conjunto esto puede significar que durante el tratamiento con telmisartan el metabolismo de glucosa puede generar tanto energía (ATP) como los substratos (acetil CoA y NADPH) necesarios para la síntesis *de novo* de ácidos grasos. En cuanto al metabolismo de lípidos en las células tratadas con telmisartan en el presente trabajo se encontró un aumento en la expresión de ACACa y FASN; ambas enzimas son cruciales para la síntesis *de novo* de ácidos grasos. ACACa cataliza la carboxilación, dependiente de ATP, de la acetil-CoA para formar malonil-CoA, mientras que este producto es el sustrato necesario para que la FASN inicie la síntesis de ácido palmítico (Barber *et al.*, 2005). La ATGL es una enzima que cataliza la primera reacción que regula la velocidad con que ocurre la hidrolisis completa de los triglicéridos y su transcripción puede ser regulada durante la diferenciación adiposa por PPAR γ y FoxO1 (Lass *et al.*, 2011), este gen también se encontró sobreexpresado durante el tratamiento con telmisartan de las CTM de bovino. Por otra parte, la enzima ACACb, que regula el metabolismo de ácidos grasos y cuyo producto, malonil CoA, es un potente inhibidor de la carnitin palmitoitransferasa 1 (CPT-1) que es la enzima responsable para la captación de ácidos grasos por la mitocondria (Benson *et al.*, 2004), no mostró cambios en su expresión a nivel de RNA; aunque este mismo grupo reportaron una disminución del 60 a 70% en la expresión de esta enzima en miotubos de ratón. Estos resultados en el metabolismo de lípidos de las CTM de bovino tratadas con telmisartan indican que estas células tienen una tasa de lipogénesis *de novo* incrementada (vía ACACa y FASN) y una mayor tasa de lipólisis (ATGL) mientras que la oxidación de ácidos grasos permanece inalterada y a niveles similares de los cultivos usados como controles. En conjunto estos resultados pueden implicar que estas células poseen un metabolismo de energía más activo en el cual la captación y utilización de la glucosa es más eficiente mientras que la síntesis de ácidos grasos y su movilización también se encuentran incrementadas.

Para las células bajo diferenciación muscular y tratadas con bezafibrato el incremento en la expresión de las enzimas glucolíticas HK2 y PFK, el transportador de ácidos grasos FABP

y el factor de transcripción relacionado con el catabolismo de lípidos PPAR δ , indican un mejor metabolismo de energía. En conjunto los resultados obtenidos en cuanto a los niveles de expresión de estos genes sugieren un rearreglo de varias vía metabólicas involucradas en la captación, almacenamiento y utilización de los sustratos energéticos en las CTM diferenciadas a miocitos y tratadas con bezafibrato. En el caso de la HK2 la mayor expresión de esta en relación al cambio en la expresión de PFK indica que, aun cuando la tasa de glucolisis se incrementó, existe un excedente de glucosa fosforilada dentro de estas células y este puede ser dirigido a vías alternas como la glucogénesis. El incremento en la FABP señala un incremento en la captación de ácidos grasos en las células tratadas, mientras que el incremento en PPAR δ indica una mayor utilización y oxidación de ácidos grasos con respecto a los cultivos control. Sin embargo en los resultados obtenidos en este trabajo ACACb se incrementó notablemente en los cultivos tratados con bezafibrato. Esto puede parecer contradictorio a primera vista cuando se compara con los niveles de expresión encontrados para FABP y PPAR δ (indicadores de un mayor catabolismo de ácidos grasos) ya que bajo condiciones normales ACACb inhibe a CPT-1 y por lo tanto la oxidación de ácidos grasos a nivel mitocondrial. Pero al tomar en cuenta la mayor tasa de glucolisis en las células tratadas se puede explicar este resultado debido que ACACa y ACACb son enzimas que se activan por el citrato (un metabolito de la glucolisis) y por lo tanto el resultado de esta glucolisis incrementada será la síntesis de ácidos grasos en el tejido adiposo (vía ACACa) o la inhibición de la oxidación de ácidos grasos en el tejido muscular (vía ACACb).

6. CONCLUSIONES

Las CTM derivadas de la médula ósea de bovinos poseen una capacidad de proliferación similar a la previamente reportada para otras especies, además de la capacidad de diferenciarse hacia los linajes muscular y adiposo, siendo esta capacidad mayor en los pasos celulares tempranos.

Los compuestos agonistas de los PPAR pueden mejorar la capacidad de diferenciación de estas células. En este sentido, la diferenciación adiposa se puede mejorar con el uso de telmisartan, rosiglitazona o CLA 9Z, 11E, siendo el telmisartan en una dosis de 20 μM el que presentó una mayor diferenciación adiposa. Mientras que para la diferenciación muscular el uso de bezafibrato y telmisartan inducen ésta eficientemente, siendo el bezafibrato en una concentración 200 μM el compuesto que induce la mayor diferenciación muscular.

El uso de agonistas de PPAR mejora el metabolismo energético de las CTM diferenciadas a ambos linajes celulares, permitiendo en el caso de la diferenciación adiposa una mayor captación y utilización de glucosa así como una lipogénesis y movilización de triglicéridos incrementadas. En el caso de las CTM diferenciadas permite una mayor captación y utilización de glucosa y ácidos grasos.

Los resultados obtenidos indican que el uso de agonistas de PPAR puede modular la diferenciación de estas células, pero además abren la posibilidad de usar estos compuestos experimentalmente en animales de producción para determinar qué efectos tienen sobre la calidad de la carne. En principio, los resultados obtenidos en este trabajo permiten asumir que al modificar con estos compuestos la diferenciación adiposa o muscular se pueden obtener productos cárnicos de acuerdo a las preferencias del mercado y con una mayor calidad sin afectar negativamente el metabolismo de estos tejidos.

7. LITERATURA CITADA.

- Akavia, U. D., Veinblat O. and Benayahu D. 2008. Comparing the transcriptional profile of mesenchymal cells to cardiac and skeletal muscle cells. *J. Cell Physiol.* 216: 663-672
- Amano, Y., Yamaguchi T., Ohno K., Niimi T., Orita M., Sakashita H. and Takeuchi M. 2012. Structural basis for telmisartan-mediated partial activation of PPAR gamma. *Hypertens. Res.* 35: 715-719
- Bäckesjö, C. M., Li Y., Lindgren U. and Haldosén L. A. 2006. Activation of Sirt1 decrease adipocyte formation during osteoblast differentiation of mesenchymal stem cells. *J. Bone. Miner. Res.* 21: 993-1002
- Barber, M. C., Price N. T. and Travers M. T. 2005. Structure and regulation of acetyl-CoA carboxylase gene of metazoan. *Biochim. Biophys. Acta.* 1733: 1-28
- Barnes, K. M., Winslow N. R., Shelton A. G., Hlusko K. C. and Azain M. J. 2012. Effect of dietary conjugated linoleic acid on marbling and intramuscular adipocytes in pork. *J. Anim. Sci.* 90: 1142-1149
- Benson, S. C., Pershad Singh H. A., Ho C. I., Chittiboyina A., Desai P., Pravenec M., Qi N., Wang J., Avery M. A. and Kurtz T. W. 2004. Identification of telmisartan as unique angiotensin II receptor antagonist with selective PPARgamma-modulating activity. *Hypertension.* 43: 993-1002
- Berg, D. K., Li C., Asher G., Wells D. N. and Oback B. 2007. Red deer cloned from antler stem cells and their differentiated progeny. *Biol. Reprod.* 77: 384-394
- Berkes, C. A. and Tapscott S. J. 2005. MyoD and the transcriptional control of myogenesis. *Semin. Cell Dev. Biol.* 16:585-595
- Bhat, Z. and Fayaz H. 2011. Prospectus of cultured meat – advancing meat alternatives. *J. Food Sci. Technol.* 48: 125-140

- Bianchi G., Banfi A., Mastrogiacomo M., Notaro R., Luzzatto L., Cancedda R. and Quarto R. 2003. Ex vivo enrichment of mesenchymal cell progenitors by fibroblast growth factor 2. *Exp Cell Res.* 287: 98-105
- Bonab, M. M., Alimoghaddam K., Talebian F., Ghaffari S. H., Ghavamzedah A. and Nikbin B. 2006. Aging of mesenchymal stem cell in vitro. *BMC Cell Biol.* 7:14
- Bonala, S., Lokireddy S., Arigela H., Teng S., Wahli W., Sharma M., McFarlane C. and Kambadur R. 2012. Peroxisome proliferator-activated receptor β/δ induces myogenesis by modulating myostatin activity. *J. Biol. Chem.* 287: 12935-12951
- Bosch, P., Pratt S. L. and Stice S. L. 2006. Isolation, characterization, gene modification, and nuclear reprogramming of porcine mesenchymal stem cells. *Biol. Reprod.* 74: 46-57
- Bosnakovski, D., Mizuno M., Kim G., Takagi S., Okumura M. and Fujinaga, T. 2005. Isolation and multilineage differentiation of bovine bone marrow mesenchymal stem cells. *Cell. Tissue Res.* 319:243-253
- Brandebourg, T. D. and Hu C. Y. 2005. Isomer-specific regulation of differentiating pig preadipocytes by conjugated linoleic acids. *J. Anim. Sci.* 83: 2096-2105
- Chen T., Zhou Y. and Tan W. S. 2009. Influence of lactic acid on the proliferation, metabolism, and differentiation of rabbit mesenchymal stem cells. *Cell Biol Toxicol.* 25:573-586
- Cheng, H., Qiu L., Ma., Zhang H., Cheng M., Li W., Zhao X. and Liu K. 2011. Replicative senescence of human bone marrow and umbilical cord derived mesenchymal stem cells and their differentiation to adipocytes and osteoblasts. *Mol. Biol. Rep.* 38: 5161-5168
- Colter, D. C., Class R., DiGirolamo C. M. and Prockop D. J. 2000. Rapid expansion of recycling stem cells in cultures of plastic-adherent cells from human bone marrow. *Proc. Natl. Acad. Sci. US.* 97:3213-3218

- Colleoni, S., Donofrio G., Lagutina I., Duchi R., Galli C. and Lazzari, G. 2005. Establishment, differentiation, electroporation, viral transduction, and nuclear transfer of bovine and porcine mesenchymal stem cells. *Cloning and Stem Cells*. 7:154-166.
- Colleoni, S., Bottani E., Tessaro I., Mari G., Merlo B., Romagnoli N., Spadari A., Galli C. and Lazzari G. 2009. Isolation, growth and differentiation of equine mesenchymal stem cells: effect of donor, source, amount of tissue and supplementation with basic fibroblast growth factor. *Vet. Res. Commun.* 33: 811-821
- Comite, P., Cobianchi L., Avanzini M. A., Zonta S., Mantelli M., Achille V., De Martino M., Cansolino L., Ferrari C., Maccario R., Gandolfo G. M., Dionigi P., Locatelli F. and M. E Bernardo. 2010. Isolation and ex vivo expansion of bone marrow-derived porcine mesenchymal stromal cells: potential for application in an experimental model of solid organ transplantation in large animals. *Transplant. Proc.* 42: 1341-1343
- Costa Cdos, S., Rohden F., Hammes T. O., Margis R., Bortolotto J. W., Padoin A. V., Mottin C. C. and Guaragna R. M. 2011. Resveratrol upregulates SIRT1, FOXO1, and adiponectin and downregulated PPAR γ 1-3 mRNA expression in human visceral adipocytes. *Obes. Surg.* 21: 356-361
- Cramer C., Freisinger E., Jones R. K., Slakey D. P., Dupin C. L., Newsome E. R., Alt E. U. and Izadpanah R. 2010. Persistent high glucose concentrations alter the regenerative potential of mesenchymal stem cells. *Stem Cells Dev.* 19: 1875-1884
- Crossno, J. T. Jr., Majka S. M., Grazia T., Gill R. G. and Klemm D. J. 2006. Rosiglitazone promotes development of a novel adipocyte population from bone marrow -derived circulating progenitor cells. *J. Clin. Invest.* 116: 3220-3228
- Dezawa, M., Ishikawa H., Itokazu Y., Yoshihara T., Hoshino M., Takeda S., Ide C., and Nabeshima Y. 2005. Bone marrow stromal cells generate muscle cells and repair muscle degeneration. *Science*. 309:314-317

- Dhanasekaran, M., Indumathi D., Lissa R. P., Harikrishnan R., Rajkumar J. S. and Sudarsanam D. 2013. A comprehensive study on optimization of proliferation and differentiation potency of bone marrow derived mesenchymal stem cells under prolonged culture condition. *Cytotechnology* 65: 187-197
- Drost, A.C., Weng S., Feil G., Schäfer J., Baumann S., Kanz L., Sievert K. D., Stenzl A. and Möhle R. 2009. In vitro myogenic differentiation of human bone marrow-derived mesenchymal stem cells as a potential treatment for urethral sphincter muscle repair. *Ann. N. Y. Acad. Sci.* 1176:135-43.
- Erbe, D.V., Gartrell K., Zhang Y. L., Suri V., Kirincich S. J., Will S., Perreault M., Wang S. and Tobin J. F. 2006. Molecular activation of PPARgamma by angiotensin II type 1-receptor antagonists. *Vascul. Pharmacol.* 45:154-162
- Eslaminejad, M. B., Falahi F., Nazarian H., Taghiyar L., and Daneshzadeh M.T. 2007. Differentiation potential and culture requirements of mesenchymal stem cells from ovine bone marrow for tissue regeneration applications. *Iranian J. Vet. Surg.* 2: 53-65
- Forte, G., Minieri M., Cossa P., Antenucci D., Sala M., Gnocchi V., Fiaccavento R., Carotenuto F., De Vito P., Baldini P. M., Prat M. and Di Nardo P. 2006. Hepatocyte growth factor effects on mesenchymal stem cells: proliferation, migration and differentiation. *Stem Cells* 4: 23-33
- Foufelle, F., Girard G. and Ferré P. 1996. Regulation of lipogenic enzyme expression by glucose in liver and adipose tissue: a review of the potential cellular and molecular mechanisms. *Adv. Enzyme Regul.* 36: 199-226
- Furukawa, H., Mawatari K., Yasui S., Morizumi R., Shimohata T., Harada N., Takahashi A. and Nakaya Y. 2011. Telmisartan increases localization of glucose transporter 4 to the plasma membrane and increases glucose uptake via peroxisome proliferator-activated receptor γ in 3T3-L1 adipocytes. *Eur. J. Pharmacol.* 660: 485-491

Gang, E. J., Jeong J. A., Hong S. H., Hwang S. H., Kim S. W., Yang I. H., Ahn C., Han H. and Kim H. 2004. Skeletal myogenic differentiation of mesenchymal stem cells isolated from human umbilical cord blood. *Stem Cells*. 22:617-624

Gaudel, C., Schwartz C., Giordano C., Abumrad N. A. and Grimaldi P.A. 2008. Pharmacological activation of PPARbeta promotes rapid calcineurin-dependent fiber remodeling and angiogenesis in mouse skeletal muscle. *Am. J. Physiol. Endocrinol. Metab.* 295: E297-E304

Gekas, J., Walther G., Skuk D., Bujold E., Harvey I. and Bertrand O. F. 2010. In vitro and in vivo study of human amniotic fluid-derived stem cell differentiation into myogenic lineage. *Clin. Exp. Med.* 10: 1-6

Gianakopoulos, P. J., Mehta V., Voronova A., Cao Y., Yao Z., Couto J., Wang X., Waddington M. S., Tapscott S. J. and Skerjanc I. S. 2011. MyoD directly up-regulates premyogenic mesoderm factors during induction of skeletal myogenesis in stem cells. *J. Biol. Chem.* 286: 2517-2525

Goldenberg, I., Benderly M. and Gouldbourt U. 2008. Update on the use of fibrates: focus on bezafibrate. *Vasc. Health Risk Manag.* 4: 131-141

Hausman, G. J., Poulos S. P., Pringle T. D. and Azain M. J. 2008. The influence of thiazolidinediones on adipogenesis in vitro and in vivo: potential modifiers of intramuscular adipose tissue deposition in meat animals. *J. Anim. Sci.* 86(14 Suppl): E236-E243

He, H., Yang D., Ma L., Luo Z., Ma S., Feng X., Cao T., Yan Z., Liu D., Tepel M. and Zhu Z. 2010. Telmisartan prevents weight gain and obesity through activation of peroxisome proliferator-activated receptor-delta-dependent pathways. *Hypertension*. 55: 869-879

- Hou, J. F., Zhang H., Yuan X., Li J., Wie Y. J. and Hu S. S. 2008. In vitro effects of low-level laser radiation for bone marrow mesenchymal stem cells: proliferation, growth factors and myogenic differentiation. *Lasers Surg. Med.* 40: 726-733
- Huo, Y., Guo X., Li X., Xu H., Halim V., Zhang W., Wang H, Fan Y. Y., Ong K. T., Woo S. L., Chapkin R. S., Mashek D. G., Chen Y., Dong H., Lu F., Wei L., Wu C. 2012. Targeted overexpression of inducible 6-phosphofructo-2-kinase in adipose tissue increase fat deposition but protects against diet induced insulin resistance and inflammatory responses. *J. Biol. Chem.* 287: 21492-21500
- Izadpanah, R., Joswig T., Tsien F., Dufour J., Kirijian J. C. and Bunnell B. A. 2005. Characterization of multipotent mesenchymal stem cells from the bone marrow of rhesus macaques. *Stem Cells Dev.* 14: 440-451
- Jang, G., Hong S. G. and Lee B. C. 2011. Cloned calves derived from somatic cell nuclear transfer embryos cultured in chemically defined medium or modified synthetic oviduct fluid. *J. Vet. Sci.* 12: 83-89
- Jiang, S., Wang W., Miner J. and Fromm M. 2012. Cross regulation of sirtuin 1, AMPK, and PPAR γ in conjugated linoleic acid treated adipocytes. *PLoS One* 7: e48874
- Jin, X., Kim J. G., Oh M. J., Sohn Y. W., Pian X., Yin J. L., Beck S., Lee N., Son J., Kim H., Yan C., Wang J. H., Choi Y. J. and Whang K. Y. 2007. Opposite roles of MRF4 and MyoD in cell proliferation and myogenic differentiation. *Biochem. Biophys. Res. Commun.* 364: 476-482
- Kassar-Duchossoy, L., Gayraud-Morel B., Gomès D., Rocancourt D., Buckingham M., Shinin V. and Tajbakhsh S. 2004. Mrf4 determines skeletal muscle identity in Myf5:Myod double-mutant mice. *Nature*. 431: 466-471
- Khatri, M., O'Brien T. D. and Sharma J. M. 2009. Isolation and differentiation of chicken mesenchymal stem cells from bone marrow. *Stem Cells Dev.* 18: 1485-1492

- Kretlow, J. D., Jin Y. Q., Liu W., Zhang W. J., Hong T. H., Zhou G., Baggett L. S., Mikos A. G. and Cao Y. 2008. Donor age and cell passage affects differentiation potential of murine bone marrow-derived stem cells. *BMC Cell Biol.* 9:60
- Lass A., Zimmermann R., Oberer M. and Zechner R. 2011. Lipolysis – a highly regulated multi-enzyme complex mediates the catabolism of cellular fat stores. *Prog. Lipid Res.* 50: 14-27
- Langelaan, M. L. P., Boonen K. J. M, Polak R. B., Post M. J., and van der Dchaft D. W. J. 2010. Meet the new meat: tissue engineered skeletal muscle. *Trends Food Sci. Tech.* 21: 59-66
- Lo T., Ho J. H., Yang M. H. and Lee O. K. 2011. Glucose reduction prevents replicative senescence and increase mitochondrial respiration in human mesenchymal stem cells. *Cell Transplant.* 20: 813-825
- Lopes, P. A., Martins S. V., Pinho M. S., Alfaia C. M., Fontes C. M., Rodrigues P. O., Morais G. S., Castro M. F., Pinto R. and Prates J. A. 2008. Diet supplementation with the cis-9,trans-11 conjugated linoleic acid isomer affects the size of adipocyte in Wistar rats. *Nutr. Res.* 28: 480-486
- McCarty, R. C., Gronthos S., Zannettino A. C., Foster B. K. and Xian C. J. 2009. Characterization and developmental potential of ovine bone marrow derived mesenchymal stem cells. *J. Cell. Physiol.* 219: 324-333
- Mironov, V., Trusk T., Kasyanov V., Little S., Swaja R. and Markwald R. 2009. Biofabrication: a 21st century manufacturing paradigm. *Biofabrication* 1: 022001
- Moscoso, I., Centeno A., López E., Rodriguez-Barbosa J. I., Santamarina I., Filgueira P., Sánchez M.J., Domínguez-Perles R., Peñuelas-Rivas G. and Domenech N. 2005. Differentiation "in vitro" of primary and immortalized porcine mesenchymal stem cells into cardiomyocytes for cell transplantation. *Transplant Proc.* 37:481-482.

- Ninomiya, Y., Sugahara-Yamashita Y., Nakachi Y., Tokuzawa Y., Okazaki Y. and Nishiyama M. 2010. Development of rapid culture method to induce adipocyte differentiation of human bone marrow-derived mesenchymal stem cells. Biochem. Biophys. Res. Commun. 394: 303-308
- Oberfield, J. L., Collins J. L., Holmes C. P., Goreham D. M., Cooper J. P., Cobb J. E., Lenhard J. M., Hull-Ryde E. A., Mohr C. P., Blanchard S. G., Parks D. J., Moore L. B., Lehman J. M., Plunket K., Miller A. B., Milburn M. V., Kliewer S. A. and Willson T. M. 1999. A peroxisome proliferator activated receptor gamma ligand inhibits adipocyte differentiation. Proc. Natl. Acad. Sci. U. S. A. 96: 6102, 6106.
- Picard, F., Kurtev M., Chung N., Topark-Ngarm A., Senawong T., Machado De Oliveira R., Leid M., McBurney M. W. and Guerente L. 2004. Sirt 1 promotes fat mobilization in white adipocytes by repressing PPAR-gamma. Nature. 429: 771-776
- Platt, I. D. and El-Sohemy A. 2009. Regulation of osteoblast and adipocyte differentiation from human mesenchymal stem cells by conjugated linoleic acid. J Nutr Biochem. 20: 956-964
- Rallapalli S., Bishi D. K., Verma R. S., Cherian K. M. and Guhathakurta S. 2009. A multiplex PCR technique to characterize human bone marrow derived mesenchymal stem cells. Biotechnol Lett. 31: 1843-1850
- Rhodes N. P., Srivastava J. K., Smith R. F. and Longinotti C. 2004. Heterogeneity in proliferative potential of ovine mesenchymal stem cell colonies. J. Mater. Sci. Mater. Med. 15: 397-402.
- Schallmoser, K., Bartmann C., Rohde E., Bork S., Guelly C., Obenauf A. C., Reinisch A., Horn P., Ho A. D., Strunk D. and Wagner W. 2010. Replicative senescence-associated gene expression changes in mesenchymal stromal cells are similar under different culture conditions. Haematologica. 95: 867-874

- Shan, T. Z. Ren Y., Wu T., Liu C. X. and Wang Y. Z. 2009. Regulatory role of Sirt1 on the gene expression of fatty acid-binding protein 3 in cultured porcine adipocytes. *J. Cell. Biochem.* 107: 984-991
- Shang, Y. C., Wang S. H., Xiong F., Zhao C. P., Peng F. N., Feng S. W., Li M. S., Li Y. and Zhang C. 2007. Wnt3a signaling promotes proliferation, myogenic differentiation, and migration of rat bone marrow mesenchymal stem cells. *Acta Pharmacol. Sin.* 28: 1761-1774
- Shiota, M., Heike T., Haruyama M., Baba S., Tsuchiya A., Fujino H., Kobayashi H., Kato T., Umeda K., Yoshimoto M., Nakahata T. 2007. Isolation and characterization of bone marrow-derived mesenchymal progenitor cells with myogenic and neuronal properties. *Exp. Cell Res.* 313:1008-1023
- Shockley, K. R., Lazarenko O. P., Czernik P. J., Rosen C. J., Churchill G. A. and Lecka-Czernik B. 2009. PPARgamma2 nuclear receptor controls multiple regulatory pathways of osteoblast differentiation from marrow mesenchymal stem cells. *J. Cell. Biochem.* 106: 232-246
- Schnapp, E., Pistocchi A. S., Karampetsou E., Foglia E., Lamia C. L., Cotelli F. and Cossu G. 2009. Induced early expression of mrf4 but not myog rescues myogenesis in the myod/myf5 double-morphant zebrafish embryo. *J. Cell. Sci.* 122:481.488
- Tagami, T., Yamamoto H., Moriyama K., Sawai K., Usui T., Shimatsu A. and Naruse M. 2009. A selective peroxisome proliferator activated receptor-gamma modulator, telmisartan, binds to the receptor in a different fashion from thiazolidinediones. *Endocrinology.* 150: 862-870
- Tenenbaum, A. and Fisman E. Z. 2012. Balanced pan-PPAR activator bezafibrate in combination with statin: comprehensive lipids control and diabetes prevention? *Cardiovasc. Diabetol.* 11: 140

- Vidal, M. A., Kilroy G.E., Johnson J. R., Lopez M. J., Moore R. M. and Gimble J. M. 2006. Cell growth characteristics and differentiation frequency of adherent equine bone marrow-derived mesenchymal stromal cells: adipogenic and osteogenic capacity. *Vet. Surg.* 35:601–610.
- Vidal, M. A., Walker N. J., Napoli E. and Borjesson D. L. 2012. Evaluation of senescence in mesenchymal stem cells isolated from equine bone marrow, adipose tissue, and umbilical cord tissue. *Stem Cells Dev.* 21: 273-283
- Visioli, F., Giordano E., Nicod N. M. and Dávalos A. 2012. Molecular targets of omega 3 and conjugated linoleic acids – micromanaging” cellular response. *Front Physiol.* 3: 42
- Wagner, W., Bork S., Horn P., Krunic D., Walenda T., Diehlman A., Benes V., Blake J., Huber F., Eckstein V., Boukamp P. and Ho A. 2009. Aging and replicative senescence have related effect on human stem and progenitor cells. *PLoS One* 4: e5846
- Williams J. B., Shin T., Liu L., Flores-Foxworth G., Romano J., Blue-McClendon A., Kraemer D. and Westhusin M. E. 2006. Cloning of exotic/endangered species: desert bighorn sheep. *Methods Mol. Biol.* 348: 169-182
- Xynos, A., Corbella P., Belmonte N., Zini R., Manfredini R. and Ferrari G. 2010. Bone marrow derived hematopoietic cells undergo myogenic differentiation following a Pax-7 independent pathway. *Stem Cells.* 28: 965-963
- Zeng, L., E. Rahrman, Q. Hu, T. Lund, L. Sanquist, M. Felten, T. D. O'Brien, J. Zhang and C. Verfaillie. 2006. Multipotent adult progenitor cells from swine bone marrow. *Stem Cells* 24:2355-2366
- Zhang, Y., Chu Y., Shen W. and Dou Z. 2009. Effect of 5-azacytidine induction duration on differentiation of human first-trimester fetal mesenchymal stem cells toward cardiomyocyte-like cells. *Interact. Cardiovasc. Thorac. Surg.* 9: 943-946

- Zhou, X., Li D., Yin J., Ni J., Dong B., Zhang J. and Du M. 2007. CLA differently regulates adipogenesis in stromal vascular cells from porcine subcutaneous adipose and skeletal muscle. *J. Lipid Res.* 48: 1701-1709
- Zhou, X. R., Sun C. H., Liu J. R. and Zhao D. 2008. Dietary conjugated linoleic acid increases PPAR gamma gene expression in adipose tissue of obese rat, and improves insulin resistance. *Growth Horm. IGF Res.* 18: 361-368
- Zimmerman S., Voss M., Kaiser S., Kapp U., Waller C. F. and Martens U. M. 2003. Lack of telomerase activity in human mesenchymal stem cells. *Leukemia* 17: 1146-1149